

INSTITUTUL POLITEHNIC „TRAIAN VUIA” TIMIȘOARA
Facultatea de Mecanica

Ing. IOAN SEBESAN

TEZA DE DOCTORAT

Contribuții la studiul influenței fenomenului de stick-slip asupra
caracteristicilor de tracțiune ale locomotivelor diesel cu transmisie
în curent alternativ – curent alternativ

BIBLIOTECA CENTRALĂ
UNIVERSITATEA “POLITEHNICA”
TIMIȘOARA

UNIVERSITATEA “POLITEHNICA”
TIMIȘOARA
BIBLIOTECĂ CENTRALĂ
Nº Inv. 623.990
Dulap 181 Lit. C

Conducător științific
Prof. emerit Ing. IOAN ZAGANESCU

C U P R I N S

INTRODUCERE

După cum se cunoaște, la viteze mici de alunecare, deci în special la demarajul locomotivelor, în condițiile frecările uscate dintre roată și șină, mișcarea poate fi însotită de anumite intermitențe sau sacadări, fenomen cunoscut în literatura de specialitate sub denumirea de stick-slip (din engleză lipescere-alunecă, după STAS R 8069-67 „alunecare cu intermitențe”).

Cercetarea fenomenului de stick-slip la locomotive constituie o problemă deosebit de importantă datorită efectelor nocive asupra elementelor sistemului de antrenare precum și prin înrăutățirea caracteristicilor de tractiune, deci prin perturbarea cursului locomotivei.

Problema micșorării efectelor oscilațiilor de stick-slip este de mare actualitate odată cu creșterea în ultimii ani a puterii locomotivelor diesel cu transmisie electrică.

Tendințele actuale în transportul feroviar de mărire a tonajului remorcat precum și creșterea continuă a vitezelor de circulație, în scopul micșorării costului transportului, au cauzat problema măririi corespunzătoare a puterii instalate pe locomotivele înzestrăte cu motoare termice.

În ultimii ani s-au realizat motoare diesel de tractiune de 4000 CP și 1500 rot/min. La locomotivele diesel înzestrăte cu astfel de motoare nu se mai poate însă utiliza transmisia în curent continuu atât din cauza gabaritului cât și a comutației /4/.
La o mașină de curent continuu cu colector cu înfișare

paralel-simplă, puterea se poate exprima sub forma:

$$P = \frac{\pi}{2} e_m A D \quad (1)$$

unde:

e_m reprezintă tensiunea medie între lamele;

A - amperi conductori pe unitatea de lungime periferică
de indus;

D - diametrul indusului.

Punând în evidență și turația mașinii n (rot/min), se obținește

$$P \cdot n = \frac{1}{2} \lambda e_m A V_c \quad (2)$$

în care:

λ - este raportul dintre diametrul indusului și al colectoarelor;

V_c - viteza periferică a colectorului.

Tinând seama de valorile limită practice pentru parametrii din relația (2) și anume:

$$\lambda = 1,4 \dots 1,5$$

$$e_m = 18 \dots 20 \text{ V}$$

$$A = 5 \cdot 10^4 \dots 6 \cdot 10^4 \text{ A/m}$$

$$V_c = 50 \dots 60 \text{ m/s}$$

rezultă că produsul $P \cdot n$ are valoarea limită:

$$P/\text{kW} \cdot n / \text{rot/min} = 2,7 \cdot 10^6 \quad (3)$$

Conform relației (3), pentru generatoare de curent continuu rezultă puteri maximale de ordinul 1800 ... 2700 kW, corespunzător turațiilor 1500 ... 1000 rot/min.

De asemenea, generatorul de curent continuu este cu 40 % mai greu decât generatorul de curent alternativ, la aceeași putere nominală.

Aceste valori limitative impun renunțarea la transmisie

electrică folosind generatorul principal de curent continuu și înlocuirea acestuia cu un generator de curent alternativ, ajungîndu-se astfel la soluția actuală de a utiliza, pe locomotivele cu motoare diesel de mare putere, transmisii electrice în curent alternativ, deocamdată cu motoarele de tractiune de curent continuu, ca de exemplu locomotivele construite în SUA cu motor diesel de 3000 ... 3600 CP la turăția de 900 rot/min, în Franța locomotivele Alsthom cu motor diesel A.G.O de 4000 CP la 1350 rot/min. ca și locomotivele de 3000 CP și 4000 CP construite la Electroputere Craiova.

Deoarece pericolul comutației evitat în cazul adoptării generatorului în curent alternativ, apare totuși în continuare la motoarele electrice de tractiune în curent continuu, în viitorul apropiat va trebui neapărat introdusă la locomotivele diesel transmisia în curent alternativ-curent alternativ.

Transmisiiile electrice în curent alternativ-curent alternativ (fig.1) prevăzute cu generator sincron și motoare asincrone trifazate pentru tractiune cu convertizoare statice de frecvență, sănt de dată relativ recentă, menționîndu-se printre realizări locomotiva experimentală „Hawk” a firmei Brush cu puterea de 1400 CP /57/ și locomotiva germană DE Henschel-BBC de 2500 CP /5/, /53/.

Alte avantaje ale acestui tip de transmisie sănt următoarele:

- creșterea randamentului la toate vitezele de mers datorită posibilității de reglare a frecvenței și tensiunii de alimentare a motoarelor asincrone de tractiune și realizării astfel a unei caracteristici forță de tractiune-viteză foarte apropiată de caracteristica ideală, hiperbola de putere constantă;

- greutate redusă pe unitate de putere datorită genera-

pulul sincron și motoarelor asincrone de tractiune;

- conducere simplă a locomotivei, viteza de mers fiind comandată de controler printr-un generator de impulsuri la sistemul de comandă și reglare;

- siguranță în funcționare ridicată și cheltuieli de reparație și exploatare mici datorită construcției simple și lipsei colectoarelor la generatorul principal și motoarele electrice de tractiune.

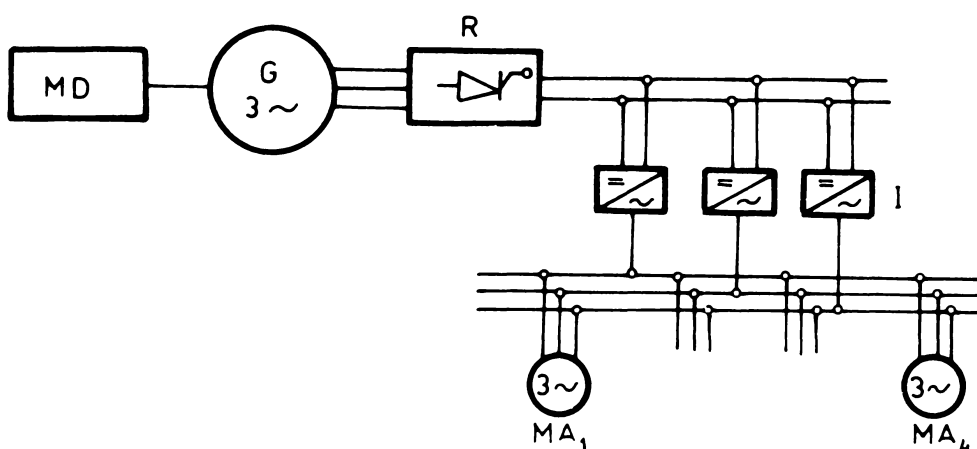


Fig.1. Schema de principiu a unei locomotive diesel cu transmisie în curent alternativ-curent alternativ.

MD-motor diesel; G-generator sincron; R-instalația de redresare; I-invertor; MA₁ ... MA₄ - motoare electrice asincrone de tractiune.

Si în țara noastră problema utilizării pe locomotive a transmisiilor în curent alternativ-curent alternativ este în prezent în atenția atât a căilor ferate cât și a uzinelor construcțioare de locomotive.

Problema stick-slipului la locomotivele diesel cu transmisie în curent alternativ-curent alternativ nu a fost tratată pînă în prezent în nici o lucrare de specialitate.

In general nici la celelalte tipuri de locomotive nu s-a făcut un studiu complet al acestui fenomen, cercetările limitându-se la studii experimentale sau la studii teoretice aproximative bazate pe efectele stick-slipului asupra părților mecanice a...

sistemului de antrenare al locomotivei.

Intrucit cercetările efectuate pe plan mondial asupra fenomenului de stick-slip au caracter particulare, care se referă la anumite soluții constructive, nu rezultă care este aspectul problemei dincolo de soluția studiată. De asemenea, nu s-a pus în evidență influența transmisiei locomotivei și a celorlalți parametrii asupra acestui fenomen.

S-a constatat că în principal în perioada demarajului locomotivei săr și la mersul în viteză constantă în condițiile în care locomotiva remorcă tonaje mari, în rampe mari, performanțele acesteia sint influențate în mare măsură de apariția fenomenului de stick-slip.

Cu excepția unor recente studii pexperimentală efectuate și pe locomotive electrice cu motoare asincrone de tractiune O R E (Office de Recherches et d'Essais de l'Union Internationale des Chemins de fer) pînă în prezent nu a fost studiată influența stick-slipului asupra forței de tractiune a locomotivelor diesel.

Tinînd seama de considerațiile de mai sus, rezultă că lucrarea de fată aduce o contribuție importantă și necesară la studiul oscilațiilor de stick-slip la locomotive și stabilește influența acestor oscilații asupra caracteristicilor de tractiune ale locomotivelor diesel cu transmisie în curent alternativ,

cu motoare de tractiune asincrone, locomotive ce se impun în
viitorul apropiat, precum și a mijloacelor necesare pentru
micsorarea efectelor nocive ale acestora.

**Cap.1. STADIUL ACTUAL AL CERCETARILOR PRIVIND
FENOMENUL DE STICK-SLIP LA LOCOMOTIVE.**

1.1. Apariția oscilațiilor de stick-slip la locomotive.

La mișcarea sistemului elastic de antrenare a osiei motoare a locomotivei sub influența frecării uscate apar de multe ori, ca fenomene secundare, oscilații de stick-slip a căror cauză primară rezidă în caracteristica forței de frecare roată-șină și a forței de tractiune la periferia roților motoare ale locomotivei.

In general forța de tractiune limitată de aderență este mai mică decât forța de tractiune ce ar putea fi realizată la periferia roților motoare de către motorul electric de tractiune.

In cazul locomotivelor puternice de astăzi, alunecarea roții motoare pe șină, datorită depășirii forței limitate de aderență de către forța de tractiune, provoacă în sistemul de antrenare al locomotivei oscilații de stick-slip a căror amplitudine crește continuu și care pot atinge valori periculoase cu efecte nocive asupra sistemului de antrenare al locomotivei, înrăutățind în același timp caracteristicile de tractiune ale acesteia.

Variația în timp a vitezei de alunecare a roții la producerea stick-slipului, determinată experimental /48/, se poate urmări în fig.1-1.

Acest fenomen s-a observat mai de mult la mașinile unelte în procesul de aşchiere /39/ având ca urmare deteriorarea suprafețelor. In ultimul timp fenomenul a apărut și la o serie de locomotive de mare putere din Austria, R.F.G. și la locomotivele C.F.R., diesel hidraulice și electrice 060 EA de 5100 kW.

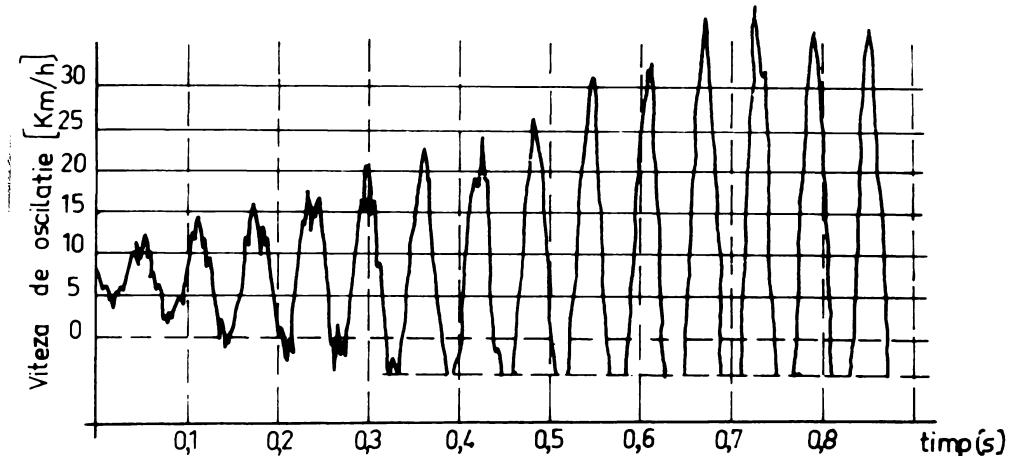


Fig.1-1. Variația vitezei de alunecare a roții la producerea „stick-slipului” (măsurători făcute de H.Schroter și A.Schonenberger cu locomotiva DL 261/115).

Aceste oscilații sunt influențate de sarcina pe osie, momentele de inertie ale maselor din sistemul de antrenare, de rigiditatele și amortizările din sistem, de variația coeficientului de frecare roată-șină și a forței de tractiune în funcție de viteză de alunecare.

In general oscilațiile care apar sub influența frecării prezintă forme de manifestare diferite (fig.1-2) în funcție de viteză de alunecare /23/. /28/. /40/. /61/.

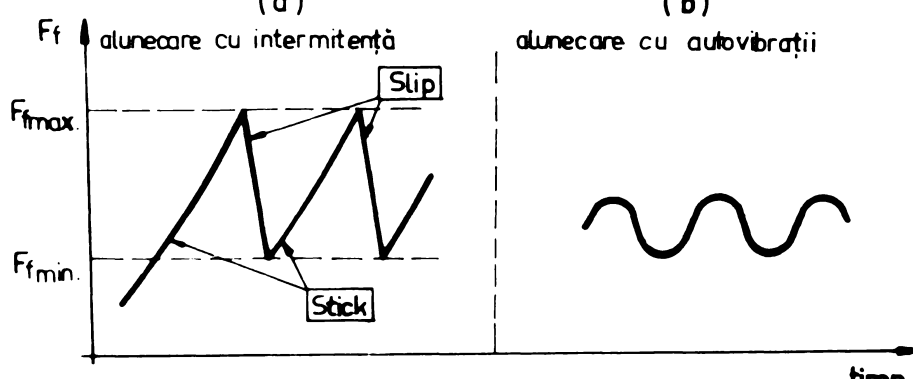


Fig.1-2. Forme de manifestare ale oscilațiilor
(a) - alunecare cu intermitență (stick-slip); (b)-alunecare cu autovibratii.

Astfel la viteză mici de alunecare (a) mișcarea prezintă o fază de aderență și o fază de alunecare (alunecare cu intermitență) acestea formând împreună o perioadă a oscilației, forța de

Frecare variind între valoarea maximă $F_{f\max}$ limitată de aderență și o valoare minimă $F_{f\min}$ corespunzătoare coeficientului de frecare la viteza maximă de alunecare, iar la viteză de alunecare mare (b) mișcarea va fi cu autovibrății.

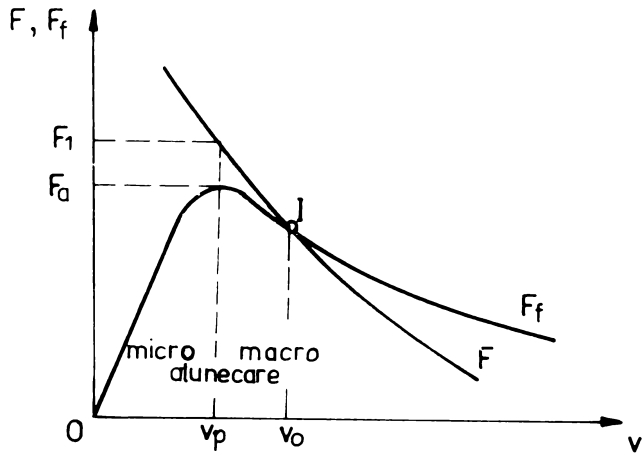


Fig.1-3. Caracteristicile forțelor date de motor și frecare la periferia roții la patinare.

Valorile forțelor F_a (forța de aderență) și F_l la viteza v_p , care delimită zonele de micro-alunecare și de macro-alunecare influențează mărimea amplitudinilor de oscilație /3/, /43/, /59/, /61/, /62/.

Producerea fenomenului de stick-slip la locomotive poate fi explicată în felul următor: cuplul motorului electric de tractiune produce o torsionare a arborelui elastic „de torsionare” al acestuia și a osiei; în momentul în care forța de tractiune la periferia roților depășește valoarea forței limitate de aderență, adică $F_l > F_a$ (fig.1-3), roțile încep să patineze cu accelerarea elementelor sistemului de antrenare. Concomitent are loc o detensionare a elementelor elastice din sistemul de antrenare și o micșorare a forțelor la periferia roților pînă în punctul I cînd are loc egalitatea celor două forțe. În continuare mișcarea se oprește, aderența se restabilește și odată cu aceasta crește și cuplul motorului electric de tractiune după care acesta produce depășirea aderenței iar mișcarea

Condiția pentru apariția oscilațiilor de stick-slip este ca forța dată de motor F și forța de frecare F_f la periferia roților motoare ale locomotivei să prezinte caracteristici descendente (fig.1-3) cu creșterea vitezei de alunecare v , între pantele K_F și K_{F_f} ale acestor forțe existînd relația $K_F < K_{F_f}$.

se repetă.

Apariția stick-slipului mai este determinată de o anumită valoare a raportului dintre mărimea coeficientului de aderență μ_a și cea a coeficientului de frecare cinetic μ_v și anume atunci cind $\mu_a / \mu_v < 1/40, 1/62$, valoarea acestui raport depinzând foarte mult de starea suprafeței șinelor (fig.1-4).

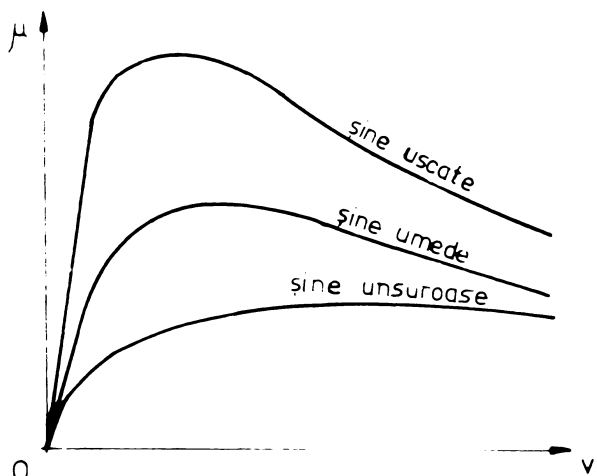


Fig.1-4 Caracteristicile coeficientului de frecare $\mu(v)$ pentru diferite stări ale șinelor.
roată;

Asupra coeficientului de aderență roată - șină deci și asupra stick-slipului o influență deosebită o au și o serie de factori dinamici, cei mai importanți fiind /38/:

- reacția elastică a suspensiei; sub efectul socurilor verticale mărimea suprafeței de contact se modifică cu variațiile sarcinii pe

- greutatea nesuspendată a locomotivei de care depinde șocul dintre roată și șină;
- calitatea căii de rulare în deosebi sub aspectul elasticității.

Influența acestor factori face ca coeficientul de aderență μ_a să scadă cu viteza de mers V a locomotivei după cum se poate vedea în fig.1-5 în care s-a reprezentat și curba coeficientului de frecare la patinare în funcție de viteza de alunecare v_a (domeniul macro-alunecărilor), /57/.

În exploatarea locomotivelor diesel s-a constatat că depășirea forței limitate de aderență este posibilă la demaraj datorită tonajelor mari și accelerării necesare pentru atingerea unei viteze de regim a trenului prescrisă sau, în cazul tonajelor mari remor-

cate pe rampe mari.

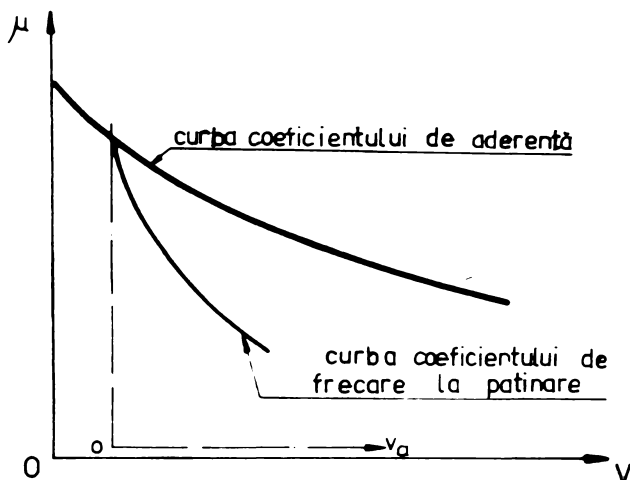


Fig. 1-5. Variatia coeficientului de aderență în funcție de viteza de mers și a coeficientului de frecare la patinare.

efortului între treptele de demaraj 1 și 1' (fig. 1-6), cît și prin alura curbei forței dată de motor aplicate roții care patinează.

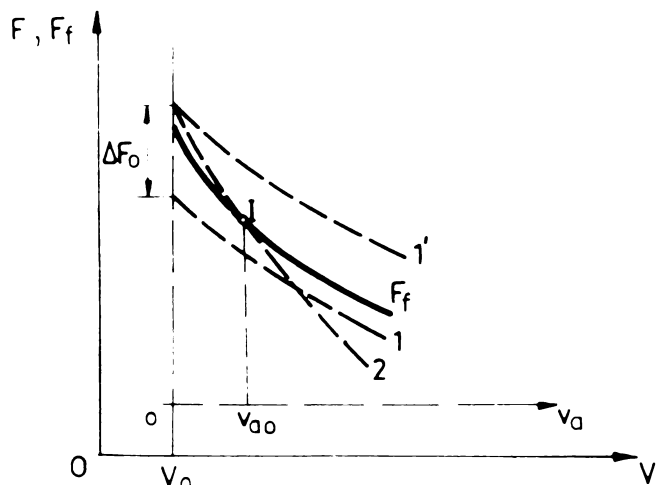


Fig. 1-6. Influența alurii caracteristicii motorului electric de tractiune, reduse la periferia roții motoare, asupra stick-slipului.

v_{ao} corespunzătoare intersecției I a caracteristicilor. Panta mare a caracteristicii motorului influențează favorabil funcționarea sistemului de antrenare al locomotivei la patinarea roților în

Cînd locomotiva trece peste o porțiune de cale unde coeficientul de aderență este mai redus, anumite osii motoare pot să-și sporească viteza de alunecare și să înceapă să oscileze, procesul oprindu-se de îndată ce condițiile de aderență se restabilesc.

Partea electrică a locomotivei influențează fenomenul de stick-slip prin variație ΔF_o a

efortului între treptele de demaraj 1 și 1' (fig. 1-6), cît și prin

Dacă această curbă (1') are o pantă mai mică decît caracteristica forței de frecare roată-sină (linie plină), forța dată de motor va fi tot timpul superioară forței de frecare, rezistente, viteza de alunecare va crește iar dacă nu se trece pe o treaptă inferioară de mers (1) ambalarea osiei poate deveni periculoasă.

Dacă panta curbei este mai mare (2) atunci viteza de alunecare este limitată la valoarea

vansul micșorării amplitudinilor de oscilație /3/, /61/, /62/

Modul în care se face reglarea vitezei locomotivei influențează producerea patinării osiei, deci și stick-slipul (fig.1-7), această problemă constituind obiectul a numeroase studii efectuate

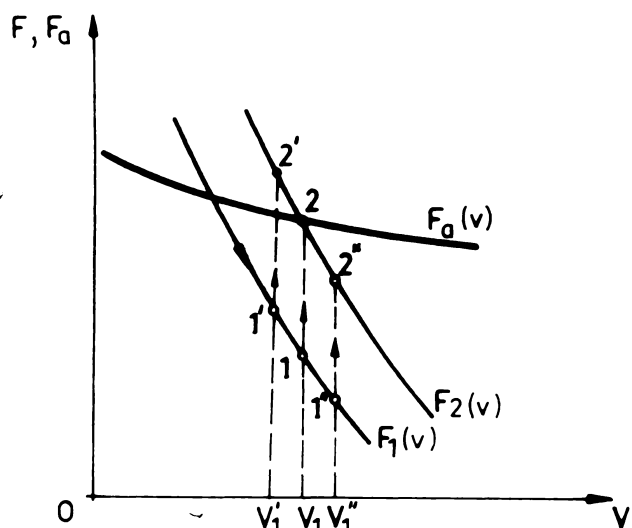


Fig.1-7. Influența modului de reglare a vitezei asupra stick-slipului.

mai ales la locomotivele electrice de mare putere /3/, /27/, /61/.

Funcționarea teoretică ideală a locomotivei la limita de aderență (pe caracteristica $F_a(V)$, corespunde comutării de pe caracteristica de tractiune $F_1(V)$ pe caracteristica $F_2(V)$ la momentul limită corespunzător vitezei V_1 .

Cum însă comanda nu se poate face riguros la momentul amintit ci mai devreme sau mai tîrziu, la trecerea de pe o caracteristică pe alta în sens crescător, pot apărea două situații:

- trecerea în avans ($1' - 2'$) - cu cît trecerea se face mai devreme cu atît saltul de forță de tractiune peste limita de aderență este mai mare și va determina producerea patinării;
- trecerea tardivă ($1'' - 2''$) - cu cît întîrzierea este mai mare cu atît forța de tractiune este mai mică, sub limita de aderență, dar și accelerația vehiculului va scădea.

Din cele arătate mai sus rezultă necesitatea unui sistem automat de reglare a forței de tractiune, sau o reglare în trepte foarte mici, care să nu ducă la salturi mari a forței de tractiune peste limita de aderență /10/, /11/, /57/.

1.2. Cercetări privind stick-slipul la locomotive.

Pînă în prezent sînt foarte puține lucrări în ceea ce

priveste studiul oscilațiilor de stick-slip la locomotiva datorită dificultăților legate de fenomenele de frecare dintre roată și șină. Variatia coeficientului de frecare uscată constituie dificultatea majoră în studiul oricărui fenomen de frecare, numărul parametrilor de care depinde coeficientul de frecare fiind de aproximativ patruzeci /12/, mulți dintre ei fiind interdependenti. Dar, dacă este relativ ușor de a caracteriza acești parametrii (sarcină, viteză, temperatură, natura și starea micro-geometrică a structurilor superficiale,...) din contra este practic imposibil de a determina cu precizie valoarea și acțiunea acestor parametrii asupra fenomenului frecării. Orice proces de frecare provoacă, de fapt, o acțiune mecanică intensă între particulele suprafetelor în contact, deci o importantă generare de energie calorică. Rezultă că, la demararea vehiculului, se produc modificări profunde atât a suprafetelor cît și a mediului.

Imposibilitatea de a stăpini aceste evoluții și de a le caracteriza, este de fapt, cauza pentru numărul restrâns de studii efectuate pînă în prezent, în acest domeniu, de altfel foarte răspîndit, a vibrațiilor generate și întreținute prin frecare.

Problema stick-slipului la locomotive a constituit recent obiectul unor studii teoretice și experimentale atât la căile ferate din R.F.G., Austria cît și la C.F.R. Studierea acestui fenomen la locomotive a fost determinată în special de apariția unor fisuri și chiar ruperi ale osiilor ca urmare a sarcinilor mari pe osii și creșterii puterii locomotivelor din ultimii ani.

Primele locomotive la care s-au observat pentru prima oară efectele nocive datorită stick-slipului au fost locomotivele cu transmisie hidraulică /26/ iar ulterior la locomotiva electrică 060-EA de 5100 kW /27/.

Se pot cita o serie de cercetări mai importante la care au ajuns cercetătorii care s-au ocupat de problemele legate de patinarea

roților motoare pe sine în special la demarajul locomotivei.

Astfel F.Böhm /7/ arată că oscilațiile torsionale ale arborilor cardanici ai locomotivelor hidraulice, oscilații care apar la patinarea roților la demaraj, se datorează stick-slipului și determină amplitudinile de oscilație prin integrarea ecuațiilor de mișcare cu metoda grafo-analitică a lui Liénard considerind sistemul cu un singur grad de libertate.

Theo Rahn /43/ arată influența variației sarcinilor pe osii asupra stick-slipului tot la locomotivele diesel hidraulice precum și influența rigidității arborilor cardanici. Folosește același model matematic ca și F.Böhm iar coeficienții de frecare dintre roți și sine fi consideră constanti, ceea ce constituie o abatere grosolană față de realitate..

Datorită fenomenului de stick-slip s-au observat solicitări torsionale importante în osiile locomotivelor noastre hidraulice construite la uzinele 23 August. Problema acestor oscilații precum și introducerea unor dispozitive pentru micșorarea amplitudinilor acestora a fost studiată experimental în teza de doctorat /26/ a inginerului Henry Holban, efectuată în anul 1976 la catedra de material rulant a I.P.Timișoara sub conducerea prof.Emerit ing. Ioan Zăgănescu.

H.Schröter și A.Schönenberger /48/ cercetează experimental fenomenele care apar la patinarea roților locomotivei diesel electrice DL 261/115 a căilor ferate germane (Bundesbahn) arătând condițiile pe care trebuie să le îndeplinească dispozitivele împotriva patinării. Aparatul construit nu a eliminat însă apariția stick-slipului.

Cercetări experimentale au fost făcute și de W.Breyer/10/ /11/ cu locomotive electrice cu tiristoare seria 1043 a căilor ferate austriece ca urmare a ruperilor de osii apărute.Experiențele au arătat micșorarea amplitudinilor oscilațiilor de stick-slip la

623.490 /187 C

locomotivele cu comandă tiristorizată. Autorul prezintă și dispozitivul "presductor" de antipatinare construit de firma ASEA.

J.Kolerus /31/, /32/ stabilește condițiile necesare pentru evitarea oscilațiilor staționare de stick-slip cu teoria stabilității pentru un sistem mecanic oscilant simplificat prin considerarea osiei locomotivei ca fiind rigidă, neținând însă seama de influența transmisiei locomotivei asupra oscilațiilor.

E.Körner /33/ analizează rezultatele cercetărilor efectuate la căile ferate austriece legate de autovibrăriile ce apar la patinarea roților și indică ca o posibilitate de micșorarea amplitudinilor acestora introducerea unei amortizări în sistemul elastic al cuplajului motorului electric de tractiune, ceea ce însă nu s-a putut realiza în practică.

Defecțiuni importante cauzate de oscilațiile de stick-slip s-au constatat și la unele din locomotivele electrice 060-EA construite la noi în țară, ceea ce a făcut obiectul contractului de cercetare /27/ efectuat la catedra M.R. a I.P."Traian Vuia" din Timișoara sub conducerea prof.emerit ing.Ioan Zăgănescu, contract la care a participat și autorul.

1.3. Stick-slipul la locomotivele diesel cu transmisie în curent alternativ-curent alternativ.

Aplicarea transmisiei în curent alternativ - curent alternativ cu convertizoare statice de frecvență pe locomotivele diesel punându-se numai în ultimii ani odată cu perfecționarea tehnicei semiconductoarelor și ne fiind pînă în prezent construite locomotive de mare putere echipate cu o astfel de transmisie, stick-slipul la aceste locomotive nu a fost studiat. De altfel, după cum s-a arătat anterior, nici la celealte tipuri de locomotive acest fenomen nu a fost suficient cercetat.

Alura caracteristicii cuplului motorului electric se

Tracțiune are o mare influență asupra patinării roților locomotivei după cum s-a arătat și în cap.l.1 fig.1-6. Deoarece la motorul asincron de tracțiune caracteristica cuplului este abruptă și aproximativ liniară în zona sa stabilă, vitezele de patinare sunt mult mai mici, comparabil cu motorul electric de tracțiune de cu - rent continuu /3/. Paricolul „ambalării” motorului și osiei la patinare este complet înlăturat, datorită faptului că caracteristica forței motorului va intersecta întotdeauna caracteristica forței de frecare, dar nu și stick-slipul.

Stick-slipul se produce imediat după „ruperea aderenței” odată cu patinarea roților oricără de mici ar fi vitezele de patinare, aceasta putîndu-se explica prin faptul că oscilațiile de stick-slip care apar sunt autoexcitate, amplitudinile acestor oscilații cresc rapid în timp /27/, /48/, /61/ depinzînd de mai mulți factori care au fost menționati în cap.l.1, ^{nu}numai de viteza de patinare.

La locomotivele diesel cu transmisie în curent alternativ-curent alternativ modul de reglare a mărimilor de alimentare ale motorului asincron de tracțiune influențează stick-slipul. Această reglare este impusă de necesitatea realizării caracteristicii de tracțiune a locomotivei /52/, /53/.

Forța de tracțiune F_o corespunzătoare unei osii motoare, este direct proporțională cu cuplul M_m dezvoltat la arborele motorului electric de tracțiune, dacă se negligează fenomenele dinamice și frecările din sistemul de antrenare al locomotivei.

Funcționarea în comun a motorului electric asincron de tracțiune cu vehiculul se studiază cu ajutorul caracteristicilor $F(V, U, f)$ care se obțin prin raportarea la roți a caracteristicilor electromecanice $M_m(n, U, f)$ ale motorului, n fiind turata motorului, U – tensiunea de alimentare și f – frecvența tensiunii de alimentare, /41/, /52/, /53/.

Dacă se are în vedere asigurarea funcționării stabile a motorului asincron și posibilitățile de suprafincărcare ale acestuia, trebuie să se urmărească pe cît posibil ca obținerea unei reglări de viteză să nu ducă la modificarea coeficientului k_s de suprasarcină al motorului. Prin unirea punctelor corespunzătoare de pe caracteristicile F (V, U, f) se obține caracteristica de tractiune $F_o(V)$ (fig.1-8).

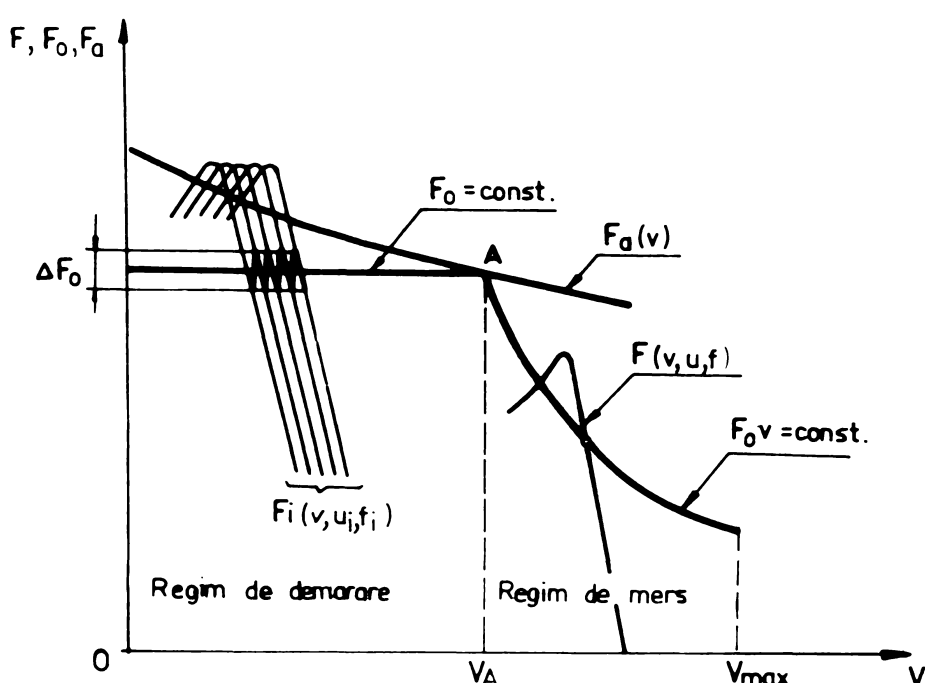


Fig.1-8. Obținerea caracteristicii de tractiune a locomotivei prin modificarea frecvenței și tensiunii de alimentare a motorului electric asincron de tractiune.

Pentru obținerea unei forțe de tractiune corespunzătoare, într-un interval cît mai mare de viteze de circulație, se impune o reglare a vitezei motoarelor electrice asincrone de tractiune astfel încât cuplul și turatarea acestora să se modifice în limite cît mai mari. De asemenea la pornirea vehiculului este necesară o forță de tractiune cît mai mare pentru ca trenul să poată fi demarat.

Modul de reglare a vitezei motorului electric de tractiune se stabilește în ipoteza neglijării rezistenței înfășurării

staticice a motorului, ceea ce este posibil în cazul motoarelor de putere mijlocie și mare, și dacă pentru regimurile de funcționare motorul nu este saturat.

In regimul de demarare al locomotivei, domeniul de viteze ($0-V_A$) (fig.1-8), caracterizat prin $F_o = \text{const.}$, comanda convertizorului de frecvență al transmisiei trebuie făcută astfel încât tensiunea să varieze proporțional cu frecvența, adică trecerea de pe caracteristica $F_1(V, U_1, f_1)$ pe caracteristica $F_2(V, U_2, f_2)$ se face respectând condiția $U_1/f_1 = U_2/f_2 /52/, /53/$.

O reglare ideală a vitezei în regimul de demaraj ar fi aceea corespunzătoare caracteristicii forței limitate de aderență $F_a(V)$, aceasta fiind practic imposibil din cauza numeroșilor factori care influențează coeficientul de aderență (vezi cap.l.1) și totodată ar duce la complicarea sistemului de comandă și reglare al locomotivei ceea ce contravine siguranței în funcționare.

In regimul de mers, domeniul ($V_A - V_{\max}$) puterea motorului diesel, deci și puterea de alimentare a motoarelor electrice de tracțiune este constantă, din această condiție rezultând relația care definește dependența dintre tensiune și frecvență care va fi $U_1/U_2 = \sqrt{f_1/f_2}$. Pentru regimul de mers o reglare simplă a vitezei poate fi realizată prin menținerea tensiunii U constantă, aceasta ducând însă la o supradimensionare fie a motorului, fie a convertizorului de frecvență. /41/, /39/, /52/.

Influența modului în care se realizează reglarea mărimilor U și f de alimentare a motorului asincron, în regimul de demaraj și supra posibilității de producere a patinării se poate vedea în fig. 1-8. Cu cât caracteristicile motorului electric de tracțiune sunt mai apropiate cu atit și variația ΔF_o a forței de tracțiune este mai mică. De aici rezultă necesitatea unei reglări fără salturi, continue, a frecvenței și tensiunii de alimentare a motorului asincron de tracțiune /53/.

In cazul unei reglări continue, posibilitățile de producere a patinării roților deci și a stick-slipului la trecerea de pe o caracteristică de funcționare pe alta sunt mult diminuate dar nu înălăturate complet.

Cazurile de producere a stick-slipului la locomotivele diesel cu transmisie în curent alternativ și motoare asincrone de tractiune sunt următoarele (fig.1-9):

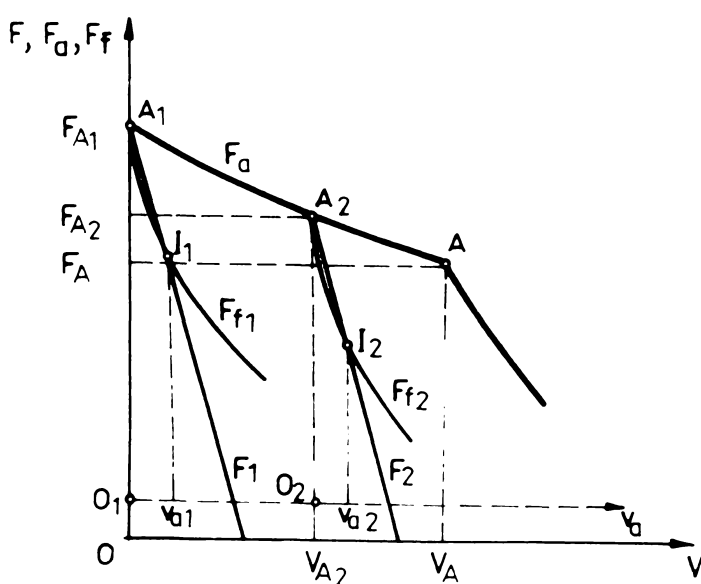


Fig.1-9. Cazurile de producere a stick-slipului la locomotivele cu transmisie în curent alternativ-curent alternativ.

Va pornește fără să patineze, după depășirea vitezei de mers v_{A2} se produce patinarea roților deoarece în acest caz $F_{A2} > F_a(v)$;

3) La trecerea locomotivei peste o porțiune de cale unde coeficientul de aderență este mai redus, procesul de patinare oprindu-se după restabilirea condițiilor de aderență.

Din această analiză se pot trage următoarele concluzii privind apariția fenomenului de stick-slip la locomotivele diesel

1) La pornirea locomotivei, dacă forța de tractiune necesară demarării trenului F_{nec} este mai mare decât forța limitată de aderență $F_a(V=0)$. În acest caz viteza de patinare este v_{al} corespunzătoare punctului I_1 de intersecție a caracteristicilor F_1 și F_{f1} ;

2) În perioada demarajului cînd reglarea se face la forța de tractiune constantă F_{A2} . Deși $F_{A2} < F_a(V=0)$ deci locomotiva pornește fără să patineze, după depășirea vitezei de mers v_{A2} se produce patinarea roților deoarece în acest caz $F_{A2} > F_a(v)$;

cu transmisie în currenț alternativ și motoare asincrone de tracțiune.

- deși caracteristica mecanică a motorului electric asincron are panta mult mai mare în comparație cu motorul de curenț continuu (fig.1-9); totuși aceasta nu este suficient pentru a înlătura fenomenul de stick-slip, cu toate că vitezele medii de patinare a roților sunt foarte mici, fapt confirmat de altfel și de experiențele întreprinse în cadrul O.R.E./3/.

- reglarea „continuă” a vitezei influențează favorabil mersul locomotivei în sensul reducerii posibilității de producere a stick-slipului la trecerea de pe o caracteristică de funcționare a motorului pe alta (fig.1.8), dar nu înlătură complet apariția stick-slipului (cazurile 1, 2, 3, fig.1-9).

O deosebită importanță o prezintă influența stick-slipului asupra caracteristicilor de tracțiune ale locomotivei, problemă care de altfel este și scopul urmărit în această lucrare.

După cum s-a arătat în acest capitol, esența apariției stick-slipului o constituie patinarea roților datorită depășirii forței limitate de aderență de către forța de tracțiune. Deoarece sarcinile nu sunt aceleași la toate osiile locomotivei și nu rămân constante la pornire și în timpul mersului, patinarea va începe în primul rînd la osia cea mai descărcată.

De aceea în paralel s-a studiat variația sarcinilor pe osii pentru a putea stabili influența acestora asupra oscilațiilor de stick-slip.

Cap.2. VARIATIA SARCINILOR PE OSIILE LOCOMOTIVEI.

Tendința actuală de sporire a puterii locomotivelor diesel impune utilizarea cît mai eficientă a greutății acestora, în special în perioada demarajului, cînd apare pericolul patinării osiilor care se descarcă.

La locomotivele cu transmisie individuală, forța de tracțiune a fiecărei osii motoare nu poate fi mai mare decît forța de aderență a osiei cel mai mult descărcată, deoarece depășirea aderenței la una din osii ar produce patinarea, iar forța de tracțiune necesară s-ar repartiza pe celelalte osii care vor patina și ele.

Valoarea efectivă a sarcinii pe osie va fi:

$$Q = Q_0 + \Delta Q_s + \Delta Q_d \quad (2.1)$$

în care:

Q_0 reprezintă sarcina statică pe osie;

ΔQ_s - variația sarcinii pe osie datorită factorilor de natură statică;

ΔQ_d - variația sarcinii pe osie datorită factorilor de natură dinamică.

2.1. Variatia sarcinilor de natură statică

Variatia sarcinilor de natură statică se produce datorită rotirii cutiei locomotivei, rotirii boghiurilor și acțiunii motoarelor de tracțiune. Aceasta depinde de mai mulți factori de natură mecanică, în principal de tipul legăturii între cutie și boghiuri, de suspensia locomotivei, de modul de suspendare a motorului de tracțiune precum și de eventualele dispozitive „anticabraj”.

Influența acestor factori este analizată la o locomotivă de tipul Co-Co considerind linia în palier și aliniament, boghiurile necuplate vertical și forțe de tractiune egale la toate osiile.

Considerind cutia locomotivei eliberată de legături, cu forțele și momentele exterioare care acționează asupra ei (fig. 2-1) din condițiile de echilibru a momentelor față de punctele A și B, de sprijin a cutiei pe boghiuri, se obțin reacțiunile verticale ale boghiurilor:

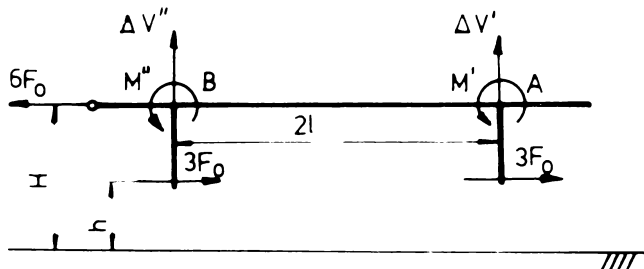


Fig. 2-1. Forțele și momentele care acționează asupra cutiei locomotivei

$$\Delta V' = - \left[\frac{1}{2.1} 6 F_0 (H-h) + M' + M'' \right]$$

$$\Delta V'' = -\Delta V' \quad (2.2)$$

În care:

2.1 reprezintă ampatamentul locomotivei ;

H - înălțimea cîrligului de tractiune față de şină;

h - înălțimea punctelor de transmitere a forțelor de tractiune de la boghiuri la cutie;

M' , M'' - momentele forțelor de reacțiune asupra cutiei date de dispozitivul „anticabraj”..

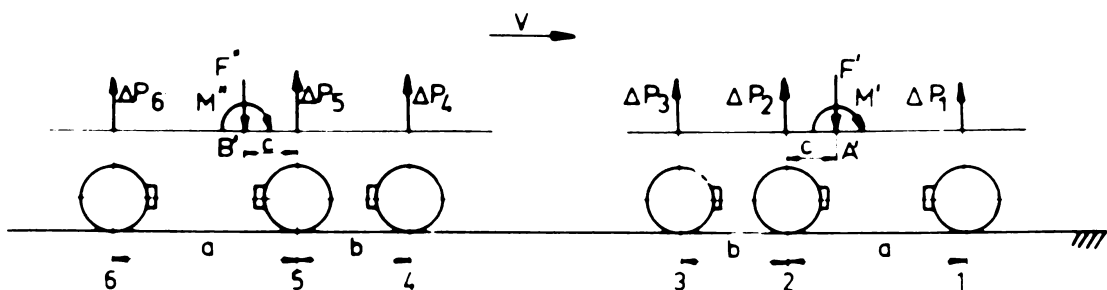


Fig. 2-2. Forțele și momentele care acționează asupra boghiurilor.

Considerind boghiurile reprezentate de axele lor longitudinale, cu forțele și momentele deduse la torsori în punctele A' și B' (centrele de rotație ale boghiurilor) (fig.2-2), din condițiile de echilibru static și din deformații vor rezulta reacțiunile ΔP_i ($i=1, \dots, 6$) ale suspensiei boghiurilor:

$$\Delta P_1 + \Delta P_2 + \Delta P_3 = T'$$

$$(a-c)\cdot\Delta P_1 - c\cdot\Delta P_2 - (b+c)\cdot\Delta P_3 = M'$$

$$\frac{b}{c_{a_1}} \Delta P_1 + \frac{a+b}{c_{a_2}} \Delta P_2 - \frac{a}{c_{a_3}} \Delta P_3 = 0$$

(2.3)

$$\Delta P_4 + \Delta P_5 + \Delta P_6 = T''$$

$$(b+c)\cdot\Delta P_4 + c\cdot\Delta P_5 - (a-c)\cdot\Delta P_6 = M''$$

$$\frac{a}{c_{a_3}} \Delta P_4 - \frac{a+b}{c_{a_2}} \Delta P_5 - \frac{b}{c_{a_1}} \Delta P_6 = 0$$

în care: c_{a_1} , c_{a_2} , c_{a_3} sunt rigiditățile suspensiei de la osiile (1,6), (2,5) și (3,4) ;

(T', M') , (T'', M'') - torsorii de reducere în punctele A' și B' ;

c - distanța dintre osia din mijloc a boghiului și centrul de rotație al boghiului.

Tinând seama de forțele și momentele care acționează asupra boghiului /14/ avem:

$$T' = \lambda_{eF_0}^F + \Delta V'$$

$$M' = -3F_0(h_1 - r_0) - 3\lambda_{eF_0}^F + \lambda_{eF_0}^F(a+b+c) - c\cdot\Delta V' + M'_1$$

$$T'' = \lambda_{eF_0}^F + \Delta V'' \quad (2.4)$$

$$M'' = -3F_0(h_1 - r_0) - 3\lambda_{eF_0}^F + \lambda_{eF_0}^F(a+b+c) + c\cdot\Delta V'' + M''_1$$

unde: h_1 este înălțimea punctului de transmitere a forței de tractiune de la boghiu la cutie (de pe boghiu);

e - distanța de la punctul de aplicare al reacțiunii verticale a motorului asupra boghiului, la osie ;

$\lambda_o^F_o$ - reacțiunea motorului asupra boghiului (λ_o fiind un coeficient care depinde de modul de suspensare a motorului de tractiune /6/, /14/ ;

M'_1, M''_1 - momentele de reacțiune asupra boghiurilor ale dispozitivului „anticabraj”.

Intre variațiile de sarcini în resorturi ΔP_i ($i=1, \dots, 6$) date de sistemul (2.3) și variațiile de sarcini pe osii ΔQ_{is} ($i=1, \dots, 6$) avem relațiile:

$$\Delta Q_{is} = \Delta P_i \pm \lambda_o^F_o \quad (i=1, \dots, 6) \quad (2.5)$$

unde semnul (+) corespunde poziționării motorului electric de tractiune înaintea osiei față de sensul de mers și (-) cînd motorul este după osie.

Variațiile de sarcini pe osie date de (2.5), în urma rezolvării sistemului (2.3), vor fi:

$$\begin{aligned} \Delta Q_{1s} &= \frac{1}{N'} \left\{ \mathcal{F}' \left[\frac{(a+b)(b+c)}{c_{a_2}} + \frac{ac}{c_{a_3}} \right] + \mathcal{M}' \left(\frac{a+b}{c_{a_2}} + \frac{a}{c_{a_3}} \right) \right\} - \lambda_o^F_o \\ \Delta Q_{2s} &= \frac{1}{N'} \left\{ \mathcal{F}' \left[\frac{-b(b+c)}{c_{a_1}} + \frac{a(a-c)}{c_{a_3}} \right] + \mathcal{M}' \left(-\frac{b}{c_{a_1}} - \frac{a}{c_{a_3}} \right) \right\} + \lambda_o^F_o \\ \Delta Q_{3s} &= \frac{1}{N'} \left\{ \mathcal{F}' \left[\frac{-bc}{c_{a_1}} + \frac{(a+b)(a-c)}{c_{a_2}} \right] + \mathcal{M}' \left(\frac{b}{c_{a_1}} - \frac{a+b}{c_{a_2}} \right) \right\} + \lambda_o^F_o \\ \Delta Q_{4s} &= \frac{1}{N''} \left\{ \mathcal{F}'' \left[-\frac{bc}{c_{a_1}} - \frac{(a+b)(a-c)}{c_{a_2}} \right] + \mathcal{M}'' \left(\frac{b}{c_{a_1}} - \frac{a+b}{c_{a_2}} \right) \right\} - \lambda_o^F_o \\ \Delta Q_{5s} &= \frac{1}{N''} \left\{ \mathcal{F}'' \left[\frac{b(b+c)}{c_{a_1}} - \frac{a(a-c)}{c_{a_3}} \right] + \mathcal{M}'' \left(-\frac{b}{c_{a_1}} - \frac{a}{c_{a_3}} \right) \right\} - \lambda_o^F_o \\ \Delta Q_{6s} &= \frac{1}{N''} \left\{ \mathcal{F}'' \left[-\frac{(a+b)(b+c)}{c_{a_2}} - \frac{ac}{c_{a_3}} \right] + \mathcal{M}'' \left(\frac{a+b}{c_{a_2}} + \frac{a}{c_{a_3}} \right) \right\} + \lambda_o^F_o \end{aligned} \quad (2.6)$$

În care N' și N'' au expresiile:

$$\begin{aligned} N' &= -\frac{b^2}{c_{a_1}} + \frac{(a+b)^2}{c_{a_2}} + \frac{a^2}{c_{a_3}} \\ N'' &= -N' \end{aligned} \quad (2.7)$$

Antrenarea individuală a osiilor micșorează mult posibilitățile de a folosi întreaga greutate de aderență, din care cauză utilizarea unor mijloace adecvate pentru micșorarea descărăcării osiilor (de „anticabraj”), datorită efectelor tractiunii finale, au devenit astăzi o necesitate constructivă la locomotivele moderne /6/, /14/, /58/.

2.2. Variatia sarcinilor de natură dinamică

Variatiile dinamice ale sarcinilor pe osii apar datorită oscilațiilor locomotivei în perioada demarajului. Dintre acestea cea mai mare influență o au oscilațiile de „galop” ale cutiei date de forțelor longitudinale /43/, /45/. Considerind neglijabile oscilațiile boghiurilor și motoarelor electrice de tractiune, ecuația diferențială a oscilațiilor este:

$$I_c \ddot{\Psi} = (\Delta V'_d - \Delta V''_d) l + F_d(h_c - H) - 2F_{bd}(h_c - h) + M'_d + M''_d \quad (2.8)$$

unde:

Ψ este unghiul de rotație al cutiei în plan vertical;

I_c —momentul de inerție al cutiei față de centrul de greutate;

$\Delta V'_d$, $\Delta V''_d$ —reactiunile verticale ale boghiurilor asupra cutiei;

F_d —forța la cîrligul de tractiune al locomotivei;

F_{bd} —reactiunea orizontală a boghiului asupra cutiei;

M'_d , M''_d — momentele date de dispozitivele „anticabraj”.

În ecuația (2.8) au fost luate în considerare numai forțele și momentele de natură dinamică. Expresiile acestor forțe sunt:

$$\Delta V'_d = -\Delta V''_d = -c_c l \dot{\Psi} \quad (2.9)$$

$$F_d = (l + \gamma) m_L \cdot \frac{dV}{dt} + R_L \quad (2.10)$$

$$F_{bd} = (m_b + m_L \frac{\gamma}{2}) \frac{dV}{dt} + \frac{R_L}{2} \quad (2.11)$$

în care:

$\frac{dV}{dt}$ este accelerarea vehiculului ;

γ' - coeficient de inertie care tine seama de masele in miscare de rotatie;

m_L - masa locomotivei;

m_b - masa boghiului ;

R_L - rezistența la înaintare a locomotivei;

c_c - rigiditatea suspensiei cutiei (pe boghiu).

Dacă ținem seama de relația (2.9), ecuația (2.8) devine :

$$I_c \ddot{\Psi} + 2 c_c l^2 \dot{\Psi} = F_d(h_c - H) - 2F_{bd}(h_c - h) + M'_d + M''_d \quad (2.12)$$

a cărei soluție va fi de forma:

$$\Psi = \Psi_0(1 - \cos \omega t) \quad (2.13)$$

în care:

$$\Psi_0 = \frac{1}{2 c_c l^2} [F_d(h_c - H) - 2F_{bd}(h_c - h) + M'_d + M''_d] \quad (2.14)$$

este poziția de echilibru în jurul căreia are loc oscilația de "galop" cu pulsăția proprie:

$$\omega = \sqrt{\frac{2 c_c l^2}{I_c}} \quad (2.15)$$

Variatiile dinamice maxime ale sarcinilor pe osie se obțin prin înlocuirea lui Ψ_{maxim} din (2.13) în relația (2.9) :

$$\Delta Q_{id} = \mp \frac{2 c_c l \Psi_0}{3} \quad (i = 1, \dots, 6) \quad (2.16)$$

unde: semnul (-) se ia pentru primele trei osii și (+) pentru următoarele trei.

Deoarece, în general, la locomotivele cu sisteme de antrenare cu "arbore de torsiune" /7/, /27/ avem $\omega \ll p$, p fiind pulsăția oscilațiilor de stick-slip, se poate neglija influența oscilațiilor "de galop" ale cutiei locomotivei asupra oscilațiilor de stick-slip.

2.3. Stabilirea variației sarcinilor pe osii la demaraj si mers pentru locomotive 060-EA de 5100 kW.

După cum s-a arătat în cap.1.3, patinarea osiilor locomotivei depinde de sarcinile pe osii care nu sunt și nu rămân constante în timpul mersului. Cunoașterea variației statice și dinamice a sarcinilor pe osii este absolut necesară și deoarece acestea depind numai de construcția mecanică a locomotivei, pentru studiul de față, s-a luat ca exemplu locomotiva electrică CFR 060-EA, pe care de fapt s-au făcut și experiențele cu tren, locomotiva diesel electrică în curent alternativ-curent alternativ ne fiind de altfel construită pînă în prezent în țară la noi.

Parametrii constructivi ai acestei locomotive sunt următorii: $l=5,15 \text{ m}$; $a=2,25 \text{ m}$; $b=2,1 \text{ m}$; $c=0,05 \text{ m}$; $e=0,438 \text{ m}$; $H=1,05 \text{ m}$; $h=0,59 \text{ m}$; $h_1=0,484 \text{ m}$; $h_c=2,3 \text{ m}$; $r_o=0,625 \text{ m}$; $c_{al} = c_{a3} = 228 \cdot 10^4 \frac{\text{N}}{\text{m}}$; $c_{a2} = 134 \cdot 10^4 \frac{\text{N}}{\text{m}}$; $c_c = 320 \cdot 10^4 \frac{\text{N}}{\text{m}}$; $I_c = 1,4 \cdot 10^6 \text{ kg}\cdot\text{m}^2$; $m_L=126 \cdot 10^3 \text{ Kg}$; $m_b = 24,5 \cdot 10^3 \text{ Kg}$; $\gamma = 0,135$; $\lambda_o = 1,427$.

Locomotiva fiind cu tractiune joasă, momentele datorate acestui mod de transmitere a forței de tractiune vor fi /14/, /58/:

$$M' = M'' = \frac{3}{2} F_o \cdot \operatorname{tg} \alpha_o \cdot d \quad (2.17)$$

$$M'_1 = M''_2 = \frac{3}{2} F_o \cdot \operatorname{tg} \alpha_o \cdot d_1 \quad (2.18)$$

$$M'_d = M''_d = \frac{1}{2} F_{bd} \cdot \operatorname{tg} \alpha_o \cdot d \quad (2.19)$$

unde: $d = 3,23 \text{ m}$ este distanța dintre punctele de articulație ale barelor de tractiune pe cutia locomotivei;

$d_1 = 2 \text{ m}$ - distanța dintre punctele de articulație ale barelor de tractiune pe boghiu;

$\alpha_o = 10^\circ$ - unghiul de înclinare față de orizontală al barei de tractiune.

Valorile variațiilor statice ale sarcinilor pe osii, calculate cu relațiile (2.6), (2.17), (2.18) în funcție de forță de tracțiune F_o , sănt centralizate în tabelul (2.1) în care semnul plus corespunde încărcării osiei iar semnul minus descărcării ei.

Tabelul 2.1

osia	1	2	3	4	5	6
Q_{is}	$-0,707 \cdot F_o$	$+0,447 \cdot F_o$	$-0,311 \cdot F_o$	$+0,311 \cdot F_o$	$-0,447 \cdot F_o$	$+0,707 \cdot F_o$

Din tabelul 2.1 se poate vedea că osia cea mai descărcată a locomotivei este osia 1, aceasta având deci prima tendință de a patina.

Pulsătia proprie a oscilațiilor „de galop” ale cutiei locomotivei calculată cu relația (2.15) va fi $\omega = 11,011 \text{ rad s}^{-1}$, valoare care este mult inferioară pulsătiei oscilațiilor datorate stick-slipului care este în general $\omega = 180 \dots 375 \text{ rad s}^{-1}$. Rezultă deci că sarcina pe osie în momentul producerii patinării poate fi considerată constantă.

Descărcarea maximă a osiei 1, datorită sarcinilor de natură dinamică, va fi dată de relația (2.16) în care γ depinde de acceleratia vehiculului la demaraj $\frac{dV}{dt}$ (relațiile (2.10), (2.11), (2.14)) care se obține din ecuația de mișcare a trenului:

$$\frac{dV}{dt} = \gamma \frac{6 F_o - R}{G_L + G_v} \quad (2.20)$$

Unde: $\gamma = \frac{g}{1 + \gamma}$;

R - rezistența totală la înaintare a trenului;

G_L, G_v - greutatea locomotivei, respectiv greutatea vagoanelor.

Vom considera că locomotiva tractează un tren format din vagoane de marfă în aliniament și palier.

In acest caz $R = r_L G_L + r_v G_v$; r_L, r_v fiind rezistențele specifice la înaintare ale locomotivei respectiv vagoanelor /27/ date de relațiile:

$$r_v = 1,6 + \frac{v^2}{2700} \left[\frac{\text{daN}}{10^3 \text{daN}} \right]$$

$$r_L G_L = R_L = 296 + 7,068 \left(\frac{v}{10} \right)^2 \text{ [daN]}$$

în care viteza de mers V este exprimată în km/h.

Forța limitată de aderență a osiei l cel mai mult descărcată va fi dată de relația:

$$F_a = \mu_a (Q_o + \Delta Q_{ls} + \Delta Q_{ld}) \quad (2.21)$$

în care $\mu_a = \mu_a(V)$ reprezintă funcția de variație a coeficientului de aderență în funcție de viteza V /57/.

Se poate pune în evidență influența parametrilor construcțivi ai locomotivei, a rezistențelor la înaintare R_L , R_v ale locomotivei respectiv vagoanelor precum și a coeficientului de aderență $\mu_a(V)$ asupra sarcinii Q_1 pe osia cea mai descărcată, în cazul cind se ține seama și de variația sarcinilor de natură dinamică. Pentru aceasta se rezolvă sistemul format din ecuațiile (2.16), (2.20) și (2.21) obținându-se:

$$Q_1 = \frac{Q_o + \frac{1}{31} \left[(1+\delta) m_L (h_c - H) - 2(m_b + m_L) \frac{\delta}{2} (h_c - h - \frac{\operatorname{tg} \alpha_s d}{2}) \right] \frac{R_v}{G_L + G_v} - \frac{R}{31} (h - H + \frac{\operatorname{tg} \alpha_s d}{2})}{1 + \mu_a \left\{ 0,707 + \frac{1}{31} \left[(1+\delta) m_L (h_c - H) - 2(m_b + m_L) \frac{\delta}{2} (h_c - h - \frac{\operatorname{tg} \alpha_s d}{2}) \right] \frac{6}{G_L + G_v} \right\}} \quad (2.22)$$

Deoarece stick-slipul se produce odată cu patinarea osiei celei mai descărcate după depășirea aderenței la această osie și deoarece forța de tracțiune a fiecărei osii motoare nu poate fi mai mare decât forța de aderență a osiei cel mai mult descărcată, variațiile de sarcini pe osie s-au calculat pentru $F_o = F_a$ unde $F_a(V)$ este dat de relația (2.21) pentru $\mu_a(V)$ dat de relația lui Curtius și Kniffler și $G_v = 1500 \cdot 10^3$ daN. Comparativ s-a calculat și forța limitată de aderență ținând seama numai de variațiile statice ale sarcinilor pe osii ($\Delta Q_{ld} = 0$) iar rezultatele au fost trecute

în tabelul 2.2.

Tabelul 2.2

V [km/h]	R [daN]	F_a [daN]	F'_a [daN]	$-\Delta Q_s$ [daN]	$-\Delta Q_d$ [daN]	Q_1 [daN]	$\frac{dV}{dt}$ [m s ⁻²]
0	2696	5405	5639	3821	872	16307	0,158
7,2	2728	5098	5304	3604	816	16580	0,148
14,4	2826	4860	5045	3436	772	16792	0,140
21,6	2988	4671	4840	3302	733	16965	0,133
28,8	3215	4516	4672	3193	702	17105	0,127
36	3507	4388	4533	3102	673	17225	0,121
43,2	3864	4281	4416	3027	642	17331	0,116
50,4	4285	4183	4315	2962	616	17422	0,111

Forța limitată de aderență a locomotivei va fi $F_{aL} = 6 F_a$, iar greutatea aderență $G_a = 6 Q_1$, ambele fiind funcții de viteza V de mers.

Pentru a vedea influența vitezei de mers a trenului asupra apariției stick-slipului în fig.2-3 și fig.2-4 s-au reprezentat curbelor de variație ale forțelor F_{aL} , F'_{aL} , R și respectiv Q_1 , $-\Delta Q_s$, $-\Delta Q_d$ (la depășirea aderenței) pentru viteze cuprinse între 0 și 50,4 km/h.

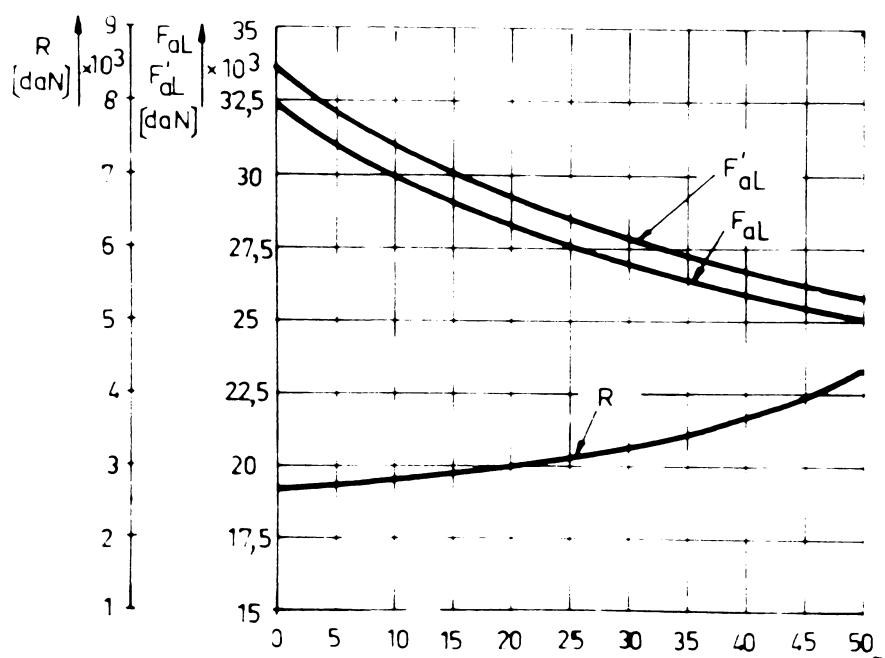


Fig.2-3. Caracteristicele forței de aderență a locomotivei și a rezistenței la înaintare a trenului.

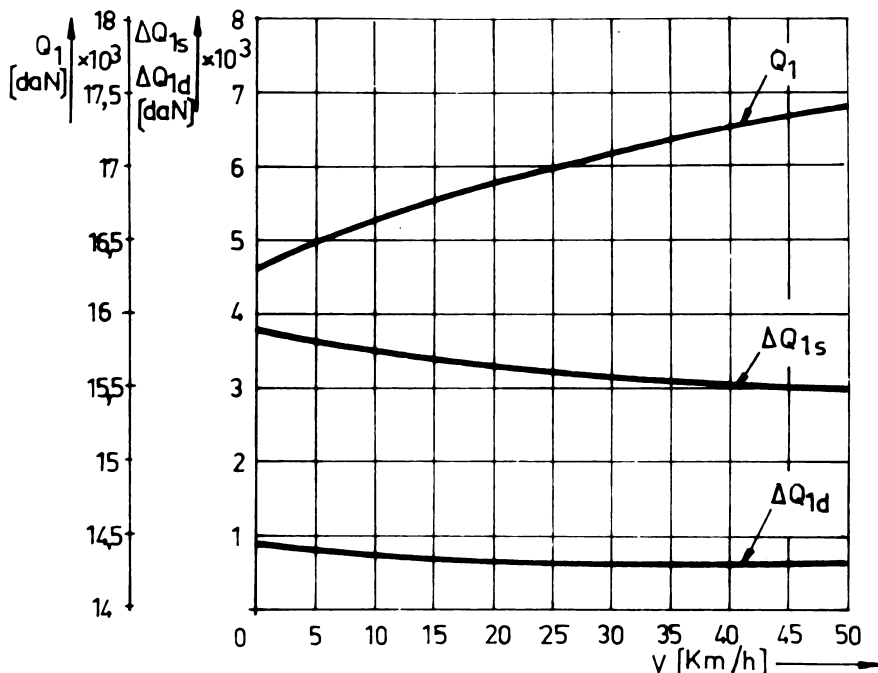


Fig. 2-4. Curbele de variație ale sarcinilor pe osie la depășirea aderenței.

Considerind că reglarea vitezei locomotivei se face la forță de tracțiune constantă în perioada demarajului și avînd în vedere că forța de aderență scade cu viteza de mers, patinarea osiei se va produce la viteza care corespunde intersecției forței de tracțiune cu forța de aderență.

Valoarea forței de tracțiune a locomotivei în perioada demarajului determină mărimea accelerării vehiculului care va varia cu viteza de mers. Această se poate vedea în fig. 2-5 în care s-au reprezentat curbele C_i ($i=2 \dots 8$) de variație ale accelerărilor cu viteza de mers V , calculate cu relația (2.20) pentru diferite valori constante ale forței de tracțiune.

Tabelul 2.3

V [km/h]	0	7,2	14,4	21,6	28,8	36	43,2	50,4
$\frac{dV}{dt}$ [$m s^{-2}$]	0,1581	0,1481	0,140	0,1331	0,1269	0,1213	0,1160	0,1106

Punctele limită A_1, A_2, \dots, A_8 ale accelerărilor corespund valorilor vitezei de mers la care se produce patinarea, curba C care le unește reprezentând variația accelerării în cazul regla-

rii după forță limitată de aderență (tabelul 2.3).

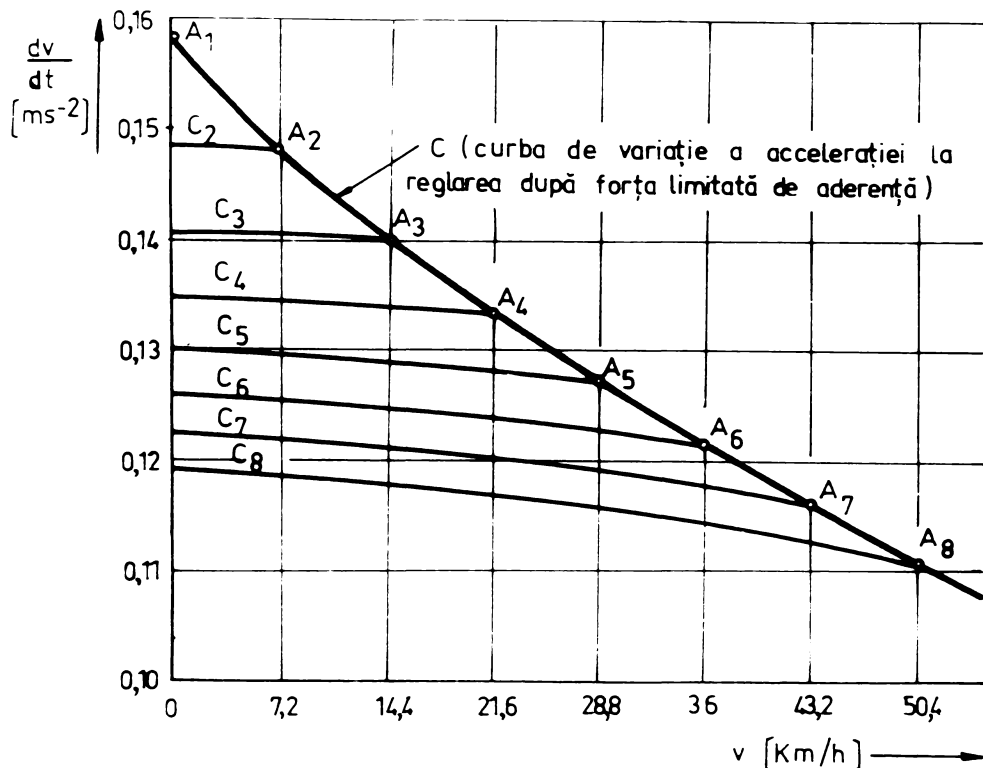


Fig.2-5. Curbele de variație ale accelerării în cazul reglării la $F_o = \text{const.}$

Pentru a pune în evidență influența coeficientului de aderență μ_a (la $V = 0$) asupra variației sarcinilor pe osii s-au calculat F_a și Q_1 , pentru valori ale coeficientului de aderență cuprinse între 0,340 și 0,486 (tab.2.4). Cu aceste valori în fig.2-6 s-au reprezentat curbele de variație ale funcțiilor $F_a(\mu_a)$ și $Q_1(\mu_a)$.

Tabelul 2.4

μ_a	0,340 0,360 0,380 0,400 0,420 0,440 0,460 0,480 0,486
F_a [daN]	5513 5759 5998 6232 6459 6681 6897 7108 7170
Q_1 [daN]	16215 15996 15785 15580 15379 15184 14993 14807 14752

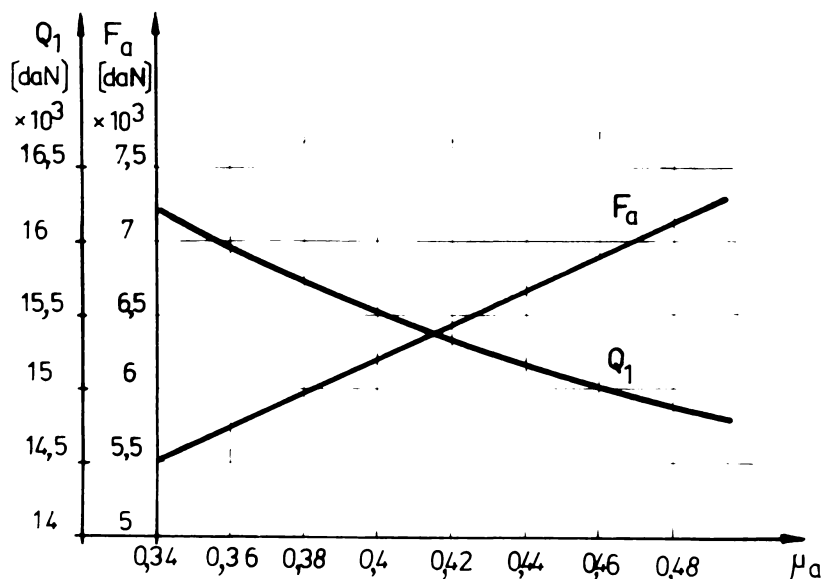


Fig. 2-6. Variația forței de aderență F_a și sarcinii pe osie Q_1 în funcție de valoarea coeficientului de aderență μ_a la $V = 0$

Din analiza acestor caracteristici se pot trage concluziile:

- forța limitată de aderență F_{aL} este mai mică decât forța de aderență F'_aL la calculul căreia nu s-a ținut seama de variația sarcinilor dinamice pe osii (fig. 2-3). Având în vedere dependența sarcinilor dinamice de accelerarea trenului, rezultă o înrăutățire a caracteristicii de tracțiune a locomotivei odată cu creșterea accelerării;

- patinarea osiei deci și stick-slipul se va produce mai ales la „smulgerea” din loc a locomotivei, cind sarcina pe osie este minimă. Sarcina Q_1 pe osia cea mai descărcată a locomotivei crește cu viteza de mers (fig. 2-4). Aceasta se datorează scăderii cu viteza de mers a accelerării (fig. 2-5), deci și a variației sarcinilor de natură dinamică.

Cap.3. ECUATIILE DE MISCARA ALE SISTEMULUI DE ANTRENARE AL LOCOMOTIVEI.

3.1. Stabilirea ecuațiilor de mișcare.

Modelul ansamblului osie montată - rotorul motorului electric de tractiune se poate reprezenta (fig.3-1) printr-un sistem mecanic oscilant echivalent cu n mase /31/, /61/, /62/.

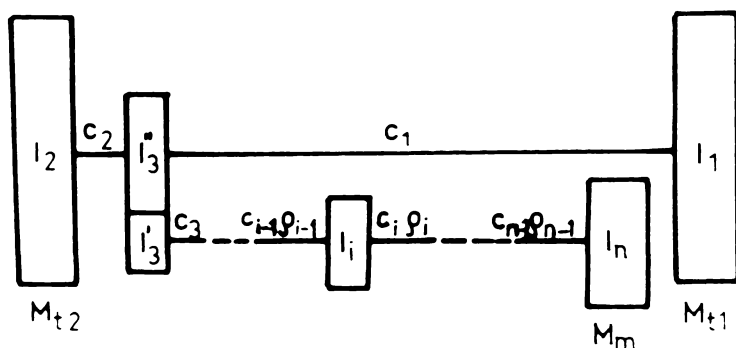


Fig.3-1. Modelul mecanic echivalent al sistemului de antrenare.

Pentru stabilirea ecuațiilor de mișcare ale sistemului de antrenare la patinarea osiei (ecuațiile oscilațiilor de stick-slip) s-au făcut următoarele notății:

$\varphi_1, \varphi_2, \varphi_3, \dots, \varphi_n$ - deplasările unghiulare ale roților 1, 2, pinionului 3 al angrajului de tractiune și a celorlalte mase în mișcare de rotație pînă la rotorul n al motorului;

$I_1, I_2, I_3^{'}, I_3^{''}, \dots, I_n$ - momentele de inerție ale roților, coroanei dințate, pinionului și a celorlalte mase ale sistemului de antrenare;

c_1, c_2, \dots, c_{n-1} - rigiditățile celor două porțiuni de osie și a celorlalte elemente elastice;

$\varphi_3, \varphi_4, \dots, \varphi_{n-1}$ - amortizările din elementele sistemului de antrenare.

Stabilirea ecuațiilor de mișcare ale sistemului de antrenare se face aplicând ecuațiile lui Lagrange:

$$\frac{d}{dt} \left[\frac{\partial W_c}{\partial \dot{q}_i} \right] - \frac{\partial W_c}{\partial q_i} + \frac{\partial W_p}{\partial q_i} + \frac{\partial W_d}{\partial \dot{q}_i} = Q_i, (i=1, \dots, n) \quad (3.1)$$

Reducind toate masele la axa motorului electric de tractiune, având în vedere că u este raportul de transmitere al angrenajului de tractiune, momentul redus I_3' al angrenajului și deplasările unghiulare echivalente φ_{1e} și φ_{2e} ale roților vor fi:

$$I_3' = I_3'' + \frac{I_3''}{u^2}$$

$$\varphi_{1e} = \varphi_1 \cdot u \quad (3.2)$$

$$\varphi_{2e} = \varphi_2 \cdot u$$

Coordonatele generalizate q_i ($i=1, \dots, n$), din ecuațiile lui Lagrange, sunt următoarele:

$$q_1 = \varphi_{1e} - \varphi_3 \quad (3.3)$$

$$q_2 = \varphi_{2e} - \varphi_3$$

$$q_3 = \varphi_3$$

.

.

$$q_i = \varphi_i - \varphi_{i-1}, (i=4 \dots n)$$

Expresiile energiei cinetice W_e , energiei potențiale W_p , energiei disipate W_d în sistem și forțelor generalizate Q_i ($i=n, \dots, n$) din ecuațiile (3.1) vor fi:

$$W_c = \frac{1}{2} \sum_{i=1}^n I_i \dot{\varphi}_i^2$$

$$w_p = \frac{1}{2} \left[c_1 \left(\frac{\varphi_3}{u} - \dot{\varphi}_1 \right)^2 + c_2 \left(\frac{\varphi_3}{u} - \dot{\varphi}_2 \right)^2 + \sum_{i=4}^n c_{i-1} (\varphi_i - \dot{\varphi}_{i-1}) \right] \quad (3.4)$$

$$w_d = \frac{1}{2} \sum_{i=4}^n \beta_{i-1} (\dot{\varphi}_i - \dot{\varphi}_{i-1})^2$$

$$Q_1 = - \frac{M_{t1}}{u}; \quad Q_2 = - \frac{M_{t2}}{u}; \quad Q_3 = M_m - \frac{M_{t2}}{u}; \quad Q_J = M_m \quad (J=4, \dots, n)$$

unde: $M_{t1}(\dot{\varphi}_1)$, $M_{t2}(\dot{\varphi}_2)$ sunt momentele forțelor de frecare la roți față de axa osiei;

$M_m(\dot{\varphi}_n)$ - cuplul motorului electric de tracțiune.

Făcind înlocuirile în ecuațiile lui Lagrange (3.1) și apoi revenind la variabilele inițiale se obține un sistem de n ecuații diferențiale neliniare:

$$I_1 \ddot{\varphi}_{1e} + c_1 (\varphi_{1e} - \varphi_3) = - u M_{t1}(\dot{\varphi}_1)$$

$$I_2 \ddot{\varphi}_{2e} - c_2 (\varphi_3 - \varphi_{2e}) = - u M_{t2}(\dot{\varphi}_2) \quad (3.5)$$

$$I_3 \ddot{\varphi}_3 + \beta_3 (\dot{\varphi}_3 - \dot{\varphi}_4) - c_1 (\varphi_{1e} - \varphi_3) + c_2 (\varphi_3 - \varphi_{2e}) + c_3 (\varphi_3 - \varphi_4) = 0$$

$$I_i \ddot{\varphi}_i - \beta_{i-1} (\dot{\varphi}_{i-1} - \dot{\varphi}_i) + \beta_i (\dot{\varphi}_i - \dot{\varphi}_{i+1}) - c_{i-1} (\varphi_{i-1} - \varphi_i) +$$

$$+ c_i (\varphi_i - \varphi_{i+1}) = 0$$

($i=4 \dots n-1$)

$$I_n \ddot{\varphi}_n - \beta_{n-1} (\dot{\varphi}_{n-1} - \dot{\varphi}_n) - c_{n-1} (\varphi_{n-1} - \varphi_n) = M_m(\dot{\varphi}_n)$$

Sistemul (3.5) mai poate fi scris și sub forma matricială:

$$[\mathbf{I}] [\ddot{\varphi}] + [\mathbf{D}] [\dot{\varphi}] + [\mathbf{C}] [\varphi] = [\mathbf{M}] \quad (3.6)$$

în care:

$$[\varphi] = \begin{bmatrix} \varphi_{1e} \\ \varphi_{2e} \\ \vdots \\ \varphi_i \\ \varphi_n \end{bmatrix}$$

este matricea deplasărilor unghiulare;

$$[I] = \begin{bmatrix} I_1 & 0 & \dots & \dots & \dots & \dots & 0 \\ 0 & I_2 & \dots & \dots & \dots & \dots & 0 \\ \vdots & \vdots & & & & & \\ 0 & 0 & \dots & I_i & \dots & \dots & 0 \\ \vdots & \vdots & & & & & \\ 0 & 0 & \dots & \dots & \dots & \dots & I_n \end{bmatrix} \quad - \text{matricea de inertie ;}$$

$$[D] = \begin{bmatrix} 0 & 0 & \dots & \dots & \dots & \dots & \dots & 0 \\ 0 & 0 & \dots & \dots & \dots & \dots & \dots & 0 \\ \vdots & \vdots & & & & & & \\ 0 & 0 & \dots & -\rho_{i-1} & \rho_{i-1} & \rho_i & -\rho_i & 0 \\ \vdots & \vdots & & & & & & \\ 0 & 0 & \dots & \dots & \dots & \dots & \dots & -\rho_{n-1} \rho_{n-1} \end{bmatrix} \quad - \text{matricea de amortizare ;} \quad (3.7)$$

$$[C] = \begin{bmatrix} c_1 & 0 & -c_1 & \dots & \dots & \dots & \dots & \dots & 0 \\ 0 & c_2 & -c_2 & \dots & \dots & \dots & \dots & \dots & 0 \\ \vdots & \vdots & & & & & & & \\ 0 & 0 & 0 & \dots & -c_{i-1} & c_{i-1} + c_i & -c_i & \dots & 0 \\ \vdots & \vdots & & & & & & & \\ 0 & 0 & 0 & \dots & \dots & \dots & \dots & -c_{n-1} & c_{n-1} \end{bmatrix} \quad - \text{matricea de rigiditate ;}$$

$$[M] = \begin{bmatrix} -u M_{t1} \\ -u M_{t2} \\ 0 \\ \vdots \\ 0 \\ \vdots \\ 0 \\ M_m \end{bmatrix} \quad - \text{matricea cuplurilor exterioare ;}$$

Pentru cazul concret al locomotivei 060-EA schema sistemului de antrenare este prezentată în fig. 3-2.

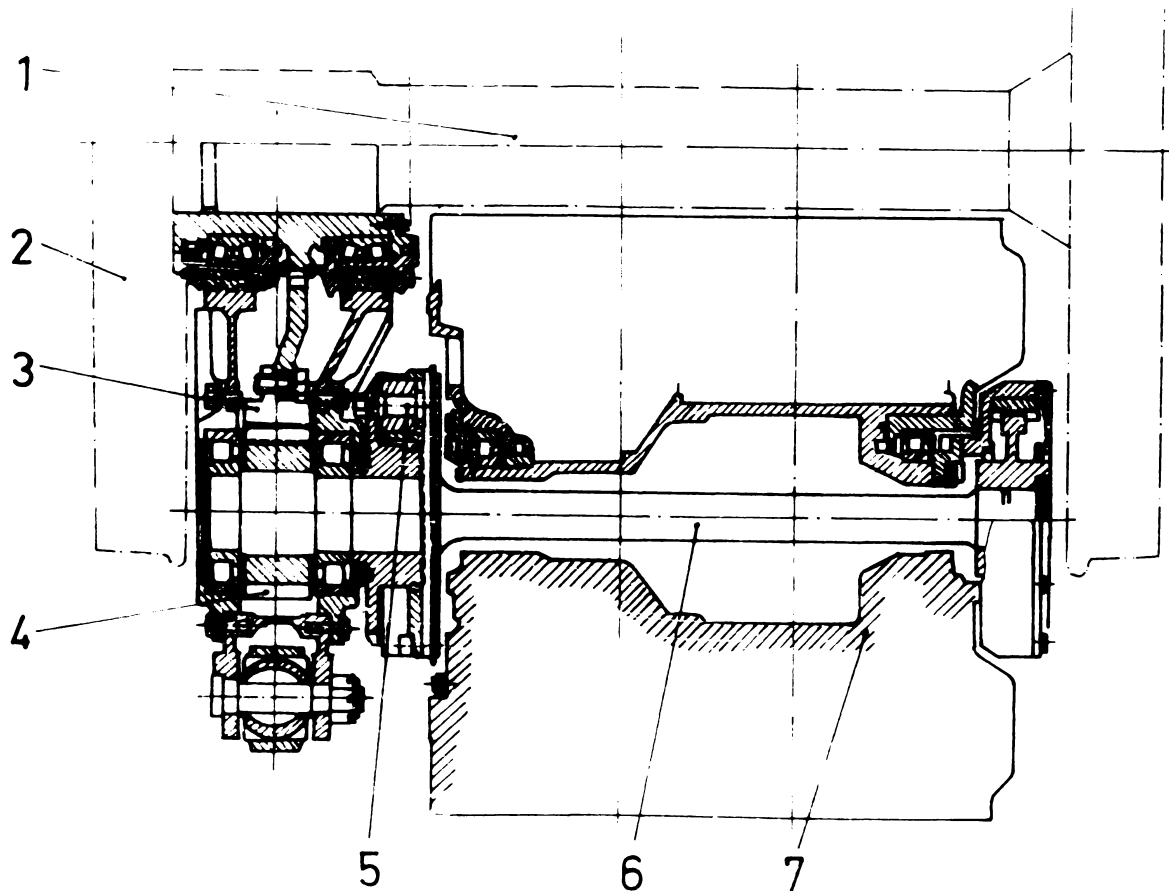


Fig.3-2 Schema sistemului de antrenare tip ASEA

1 - osia locomotivei; 2 - roți; 3 - coroana dințată a angrenajului de tractiune calată rigid pe osie;
4- pinion; 5- cuplaj elastic între arborele motorului și pinionul angrenajului; 6- arbore de torsiune;
7 - rotorul motorului electric de tractiune.

Modelul mecanic al sistemului de antrenare poate fi simplificat la un sistem cu trei grade de libertate (fig.3-3), rezultantele studiului pe acest sistem fiind cu bună aproximație față de sistemul real /31/, /59/, aceasta deoarece:

- momentele de inertie ale amselor în mișcare de rotație (masa pinionului, coroanei dințate a angrenajului de tractiune, cuplajului elastic,...) sunt neglijabile în raport cu cele ale roților osiei montate și a rotorului motorului electric de tractiune;

- efectele de amortizare ale forțelor de frecare din sistem se pot neglija în raport cu amortizările cauzate de forțele de frecare dintre roți și şine, și cele ale părții electrice;
- deplasarea unghiulară a coroanei dințate se poate considera egală cu cea a roții celei mai apropiate, aceasta deoarece între rigiditățile c_1 și c_2 (fig.3-1) ale celor două porțiuni de osie avem $c_2 \gg c_1$;
- sarcinile pe cele două roți se consideră egale, având în vedere că stick-slipul se produce în general la viteze mici de circulație, în perioada demarajului, cînd pot fi neglijate oscilațiile „de legănare” ale boghiului și cutiei locomotivei.

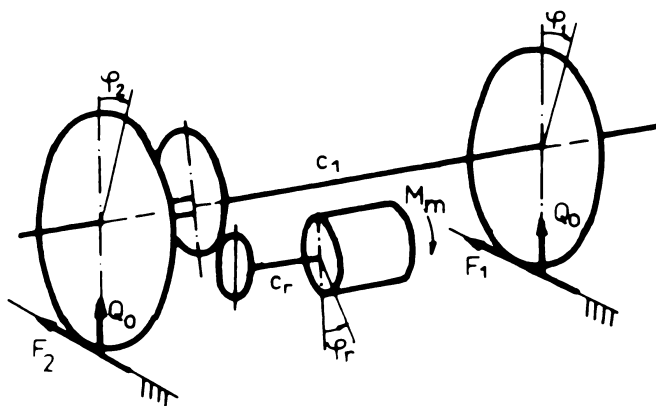


Fig.3-3 Model cu trei mase al sistemului de antrenare

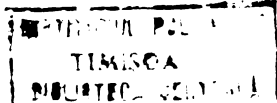
Tinînd seama de considerațiile de mai sus se poate scrie:

$$I_1 = I_2 = I$$

$I_n = I_r$ - momentul de inerție al rotorului motorului electric de tracțiune;

$\varphi_n = \varphi_r$ - deplasarea unghiulară a rotorului;

$c_n = c_r$ - rigiditatea arborelui de torsion;



$$Q_1 = Q_2 = \frac{Q}{2}$$

Mișcarea sistemului de antrenare, în acest caz, va fi considerată de un sistem de trei ecuații diferențiale neliniare, de forma:

$$[I][\ddot{\varphi}] + [C][\dot{\varphi}] = [M] \quad (3.8)$$

în care:

$$[\varphi] = \begin{bmatrix} \varphi_1 \\ \varphi_2 \\ \varphi_r \end{bmatrix}, \quad [I] = \begin{bmatrix} I & 0 & 0 \\ 0 & I & 0 \\ 0 & 0 & I_r \end{bmatrix},$$

$$[C] = \begin{bmatrix} c_1 & -c_1 & 0 \\ -c_1 & c_1 + c_r u^2 & -c_r u \\ 0 & -c_r u & c_r \end{bmatrix}; \quad [M] = \begin{bmatrix} -M_{t1} \\ -M_{t2} \\ M_m \end{bmatrix}$$

Momentele forțelor de frecare roată-șină sunt date de relațiile:

$$M_{ti} = Q_0 r_o \mu(v_{ai}), \quad (i = 1, 2) \quad (3.9)$$

unde r_o este raza roții și $Q_0 = \frac{Q}{2}$ - sarcina pe roată.

Vitezele de alunecare dintre roți și şine vor fi:

$$v_{ai} = \dot{\varphi}_i r_o - v, \quad (i=1,2) \quad (3.10)$$

Având în vedere că patinarea șiei motoare se produce în condițiile unei mișcări variate a trenului, viteza v din (3.10) nu este constantă, variația acesteia fiind dată de ecuația de mișcare a trenului (2.20).

Intărzierea abaterii vitezei de mers față de abaterea forței de tractiune sau a rezistenței la mers este caracterizată de constanta de timp T_v a trenului /57/.

$$T_v = \frac{G_L + G_v}{\left(\frac{\partial F}{\partial V} - \frac{\partial R_o}{\partial V} \right) \dot{\varphi}} \quad (3.11)$$

Pentru regimul de demaraj, cu reglarea la forță de tracțiune constantă ($\frac{\partial F}{\partial V} = 0$), constanta de timp a trenului este de ordinul sutelor de secunde, deci, mult superioară perioadei oscilațiilor de stick-slip (perioada oscilațiilor fiind de ordinul zecimilor de secundă).

Rezultă că dinamica trenului în timpul stick-slipului poate fi neglijată și deci viteză V se va considera constantă în ecuațiile de mișcare (3.6).

3.2. Studiul stabilității mișcării sistemului de antrenare.

Amplitudinile oscilațiilor de stick-slip pot atinge valori periculoase cu efectele arătate (v.cap.1.1), în deosebi în cazul instabilității mișcării. Coeficientul de frecare roată-șină și parametrii sistemului de antrenare al locomotivei influențează stabilitatea mișcării în cazul patinării roților.

Studiul stabilității mișcării sistemului de antrenare se face pentru sistemul general reprezentat de ecuațiile diferențiale (3.5).

Părțile componente ale sistemului de antrenare, deci și osia, vor avea o mișcare de rotație accelerată, pînă la viteză corespunzătoare punctului I (fig.3-4) de intersecție a caracteristicii cuplului motorului electric de tracțiune $M_m(\dot{\varphi})$ cu cuplul forțelor de frecare reduse la axa motorului $M_{tr}(\dot{\varphi})$.

Dezvoltînd în serie Taylor funcțiile $\mu(\dot{\varphi}_i)$, ($i=1,2$) și $M_m(\dot{\varphi}_n)$ în jurul punctului I pentru care avem:

$$\dot{\varphi}_{le0} = \dot{\varphi}_{2eo} = \dot{\varphi}_{3o} = \dots = \dot{\varphi}_{no} = \alpha$$

$$M_{tr}(\dot{\varphi}_o) = \frac{Q_{ro}}{u} \mu\left(\frac{\alpha}{u}\right) \quad (3.12)$$

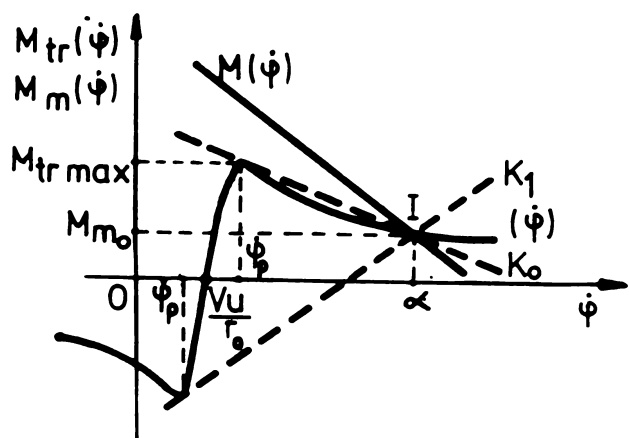


Fig. 3-4. Caracteristica cuplului motorului $M_m(\dot{\varphi})$ și a cuplului $M_{tr}(\dot{\varphi})$ al forțelor de frecare roată-șină, reduse la axa motorului.

se obține:

$$\mu(\dot{\varphi}_i) = \mu\left(\frac{\alpha}{u}\right) + \mu'\left(\frac{\alpha}{u}\right) \cdot \left(\dot{\varphi}_i - \frac{\alpha}{u}\right) + \frac{1}{2} \mu''\left(\frac{\alpha}{u}\right) \cdot \left(\dot{\varphi}_i - \frac{\alpha}{u}\right)^2 + \dots \quad (i=1,2) \quad (3.13)$$

$$M_m(\dot{\varphi}_n) = M_{mo} + M_m'(\alpha) \cdot \left(\dot{\varphi}_n - \alpha\right) + \frac{1}{2} M_m''(\alpha) \cdot \left(\dot{\varphi}_n - \alpha\right)^2 + \dots$$

unde $M_{mo} = M_m(\alpha)$

Relațiile (3.13) mai pot fi scrise sub forma:

$$\mu(\dot{\varphi}_i) = \frac{M_{mo}}{Q_0 \cdot r_0} u + K_\mu \cdot \left(\dot{\varphi}_i - \frac{\alpha}{u}\right) + \mu_r(\dot{\varphi}_i) \quad (i=1,2) \quad (3.14)$$

$$M_m(\dot{\varphi}_n) = M_{mo} + K_m(\dot{\varphi}_n - \alpha) + M_{mr}(\dot{\varphi}_n)$$

în care:

$$\mu_r(\dot{\varphi}_i) = \sum_{j=2}^{\infty} \frac{1}{j!} \left(\frac{d^j \mu}{d \dot{\varphi}_i^j} \right) \dot{\varphi}_i = \frac{\alpha}{u} \cdot \left(\dot{\varphi}_i - \frac{\alpha}{u} \right) \quad (i=1,2) \quad (3.15)$$

$$M_m(\dot{\varphi}_n) = \sum_{j=2}^{\infty} \frac{1}{j!} \left(\frac{d^j M_m}{d \dot{\varphi}_n^j} \right) \dot{\varphi}_n = \alpha \cdot \left(\dot{\varphi}_n - \alpha \right)$$

reprezintă termenii neliniari din dezvoltare.

Introducind perturbațiile q_i ($i=1, \dots, n$), se face schimbarea de variabile:

$$\dot{\varphi}_i = \dot{\varphi}_{io} + q_i, \quad (i=1, \dots, n) \quad (3.16)$$

unde:

$$\begin{aligned}\varphi_{10} &= \varphi_{20} = \frac{\alpha}{u} t \\ \varphi_{30} &= \alpha t + \frac{M_{mo} u^2}{c_1 + c_2} \\ \varphi_{io} &= \alpha t + M_{mo} \sum_{j=1}^{i-1} \frac{1}{c_j}, \quad (i=4, \dots, n)\end{aligned}\tag{3.17}$$

Introducind relațiile (3.13) și (3.16) în ecuațiile de mișcare (3.5) și neglijînd termenii $\mu_r(\dot{\varphi}_i)$, ($i=1, 2$) și $M_{mr}(\dot{\varphi}_n)$, se obțin ecuațiile diferențiale ale mișcării perturbate.

Pentru studiul stabilității absolute a mișcării sistemului de antrenare se folosește criteriul de stabilitate Routh-Hurwitz, generalizat pentru sisteme neliniare cu metoda lui Aizerman /1/, /32/.

Caracteristic este introducerea unei funcții $K(\dot{\varphi})$ unice, neliniare, în sistemul liniar, care variază într-un spațiu unghiular conform figurii 3-4. Funcția neliniară se înlocuiește, pentru aceeași spațiu unghiular printr-o dreaptă, care să conducă la un sistem echivalent de stabilitate liniară și față de sistemul neliniar să nu se obțină abateri prea mari:

$$K(\dot{\varphi}_o) = M_{mo} + (K_o - K)(\dot{\varphi} - \alpha) \tag{3.18}$$

unde: $0 < K < K_o - K_1$ și :

$$K_o = - \frac{M_{trmax} - M_{mo}}{\alpha - \dot{\varphi}_p} < 0 \tag{3.19}$$

$$K_1 = \frac{M_{trmax} + M_{mo}}{\alpha - \dot{\varphi}'_p} > 0$$

In relațiile (3.19) avem:

$$\dot{\varphi}_p = (v + v_p) \frac{u}{r_o} \tag{3.20}$$

$$\dot{\varphi}_p = (V - v_p) \frac{u}{r_0}$$

Stabilitatea mișcării sistemului se stabilește pentru toți parametrii $K_\mu = K_0 - K$ din relația (3.14).

Considerind perturbațiile q_i ($i=1, \dots, n$) de forma:

$$q_i = A_i e^{\lambda t}, \quad (i=1, \dots, n)$$

se obține ecuația caracteristică:

$$D(\lambda) = \begin{vmatrix} I_1 \lambda^2 + K_\mu u Q_0 r_0 \lambda + c_1 & 0 & c_1 & \dots & 0 \\ 0 & I_2 \lambda^2 + K_\mu u Q_0 r_0 \lambda + c_2 & -c_2 & \dots & 0 \\ \vdots & \vdots & \vdots & \ddots & \vdots \\ 0 & \dots & -\beta_{n-1} - c_{n-1} & I_n \lambda^2 - (K_m - \beta_{n-1}) \lambda - c_{n-1} & \end{vmatrix}$$

$$= \sum_{i=0}^{2n} A_i \lambda^{2n-i} = 0 \quad (3.21)$$

După Liapunov mișcarea sistemului este stabilă dacă ecuația caracteristică (3.21) are rădăcini reale negative sau rădăcini complexe conjugate care au părțile reale negative.

Aceste condiții se obțin dacă toți coeficienții A_i ($i=1, \dots, 2n$) sunt pozitivi și dacă sunt îndeplinite condițiile necesare și suficiente impuse de criteriul Routh-Hurwitz referitoare la determinanții D_J ($J=1, \dots, 2n$) formați cu coeficienții ecuației caracteristice:

$$A_i > 0, \quad (i=0, \dots, 2n) \quad (3.22)$$

$$D_J > 0, \quad (J=1, \dots, 2n)$$

determinanții D_J fiind de forma:

$$D = \begin{vmatrix} A_1 & A_3 & \dots & A_{2J-1} \\ A_0 & A_2 & \dots & A_{2J} \\ \dots & \dots & \dots & \dots \\ 0 & 0 & \dots & A_J \end{vmatrix} \quad (3.23)$$

în care $A_J = 0$ dacă $J > 2n$

Analiza influenței parametrilor sistemului de antrenare asupra stabilității oscilațiilor de stick-slip s-a particularizat pentru

locomotiva CFR 060-EA, rezultate care ulterior s-au verificat prin experiențele făcute pe această locomotivă pentru determinarea soli- citărilor osiilor la oscilațiile de stick-slip /27/, /60/.

După cum s-a arătat în cap.3.1 modelul sistemului de antrenare la această locomotivă poate fi simplificat la un sistem cu trei grade de libertate.

Cu notăriile folosite pentru acest caz (cap.3.1) ecuația caracteristică (3.21) devine:

$$D(\lambda) = \begin{vmatrix} I\lambda^2 + K_\mu u Q_o r_o \lambda + c_1 & 0 & c_1 \\ -c_1 & I\lambda^2 + K_\mu u Q_o r_o \lambda + c_1 + c_r u^2 & -c_r u \\ 0 & -c_r u & I_r \lambda^2 - K_m \lambda + c_r \end{vmatrix} = \\ = \sum_{i=0}^6 A_i \lambda^{6-i} = 0 \quad (3.24)$$

de unde rezultă condițiile de stabilitate:

$$\begin{aligned} A_0 &= I^2 I_r > 0 \\ A_1 &= 2 I I_r K_\mu Q_o r_o - I^2 K_m > 0 \\ A_2 &= II_r (2c_1 + c_r u^2) + I^2 c_r + I_r K_\mu Q_o^2 r_o^2 - 2IK_m K_\mu Q_o r_o > 0 \\ A_3 &= 2IK_\mu Q_o r_o c_r - IK_m (2c_1 + c_r u^2) + I_r K_\mu Q_o r_o (2c_1 + c_r u^2) - \\ &\quad - K_m K_\mu Q_o^2 r_o^2 > 0 \\ A_4 &= 2I c_1 c_r + I_r c_1 c_r u^2 - K_m K_\mu Q_o r_o (2c_1 + c_r u^2) + \\ &\quad + K_\mu^2 Q_o^2 r_o^2 c_r > 0 \end{aligned} \quad (3.25)$$

$$A_5 = 2 K_\mu Q_o r_o c_1 c_r - K_m c_1 c_r u^2 > 0$$

$$D_1 = A_1 > 0$$

$$D_2 = A_1 A_2 - A_0 A_3 > 0$$

$$D_3 = D_2 \cdot A_3 - A_1 (A_1 A_4 - A_0 A_5) > 0$$

$$D_4 = D_2 (A_3 A_4 - A_2 A_5) - (A_1 A_4 - A_0 A_5)^2 > 0$$

Caracteristicile sistemului de antrenare al locomotivei 060 -EA sunt: $I = 188,534 \text{ Kgm}^2$; $I_r = 55 \text{ Kgm}^2$; $C_r = 33,544 \cdot 10^4 \text{ Kgm}^2 \text{s}^{-2}$; $C_1 = 763,132 \cdot 10^4 \text{ Kgm}^2 \text{s}^{-2}$; $r_o = 0,625 \text{ m}$; $u = 3,65$.

După caracteristica experimentală a coeficientului de frecare fig.3-5, stabilită de Frederick /21/, s-a considerat o variație a coeficientului K_μ între $-0,2109 \text{ s}$ și $-0,0002 \text{ s}$ pentru viteze de alunecare cuprinse între $1 \frac{\text{m}}{\text{s}}$ și $30 \frac{\text{m}}{\text{s}}$ (tabelul 3.1).

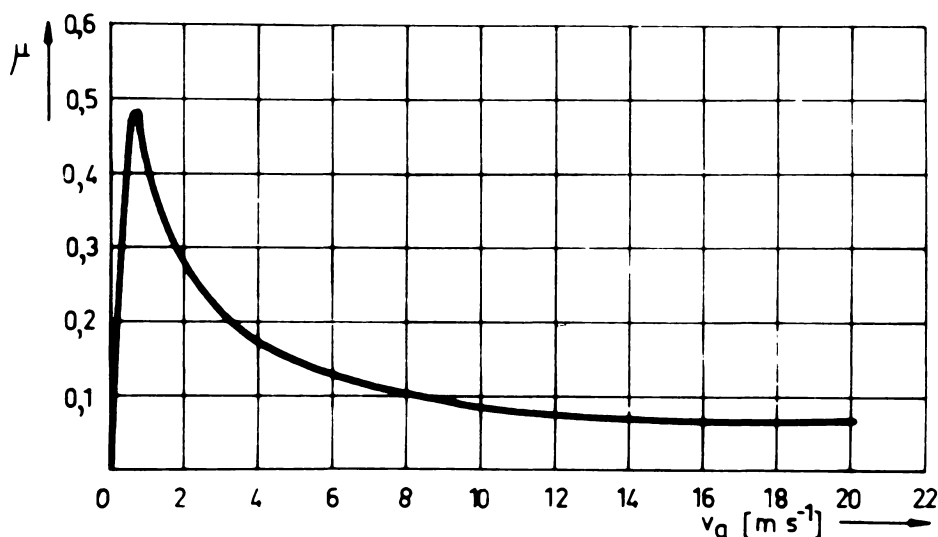


Fig.3-5. Caracteristica experimentală a coeficientului de frecare a lui Frederick.

Tabelul 3.1

$v_a [\text{m s}^{-1}]$	1	2	3	4	6	10	20	30
μ	0,4	0,265	0,215	0,17	0,12	0,085	0,07	0,065
$K_\mu [\text{s}]$	-0,2109	-0,0527	-0,0234	-0,0131	-0,0058	-0,0021	-0,0005	-0,0000

Sistemul va fi stabil dacă condițiile de stabilitate (3.22) sunt îndeplinite pentru întreg domeniul de variație al coeficientului de frecare.

Studiul stabilității sistemului cu trei mase (3.6) s-a făcut pe calculatorul numeric Felix C 256 al I.P.București, pentru care am întocmit schema logică din fig.3-6 și programul prezentat în anexa A1.1

S-a pus în evidență influența parametrilor C_r , K_m și K_μ

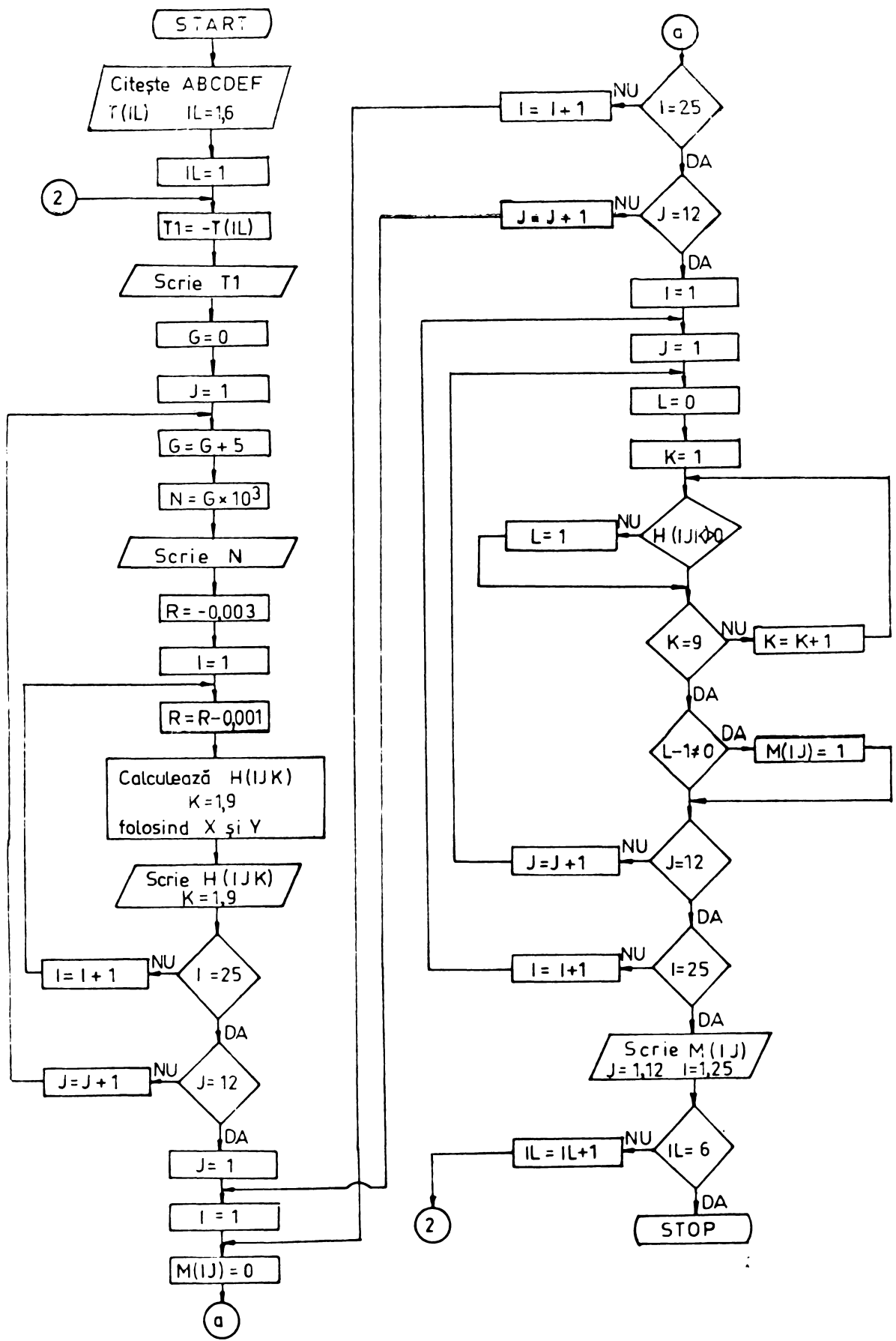


Fig.3-6 Schema logică pentru studiul stabilității mișcării sistemului de antrenare al locomotivei

Tabelul 2.2

		$Q_o = 81535 \text{ N}, I_r = 55 \text{ kgm}^2,$								
		-0,002	-0,004	-0,006	-0,008	-0,01	-0,012	-0,014	-0,016	-0,018
$K_m = -300 \text{ Nms}$		0,1809	0,4229	0,8097	1,705	11,0412				
$K_m = -400$		0,2339	0,5177	0,8895	1,4394	2,4456	5,3905			
$K_m = -500$		0,2874	0,6194	1,0197	1,5322	2,2491	3,4014	5,7789	15,0025	
$K_m = -600$		0,3411	0,7238	1,1649	1,6919	2,3527	3,2387	4,5496	6,8201	12,1285
										44,1651

Tabelul 2.3

		$I_r [kgm^2]$						$Q_c [N]$		
		$K_m = -440 \text{ Nms}, Q_o = 81535 \text{ N}$			$K_m = -440 \text{ Nms}, Q_o = 81535 \text{ N}$			$K_m = -440 \text{ Nms}, I_r = 55 \text{ kgm}^2$		
K_m, I_r, Q_o	$I_r [kgm^2]$	45	50	55	60	8,2.10^4	8,4.10^4	8,6.10^4	8,8.10^4	
$-K_u$	-300	-500	-700	-1200	45					
$x 10^{-1} [s]$	a	0,103	0,173	0,242	0,415	0,217	0,176	0,145	0,122	
	b	0,075	0,135	0,185	0,271	0,155	0,135	0,115	0,105	
						0,151	0,125	0,105	0,102	
						0,147	0,125	0,115	0,112	

asupra stabilității oscilațiilor de stick-slip calculând valorile coeficienților A_0, \dots, A_5 și a determinanților D_1, \dots, D_4 (3.25) pentru 6 valori ($IL=1,6$) ale pantei K_m a motorului cuprinse între -300 și -1200 Nms (anexa A.1.2), 12 valori ($J=1,12$) ale rigidității C_r a arborelui de torsiune cuprinse între $5 \cdot 10^3$ și $6 \cdot 10^4$ Nm precum și pentru 25 valori ($I = 1,25$) ale pantei K_μ a caracteristicii coeficientului de frecare de la $-0,004$ pînă la $-0,028$ s.

In programul pentru calculator s-au făcut următoarele notății:

$A=I$, $B=I_r$, $C=Q$, $D=r_0$, $E=C_1$, $F=u$, $T=K_m$, $R=K$, $N=C_r$, $H(I, J, J)=A_0, \dots H(I, J, 6)=A_5$, $H(I, J, 7)=D_2$, $H(I, J, 8)=D_3$ și $H(I, J, 9)=D_4$. Limita de stabilitate se obține pentru acele valori ale pantei K_μ la care sunt îndeplinite condițiile de stabilitate (3.25).

Influența rigidității C_r a arborelui de torsiune al motorului electric de tractiune asupra stabilității oscilațiilor se vede în fig.3-7 (linie continuă), în care s-au delimitat zonele de stabilitate prin funcțiile $C_r(K_\mu)$ pentru diferite valori (anexa A.1.2) ale pantei K_m a caracteristicii motorului.

Pentru valori ale rigidității $C_r > 5 \cdot 10^4$ Nm corespunzătoare celor reale existente la motoarele de tractiune cu arbore de torsiune, panta K_μ a coeficientului de frecare (care delimitează zona de stabilitate), poate fi considerată constantă și egală cu $K_{\mu 1}$, valoarea către care tinde asimptotic funcția $C_r(K_\mu)$.

Se observă o largire a domeniului de stabilitate la mărirea pantei K_m a caracteristicii motorului. Aceasta se poate vedea și în fig.3-8 în care s-a reprezentat funcția $K_{\mu 1}(K_m)$ după valorile din tabelul 3.3.b.

Funcțiile $C_r(K_\mu)$ și $K_{\mu 1}(K_m)$ s-au reprezentat considerind sarcina pe roată Q_0 și momentul de inerție I_r al rotorului motorului electric de tractiune ca fiind constante.

Deoarece stick-slipul se produce mai întîi la osia cea mai

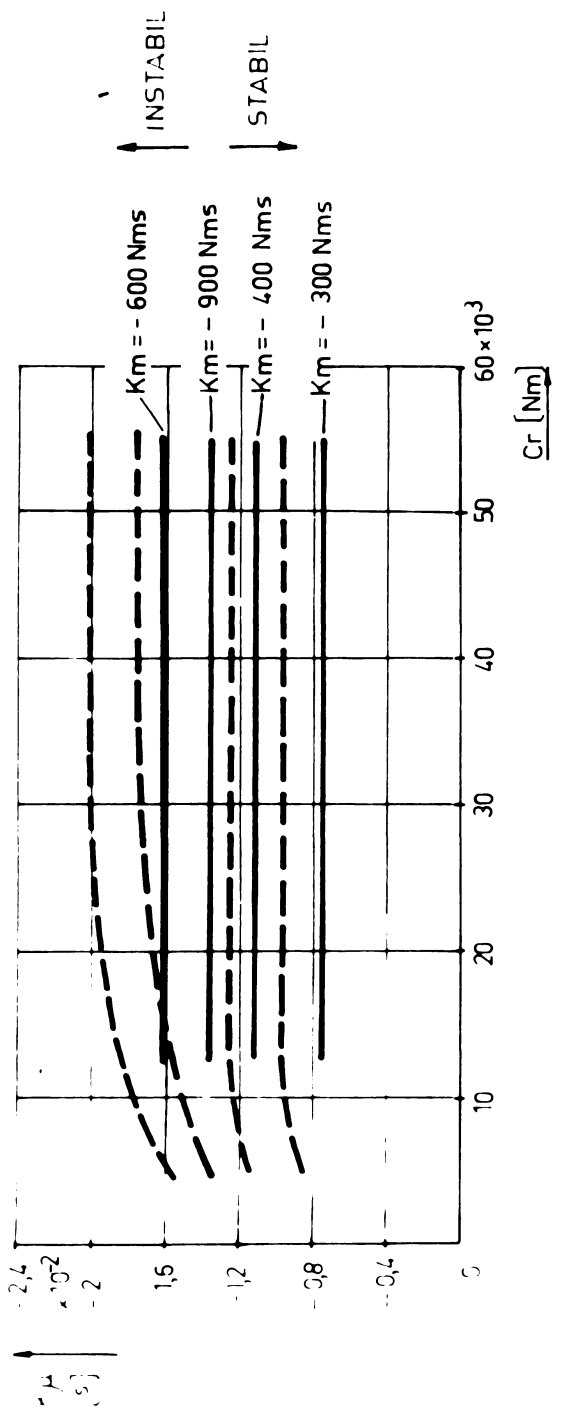


Fig. 3-7 Influența rigidității arborelui de torsiune asupra stabilității mișcării

de cărcață a locomotivei (cap.2.2) sarcina pe roată s-a considerat pentru această osie (tabelul 2.2) la viteza de mers $V=0$, și unuime $Q_o = \frac{Q_1}{2} = 8153,5$ daN (pe osie 16.307 daN).

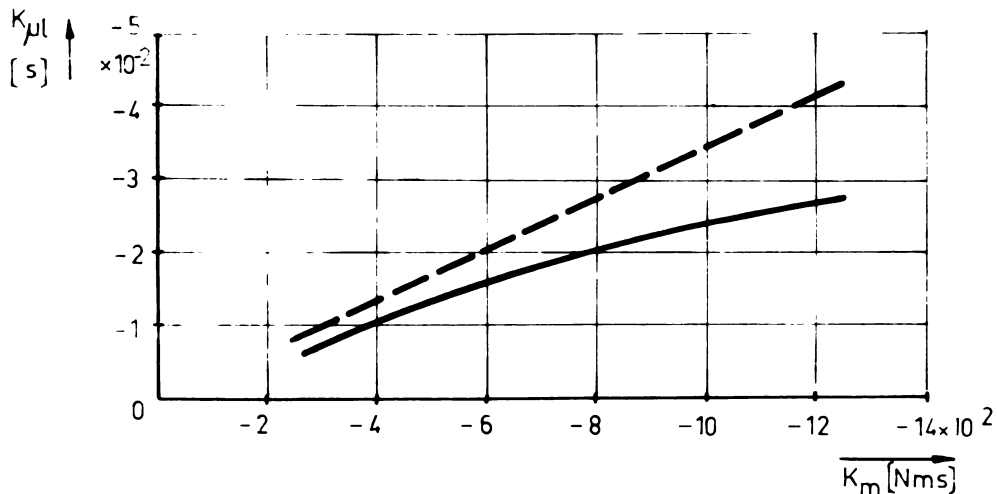


Fig.3-8. Influența pantei caracteristicii motorului asupra stabilității.

Pentru a vedea influența parametrilor Q_o și I_r asupra stabilității s-au reprezentat în fig.3-9 funcțiile $K_{\mu 1}(Q_o)$ și $K_{\mu 1}(I_r)$, valorile corespunzătoare fiind cele din tabelul 3.3.b în care s-au trecut o parte din valorile obținute pe calculator.

Cazul cercetat de Kolerus în lucrarea /32/ pentru un sistem cu două mase rezultă ca un caz particular al cazului cu trei mase studiat de mine. Ecuația caracteristică în acest caz se obține prin particularizarea ecuației caracteristice (3.21), considerînd $\psi_1 = \psi_2$, condiția de stabilitate obținută din (3.22), fiind:

$$c_r > \frac{2 Q_o r_o K_m K_{\mu} (I_r Q_o r_o K_{\mu} - I_r K_m)}{I_r^2 u^2 Q_o r_o K_{\mu} - 2 I_r^2 K_m} \quad (3.26)$$

Caracteristicile de stabilitate pentru sistemul cu două mase s-au reprezentat în figurile 3-7, 3-8 și 3-9 cu linie între-ruptă, o parte din valorile calculate fiind trecute în tabelele 3.2 și 3.3.a.

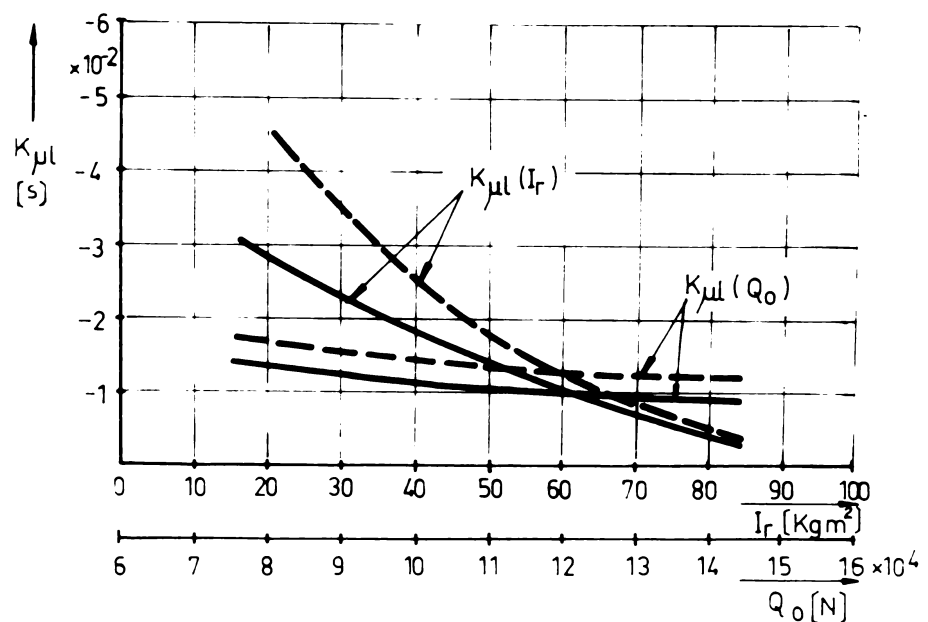


Fig. 3-9. Influența sarcinii pe roată Q_0 și a momentului de inerție I_r al rotorului asupra stabilității.

In urma studiului stabilității mișcării sistemului de antrenare al locomotivei au rezultat următoarele concluzii:

- caracteristica coeficientului de frecare dintre roată și şină influențează stabilitatea oscilațiilor de stick-slip prin valoarea coeficienților K_μ în domeniul vitezelor de patinare. Caracteristicile puțin căzătoare duc la micșorarea domeniului de instabilitate (fig. 3-7) și chiar la stabilitatea oscilațiilor de stick-slip cînd $K_\mu < K_{ul}$;

- din diagramele 3-7 și 3-8 rezultă că mărirea pantei caracteristicii mecanice a motorului electric de tractiune duce la lărgirea domeniului de stabilitate. Caracteristicile abrupte, ca în cazul motorului asincron de tractiune, influențează favorabil stabilitatea;

- din diagrama 3-9 rezultă că sarcina pe osie a locomotivei are o influență neglijabilă asupra stabilității;

- din diagrama 3-9 rezultă de asemenea lărgirea domeniului de stabilitate prin micșorarea momentului de inertie al rotorului. Si din acest punct de vedere motorul de tractiune asincron este superior motorului de tractiune de curent continuu;

- din toate diagramele rezultă mărirea domeniului de stabilitate în cazul sistemului cu două mase în comparație cu cel cu trei mase. Deci nu se poate lua în considerare cazul sistemului cu două mase decât pentru aprecieri calitative asupra stick-slipului.

3.3. Determinarea expresiilor analitice ale caracteristicilor coeficientului de frecare dintre roată și şină și a cuplului motorului de tractiune.

Ecuatiile diferențiale (3.5) ale mișcării sistemului de antrenare al locomotivei sunt neliniare, după cum s-a arătat și în cap.3.1, $M_{tl}(\dot{\varphi}_1)$, $M_{t2}(\dot{\varphi}_2)$ și în general $M_m(\dot{\varphi}_n)$ fiind funcții neliniare de vitezele unghiulare respective.

In calculele mele am ținut seama de neliniaritatea coeficientului de frecare roată-șină pornind de la caracteristica experimentală a coeficientului de frecare a lui Frederich dată în figura 3-5.

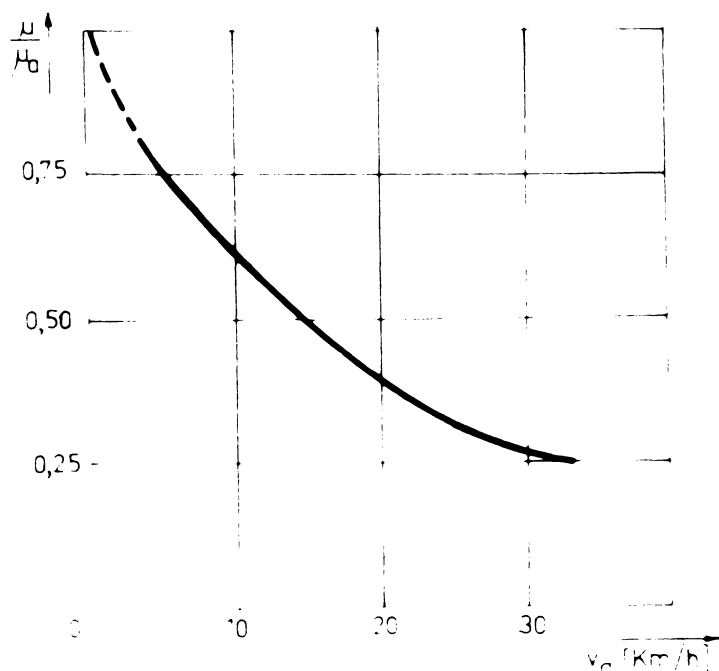


Fig.3-10. Caracteristica experimentală a coeficientului de frecare a lui Bernard și Guillier pentru viteze ale locomotivei cuprinse între 0 și 30 km/h.

Rezultatele obținute de Frederick sunt confirmate și de caracteristicile obținute de M.Bernard și A.Güller /38/, la experiențe făcute, cu locomotive electrice franceze, unde s-a pus în evidență și influența coeficientului de aderență asupra coeficientului de frecare (fig.3-10). De altfel aceste caracteristici sunt utilizate și în studiile ORE despre aderență /3/.

Integrarea ecuațiilor diferențiale (3.5) ale mișcării poate fi făcută analitic prin liniarizarea ecuațiilor, sau prin metode numerice cu ajutorul calculatorului pentru cazul neliniar.

Deoarece soluțiile obținute prin liniarizare sunt aproximative /7/, /23/, /43/, s-a făcut integrarea ecuațiilor în cazul unei variații neliniare a coeficientului de frecare după cum se poate vedea în fig.3-11.

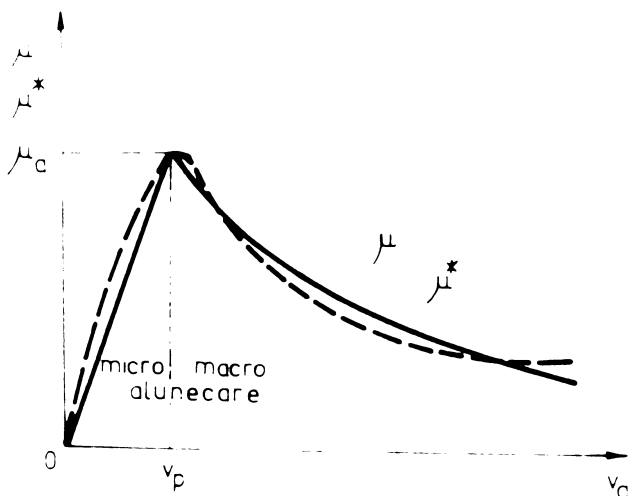


Fig.3-11. Aproximarea caracteristicii coeficientului de frecare.

Funcția $\mu^*(v_a)$ care aproximează în acest caz caracteristica experimentală $\mu(v_a)$ a coeficientului de frecare va fi:

$$\mu^*(v_a) = \begin{cases} \frac{\mu_a}{v_p} \cdot v_a & , \text{ dacă } v_a \leq v_p \\ \frac{a}{v_a} + b & , \text{ dacă } v_a > v_p \end{cases} \quad (3.27)$$

unde v_p este viteza de delimitare a celor două zone, de micro și macroalunecare iar a și b sunt coeficienți a căror valori le-am determinat prin prelucrarea matematică a datelor experimentale cu metoda

celor mai mici pătrate, obținind astfel o caracteristică a coeficientului de frecare apropiată de caracteristica experimentală, reală.

Astfel măsurând valorile $\mu_1, \mu_2, \dots, \mu_n$ ale coeficientului de frecare la diferite viteze de alunecare $v_{a1}, v_{a2}, \dots, v_{an}$ și punind condiția ca expresia:

$$S = \sum_{i=1}^n [\mu_i - \mu^*(v_{ai}; a, b)]$$

să fie minimă, se obține :

$$a = \frac{n \sum_{i=1}^n \frac{\mu_i}{v_{ai}} - \sum_{i=1}^n \frac{1}{v_{ai}} \sum_{i=1}^n \mu_i}{n \sum_{i=1}^n \frac{1}{v_{ai}^2} - \left(\sum_{i=1}^n \frac{1}{v_{ai}} \right)^2} \quad (3.28)$$

$$b = \frac{\sum_{i=1}^n \frac{1}{v_{ai}^2} \sum_{i=1}^n \mu_i - \sum_{i=1}^n \frac{1}{v_{ai}} \sum_{i=1}^n \frac{\mu_i}{v_{ai}}}{n \sum_{i=1}^n \frac{1}{v_{ai}^2} - \left(\sum_{i=1}^n \frac{1}{v_{ai}} \right)^2}$$

Pentru caracteristica experimentală a coeficientului de frecare dată de Frederick s-au obținut valorile $a = 0,3375 \text{ ms}^{-1}$ și $b = 0,0752$ (anexa A.2). Se pot determina coeficienții și pentru alte valori ale coeficientului de aderență dacă ținem seama de caracteristica lui Bernard și Guillier, din care rezultă la aceeași viteză de alunecare, proporționalitatea coeficienților de aderență cu coeficienții de frecare, deci cu coeficienții a și b .

In tabelul 3.4 s-au trecut valorile coeficienților a și b , considerind variația coeficientului de aderență dată de relația lui Curtius și Kniffler (cap.2.3) în funcție de viteză V de mers a locomotivei.

Tabelul 3.4

$v [\text{Km/h}]$	0	3,6	7,2	10,8	14,4	18	21,6	25,2	28,8
μ_a	0,3314	0,3186	0,3075	0,2978	0,2894	0,2819	0,2753	0,2694	0,264
$a [\text{ms}^{-1}]$	0,2301	0,2213	0,2135	0,2068	0,201	0,1958	0,1912	0,1871	0,183
b	0,0512	0,0493	0,0475	0,046	0,0447	0,0436	0,0426	0,0417	0,0408

Inlocuind expresia coeficientului de frecare (3.27) în

expresia momentului forței de frecare roată-șină (3.9) se obține:

$$M_{ti}(\dot{\varphi}_i) = \begin{cases} \frac{a}{\dot{\varphi}_p} (\dot{\varphi}_i - \frac{v}{r_o}) Q_o r_o, & \text{dacă } \left| \dot{\varphi}_i - \frac{v}{r_o} \right| \leq \dot{\varphi}_p \\ \dots \\ \left(\frac{a}{r_o} - \frac{1}{\left| \dot{\varphi}_i - \frac{v}{r_o} \right|} + b \right) \cdot \text{sgn}(\dot{\varphi}_i - \frac{v}{r_o}) Q_o r_o, & \text{dacă } \left| \dot{\varphi}_i - \frac{v}{r_o} \right| > \dot{\varphi}_p \end{cases} \quad (3.29)$$

$$\left| \dot{\varphi}_i - \frac{v}{r_o} \right| > \dot{\varphi}_p \quad (i = 1, 2)$$

unde:

$$\dot{\varphi}_p = \frac{v_p}{r_o}$$

Caracteristica cuplului motorului asincron de tracțiune s-a aproximat cu o dreaptă pe portiunea stabilă a acesteia (fig.3.12), /9/, /52/.

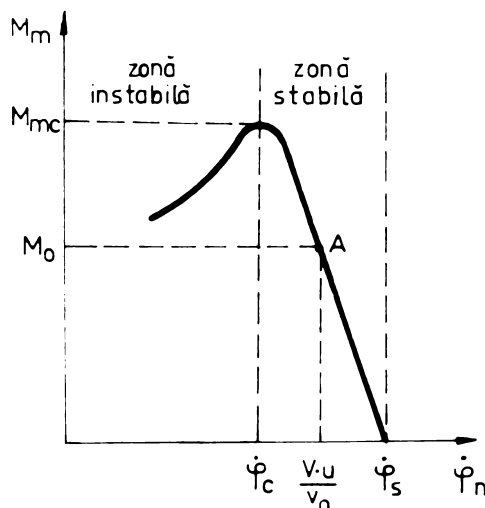


Fig.3-12. Aproximarea caracteristicii cuplului motorului asincron de tracțiune

Expresia cuplului motorului asincron la patinarea osiei va fi de forma:

$$M_m(\dot{\varphi}_n) = M_0 + K_m(\dot{\varphi}_n - \frac{v_u}{r_o}) \quad (3.30)$$

în care M_0 este valoarea cuplului inițial al motorului în punctul A de început a patinării la viteza V de mers a locomotivei.

Panta K_m a caracteristicii va fi:

$$K_m = \frac{2 M_{mc}}{\dot{\varphi}_s - \dot{\varphi}_c} = \frac{M_{mc} \cdot m}{\pi f_l a_c} \quad (3.31)$$

în care M_{mc} este cuplul critic al motorului asincron;

$\dot{\varphi}_c, \dot{\varphi}_s$ - viteza unghiulară critică respectiv viteza
unghiulară de sincronism;

m - numărul periochilor de poli ai motorului;

f_1 - frecvența tensiunii de alimentare a motorului;

a_c - alunecarea critică.

3.4. Calculul amplitudinilor oscilațiilor de stick-slip

Pentru rezolvarea ecuațiilor diferențiale (3.8) ale mișcării sistemului oscilant cu trei mase (fig.3.3) cu ajutorul calculatorului electronic cifric, ecuațiile diferențiale se reduc la un sistem de 6 ecuații de ordinul 1 prin schimbarea de variabile:

$$\dot{\varphi}_1 = x_1, \dot{\varphi}_2 = x_2, \dot{\varphi}_r = x_3, \dot{x}_1 = x_4, \dot{x}_2 = x_5, \dot{x}_3 = x_6.$$

Introducind matricile:

$$x = \begin{bmatrix} x_1 \\ x_2 \\ \vdots \\ \vdots \\ x_6 \end{bmatrix}$$

$$f = \begin{bmatrix} f_1(t, x_1, \dots, x_6) \\ f_2(t, x_1, \dots, x_6) \\ \vdots \\ \vdots \\ f_6(t, x_1, \dots, x_6) \end{bmatrix} = \begin{bmatrix} x_4 \\ x_5 \\ x_6 \\ \frac{1}{I} [-c_1(x_1-x_2)-M_{t1}(x_4)] \\ \frac{1}{I} [c_1(x_1-x_2)+c_r u(x_3-ux_2)-M_{t2}(x_5)] \\ \frac{1}{I_r} [-c_r(x_3-ux_2)+M_r(x_6)] \end{bmatrix}$$

ecuațiile diferențiale ale oscilațiilor se pot scrie:

$$\frac{dx}{dt} = f(t, x) \quad (3.32)$$

Aplicând metoda de integrare Runge-Kutta de ordinul 4

sistemului (3.32), relațiile de recurență pentru calculul neilor variabile x_i ($i=1, \dots, 6$) vor fi:

$$\begin{aligned}
 x_{1,i+1} &= x_{1,i} + h \cdot x_{4,i} + \frac{h}{6} (t_1 + t_2 + t_3) \\
 x_{2,i+1} &= x_{2,i} + h \cdot x_{5,i} + \frac{h}{6} (g_1 + g_2 + g_3) \\
 x_{3,i+1} &= x_{3,i} + h \cdot x_{6,i} + \frac{h}{6} (p_1 + p_2 + p_3) \quad (3.33) \\
 x_{4,i+1} &= x_{4,i} + \frac{1}{6} (t_1 + 2t_2 + 2t_3 + t_4) \\
 x_{5,i+1} &= x_{5,i} + \frac{1}{6} (g_1 + 2g_2 + 2g_3 + g_4) \\
 x_{6,i+1} &= x_{6,i} + \frac{1}{6} (p_1 + 2p_2 + 2p_3 + p_4)
 \end{aligned}$$

unde: $h = t$ este pasul de integrare iar $t_i, g_i, p_i, (i=1, \dots, 4)$ coeficienți având expresiile:

$$\begin{aligned}
 t_1 &= h \cdot f_4(x_{1,i}, x_{2,i}, x_{4,i}) \\
 t_2 &= h \cdot f_4(x_{1,i} + \frac{h}{2}x_{4,i}, x_{2,i} + \frac{h}{2}x_{5,i}, x_{4,i} + \frac{t_1}{2}) \\
 t_3 &= h \cdot f_4(x_{1,i} + \frac{h}{2}x_{4,i} + \frac{h}{4}t_1, x_{2,i} + \frac{h}{2}x_{5,i} + \frac{h}{4}\epsilon_1, x_{4,i} + \dots + \frac{t_2}{2}) \\
 t_4 &= h \cdot f_4(x_{1,i} + hx_{4,i} + \frac{h}{2}t_2, x_{2,i} + hx_{5,i} + \frac{h}{2}\epsilon_2, x_{4,i} + t_3) \\
 \epsilon_1 &= h \cdot f_5(x_{1,i}, x_{2,i}, x_{3,i}, x_{5,i}) \quad (3.34) \\
 \epsilon_2 &= h \cdot f_5(x_{1,i} + \frac{h}{2}x_{4,i}; x_{2,i} + \frac{h}{2}x_{5,i}, x_{3,i} + \frac{h}{2}x_{6,i}, \\
 &\quad x_{5,i} + \frac{\epsilon_1}{2}) \\
 \epsilon_3 &= h \cdot f_5(x_{1,i} + \frac{h}{2}x_{4,i} + \frac{h}{4}t_1, x_{2,i} + \frac{h}{2}x_{5,i} + \frac{h}{4}\epsilon_1, \\
 &\quad x_{3,i} + \frac{h}{2}x_{6,i} + \frac{h}{4}p_1, x_{5,i} + \frac{\epsilon_2}{2}) \\
 \epsilon_4 &= h \cdot f_5(x_{1,i} + hx_{4,i} + \frac{h}{2}t_2, x_{2,i} + hx_{5,i} + \frac{h}{2}\epsilon_2, x_{3,i} + \\
 &\quad + h x_{6,i} + \frac{h}{2}p_2, x_{5,i} + \epsilon_3)
 \end{aligned}$$

$$p_1 = h \cdot f_6(x_{2,i}, x_{3,i}, x_{6,i})$$

$$p_2 = h \cdot f_6(x_{2,i} + \frac{h}{2} x_{5,i}, x_{3,i} + \frac{h}{2} x_{6,i}, x_{6,i} + \frac{p_1}{2})$$

$$\begin{aligned} p_3 = h \cdot f_6(x_{2,i} + \frac{h}{2} x_{5,i} + \frac{h}{4} g_1, & x_{3,i} + \frac{h}{2} x_{6,i} + \\ & + \frac{h}{4} p_1, x_{6,i} + \frac{p_2}{2}) \end{aligned}$$

$$p_4 = h \cdot f_6(x_{2,i} + h x_{5,i} + \frac{h}{2} g_2, x_{3,i} + h x_{6,i} + \frac{h}{2} q_3, x_{6,i} + p_3)$$

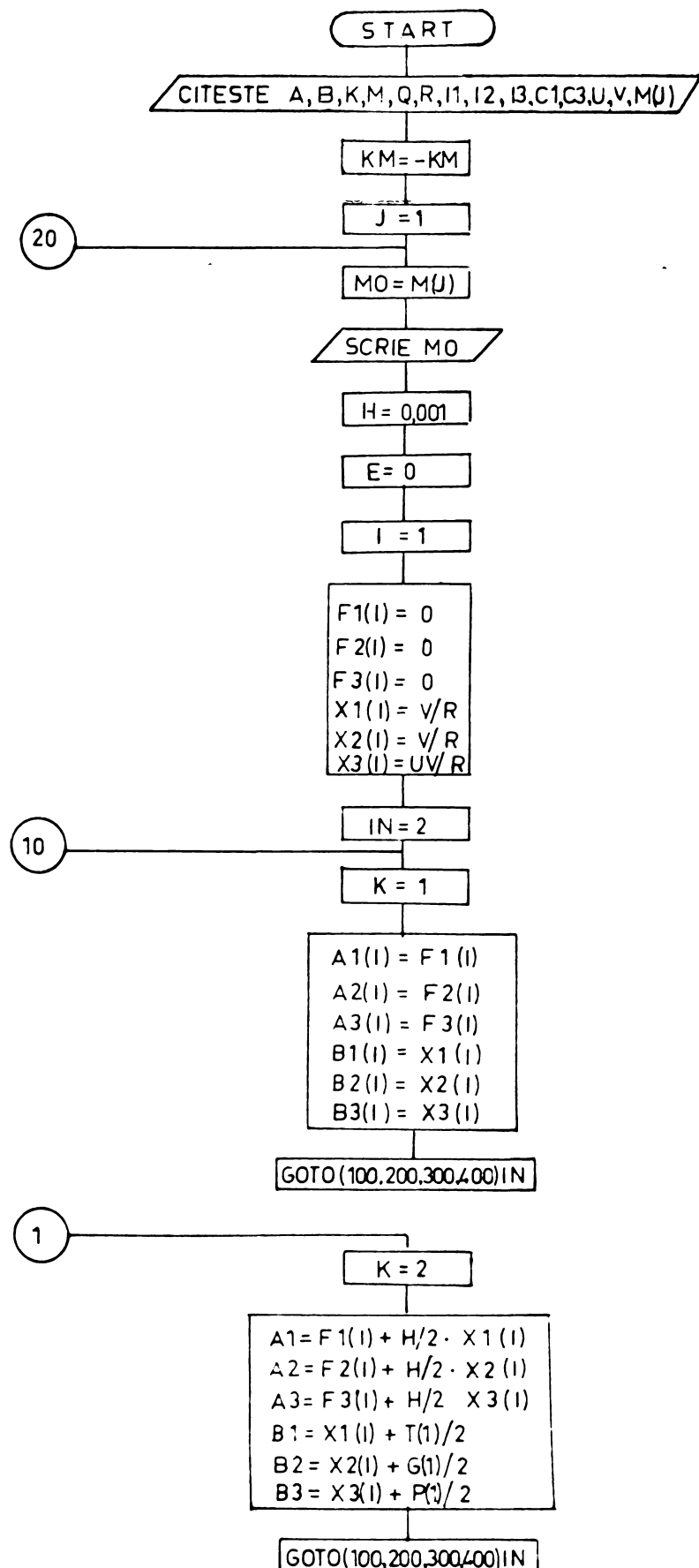
Integrarea cu metoda Runge-Kutta s-a făcut pe calculatorul Felix C 256 al I.P.Bucureşti. Schema logică de calcul este prezentată în fig.3.13 iar programul de calculator este dat în anexa A_{3.1}.

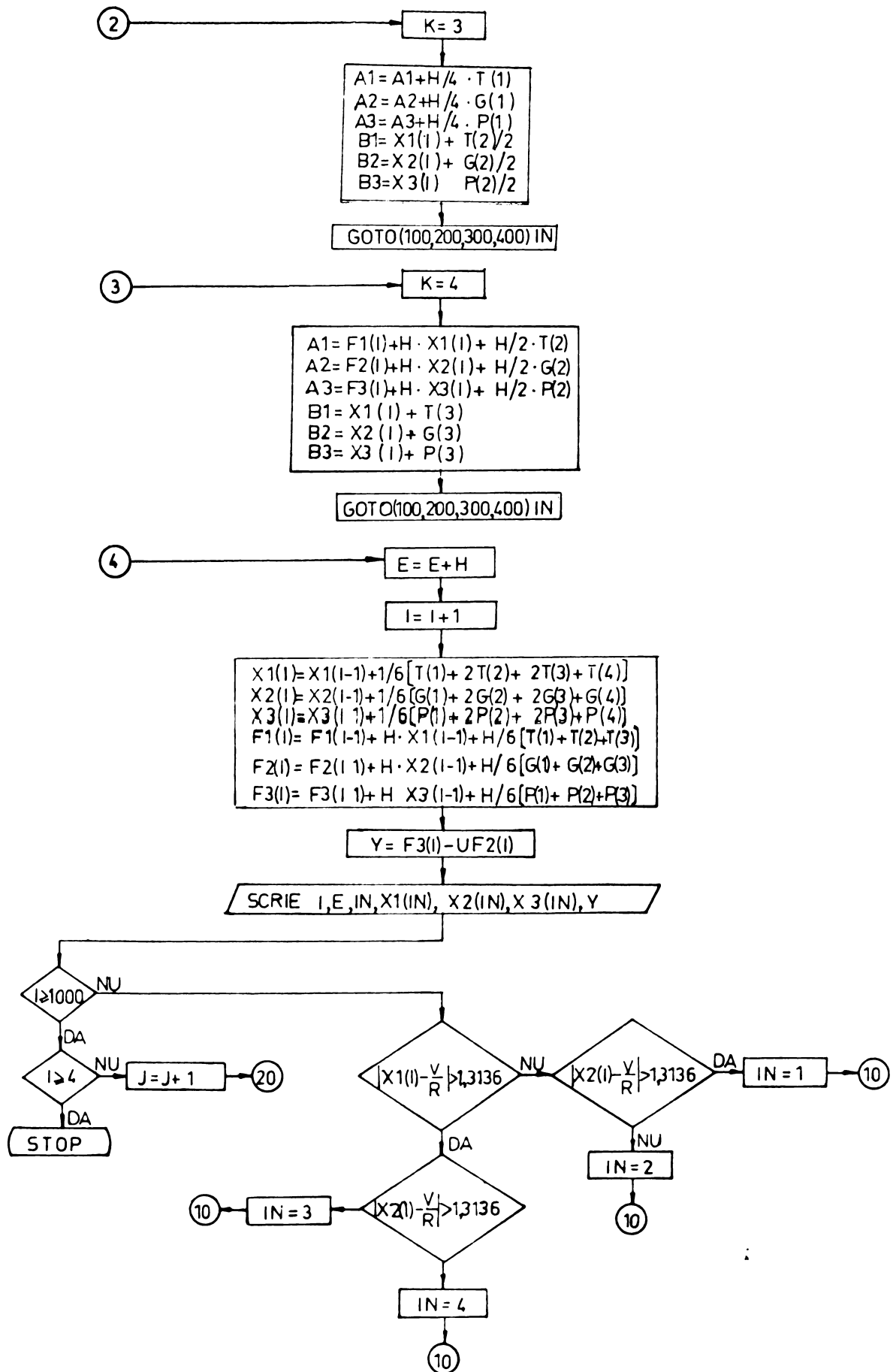
Notăriile folosite în programul de calculator sunt: A=a, B=b, KM=Km, R=r_o, I1=I₁, I2=I₂, I3=I_r, Cl=c₁, C3=c_r, U=u, T=t, G=g, P=p, H=h, MO=M_o, F=φ, X=ψ̇

La imprimantă s-au obținut în funcție de timp valorile vitezelor unghiulare ψ̇₁, ψ̇₂ ale roților locomotivei, vitezelor unghiulare ψ̇_r ale rotorului motorului electric de tractiune și valorile torsionărilor ψ̇_r - u ψ̇₂ ale arborelui "de torsionă" al motorului.

Oscilațiile de stick-slip sunt influențate atât de caracteristica coeficientului de frecare roată-șină prin coeficienții a și b, cât și de partea electrică a locomotivei (v.cap.l.1) prin panta K₁ a motorului electric de tractiune și cuplul M_o care depinde de modul de reglare a vitezei locomotivei.

Analiza influenței acestor parametrii asupra stick-slipului la locomotivele diesel în curenț alternativ-curenț alternativ s-a făcut considerind un motor de tractiune asincron de putere nominală P_n = 850 kW egală cu cea a motorului LJE-108 de pe locomotiva CFR 060EA. Panta caracteristicii mecanice a motorului în regimul de demaraj cînd reglarea motorului se face la U/f = constant(v.cap.4.1)





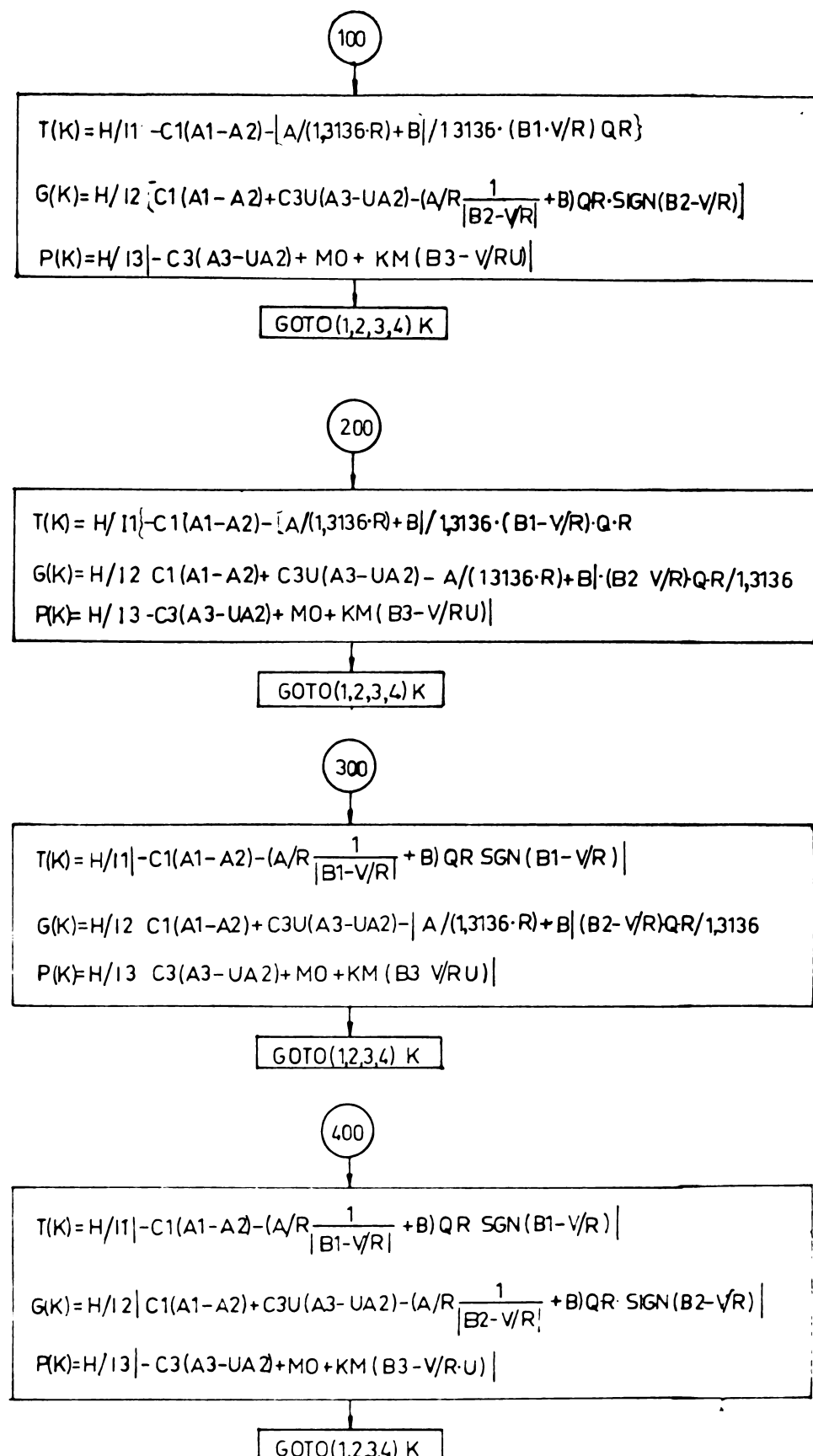


Fig.3-13 Schema logica de calcul pentru integrarea ecuațiilor de mișcare ale sistemului de antrenare cu 3 mase prin metoda Runge-Kutta.

este $K_m = -1184 \text{ Nms}$, parametrii sistemului de antrenare ai locomotivei fiind date în cap.3.1.

Producerea oscilațiilor de stick-slip se poate vedea în fig.3-14 în care s-a prezentat curba de variație a vitezei unghiulare $\dot{\varphi}_1$ în funcție de timp, cu valorile din anexa A3.2 obținute prin integrarea pe calculator a ecuațiilor de mișcare ale sistemului de antrenare pentru $\mu_a = 0,3314$ (tabelul 3.4) și $Q_1 = 163070 \text{ N}$. (tabelul 2.2).

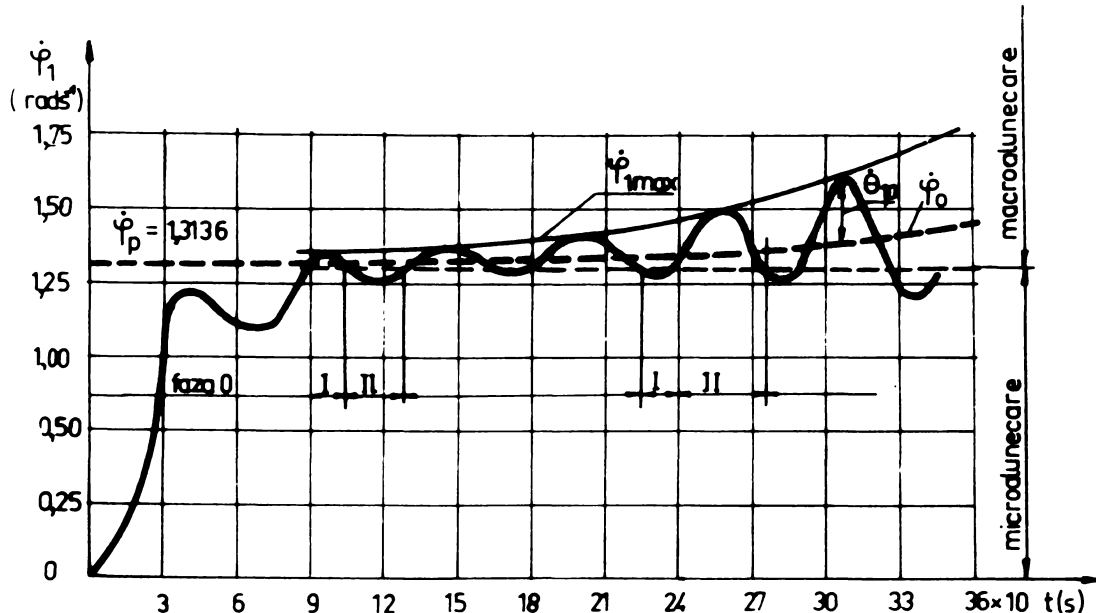
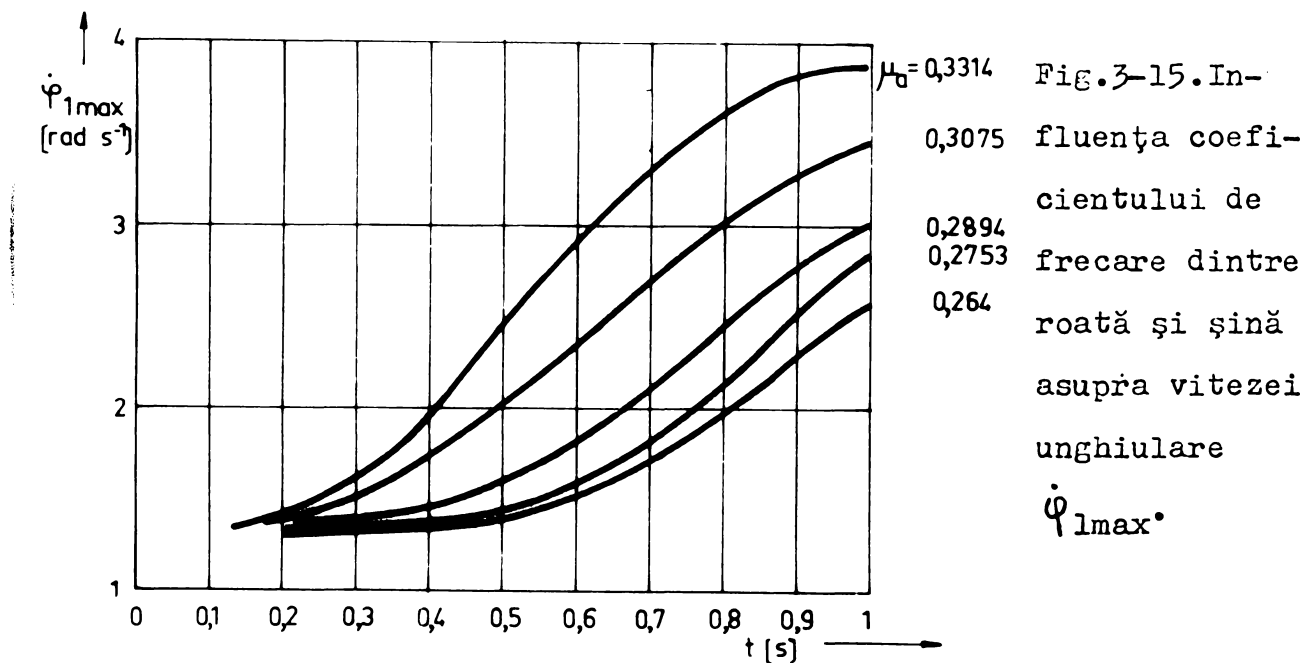


Fig.3-14. Variația în timp a vitezei unghiulare $\dot{\varphi}_1$ a roții locomotivei la producerea oscilațiilor de stick-slip.

In fig.3-14 se pot distinge trei faze care caracterizează stick-slipul la pornirea locomotivei. Astfel faza 0 corespunde torsionării elementelor elastice ale sistemului de antrenare în domeniul micro-alunecărilor pînă la atingerea vitezei unghiulare cînd forța de tracțiune ajunge la valoarea forței limitate de aderență, urmată de accesie de fază I de "slip" (în domeniul

macro-alunecărilor) și II de "stick".

Viteza unghiulară $\dot{\varphi}_{lmax}$ a oscilațiilor de stick-slip crește în timp (fig.3-14), sistemul fiind instabil (v.cap.3.2 fig.3-7) pentru valorile parametrilor sistemului de antrenare și a coeficientului de frecare roată-șină considerați în acest caz. Înfluența coeficientului de frecare dintre roată și shină asupra variației în timp a vitezei unghiulare $\dot{\varphi}_{lmax}$ se poate vedea în fig.3-15 în care s-au prezentat curbele de variație $\dot{\varphi}_{lmax}(t)$ corespunzătoare valorilor coeficienților de aderență din tabelul 3.4.



Deși sistemul este instabil a rezultat o limitare a amplitudinilor de oscilație, acest lucru putând fi explicat prin faptul că la amplitudini mari de oscilație crește influența rezistențelor pozitive date de forțele de frecare din zona de micro-alunecare și de asemenea scăderii pantei caracteristicii coeficientului de frecare cu creșterea vitezei de alunecare.

Mișcarea sistemului de antrenare poate fi considerată (fig.3-14 și anexa A.3.2) ca având o componentă cu viteza unghiulară $\dot{\varphi}_0$ monoton crescătoare peste care se suprapun componente de

oscilație $\dot{\theta}_1$, $\dot{\theta}_2$ și $\dot{\theta}_r$, astfel: $\dot{\psi}_1 = \dot{\phi}_o + \dot{\theta}_1$, $\dot{\psi}_2 = \dot{\phi}_o + \dot{\theta}_2$ și $\dot{\psi}_r = \dot{\phi}_o - \dot{\theta}_r$.

Analizînd mișcarea se evidențiază două forme de manifestare a oscilațiilor de stick-slip (v.cap.l.1):

a) dacă $\dot{\psi}_1 \text{ min}$, $\dot{\psi}_2 \text{ min} < \dot{\psi}_p$ mișcarea roților locomotivei va fi cu intermitențe, acest caz existînd în general, la viteze mici de alunecare;

b) dacă $\dot{\psi}_1 \text{ min}$, $\dot{\psi}_2 \text{ min} > \dot{\psi}_p$ cele două faze (de stick-și slip) dispar, mișcarea apropiindu-se de cea armonică cu cît viteza unghiulară a roții $\dot{\phi}_o$ este mai mare în raport cu componentele de oscilație.

In privința frecvenței oscilațiilor de stick-slip din rezultatele obținute prin calcul (anexa A.3.2) rezultă că aceasta crește de la aproximativ 20 Hz, valoare corespunzătoare perioadei de început a oscilațiilor (pînă la $t \approx 0,4$ s), la 50 Hz (după $t \approx 0,6$ s).

Pulsăriile proprii ale sistemului oscilant calculate cu relația:

$$\omega^2 = \left(\frac{c_1}{I} + \frac{c_r u^2}{2 I} + \frac{c_r}{2 I_r} \right) \pm \sqrt{\left(\frac{c_1}{I} + \frac{c_r u^2}{2 I} + \frac{c_r}{2 I_r} \right)^2 - \frac{2c_1 c_r}{I I_r} - \frac{c_1 c_r u^2}{I^2}} \quad (3.55)$$

sunt egale cu $\omega_1 = 324,168 \text{ rad s}^{-1}$, $\omega_2 = 127,5 \text{ rad s}^{-1}$ iar frecvențele proprii: $\nu_1 = 51,596 \text{ Hz}$ și $\nu_2 = 20,28 \text{ Hz}$.

Se confirmă astfel rezultatele experimentale obținute de Breyer /10/, /11/ ca și cele ale lui Schröter și Schönenberger /46/, frecvența oscilațiilor de stick-slip apropiindu-se de frecvența cea mai mare a oscilațiilor proprii ale sistemului de antrenare.

Se prezintă în continuare și o metodă analitică dată de C.R.E de calcul pentru sistemul cu două mase care are avantajul unei rezolvări rapide și scoate în evidență influența parametrilor sistemului de antrenare asupra oscilațiilor /3/, /6/. Determinarea pe cale

analitică a amplitudinilor oscilațiilor se face aproximativ considerind că acestea au frecvența oscilațiilor libere, acest lucru fiind de altfel confirmat și de rezultatele experimentale /7/, /27/, /43/, /48/.

Pentru aceasta în sistemul (3.8) se face schimbarea de variabile:

$$\begin{aligned}\varphi_1 &= \varphi_2 = \varphi = \dot{\varphi}_0 t + \psi_1 \\ \dot{\varphi}_r - u\varphi &= \dot{\psi}_2\end{aligned}\quad (3.36)$$

în care $\psi_i = \psi_{io} \sin \omega t$ (i=1,2) și p - pulsătia proprie a sistemului cu două mase dată de relația:

$$p = c_r \sqrt{\frac{2I + I_r^2}{2 II_r}}$$

Punind condiția ca lucrul mecanic al forțelor exterioare ce se exercită asupra sistemului în timpul unei perioade de oscilație să fie egal cu zero, se obține:

$$\begin{aligned}&\int_0^{2\pi/p} [u M_m (\dot{\psi}_2 + u \dot{\psi}_1 + u \dot{\varphi}_0) - M_t (\dot{\psi}_1 + \dot{\varphi}_0)] dt = 0 \\ &\int_0^{2\pi/p} [u M_m (\dot{\psi}_2 + u \dot{\psi}_1 + u \dot{\varphi}_0) - M_t (\dot{\psi}_1 + \dot{\varphi}_0)] \dot{\psi}_1 dt = 0 \quad (3.37) \\ &\int_0^{2\pi/p} [M_m (\dot{\psi}_2 + u \dot{\psi}_1 + u \dot{\varphi}_0)] \dot{\psi}_2 dt = 0\end{aligned}$$

unde momentul M_t al forțelor de frecare față de axa osiei se obține din (3.29) pentru $\dot{\varphi} > \dot{\varphi}_p$ prin schimbarea de variabile (3.35) :

$$M_t = \left(\frac{a}{r_0} \frac{1}{\dot{\psi}_1 + \dot{\varphi}_0} + b \right) Q_1 r_0 \quad (3.38)$$

După efectuarea integrărilor se obțin ecuațiile vitezei unghiulare de alunecare $\dot{\varphi}_o^* = \dot{\varphi}_o - \frac{v}{r_0}$ și a amplitudinii oscilațiilor ψ_{10} :

$$u^2 K_m \dot{\varphi}_o^*{}^2 - (b Q_1 r_o - u M_o) \dot{\varphi}_o^* - a Q_1 = 0 \quad (3.39)$$

$$u^4 K_m^2 p^4 \dot{\psi}_{lo}^4 - u^2 K_m p^2 (4aQ_1 + u^2 K_m \dot{\varphi}_o^*{}^2) \dot{\psi}_{lo}^2 + 4aQ_1(aQ_1 + u^2 K_m \dot{\varphi}_o^*{}^2) = 0 \quad (3.40)$$

Pentru determinarea timpului în care se ajunge la patinare, de la viteza unghiulară $\dot{\varphi}_p$ la o viteza unghiulară $\dot{\varphi}_o^*$ se separă din ecuațiile de mișcare componentele de oscilație:

$$(2I + I_r u^2) \frac{d\dot{\varphi}_o^*}{dt} = u M_m (u \dot{\varphi}_o^*) - M_t (\dot{\varphi}_o^*)$$

de unde prin integrare se obține:

$$t = \frac{2I + I_r u^2}{K_m u^2 (\dot{\varphi}_{ol}^* - \dot{\varphi}_{o2}^*)} \ln \left[\left(\frac{\dot{\varphi}_o^* - \dot{\varphi}_{ol}^*}{\dot{\varphi}_p - \dot{\varphi}_{ol}^*} \right)^{\dot{\varphi}_{o1}^*} \left(\frac{\dot{\varphi}_{o2}^* - \dot{\varphi}_o^*}{\dot{\varphi}_{o2}^* - \dot{\varphi}_{ol}^*} \right)^{\dot{\varphi}_{o2}^*} \right] \quad (3.41)$$

în care $\dot{\varphi}_{ol}^*$ și $\dot{\varphi}_{o2}^*$ sunt soluțiile ecuației (3.39).

Dacă interesează timpul pînă la atingerea vitezei unghiulare maxime de patinare, atunci în relația (3.40) se ia $\dot{\varphi}_o^* = \dot{\varphi}_{o2}^*$, numai că pentru această valoare se găsește un timp infinit. De aceea se consideră durata totală T ca timpul pînă se atinge viteza unghiulară $\dot{\varphi}_o^* = 0,95 \dot{\varphi}_{o2}^*$ din momentul producerii patinării.

Pentru a vedea influența vitezei de mers V la care se produce patinarea osiei asupra vitezei unghiulare $\dot{\varphi}_{o2}^*$, duratei T și amplitudinii oscilațiilor $\dot{\psi}_{lo}$, s-a făcut calculul acestor mărimi cu relațiile (3.39), (3.40) și (3.41) în funcție de valorile sarcinii pe roată Q_o (tab. 2.2), coeficienților a, b (tab. 3.4) și cuplului motorului M_o (rel. 3.30). Valorile obținute s-au trecut în tabelul 3.5 iar funcțiile $\dot{\varphi}_{o2}^*(V)$, T(V) și $\dot{\psi}_{lo}(V)$ pentru $K_m = -1184 \text{ Nms}$ s-au reprezentat în fig. 3-16.

Se observă scăderea vitezei unghiulare maxime de patinare $\dot{\varphi}_{o2}^*$ și a amplitudinilor $\dot{\psi}_{lo}$ cu viteza V, de unde se poate trage concluzia că situația cea mai defavorabilă de producere a stick-slipului este la pornirea locomotivei (la $V = 0$) cînd amplitudinile

sînt maxime.

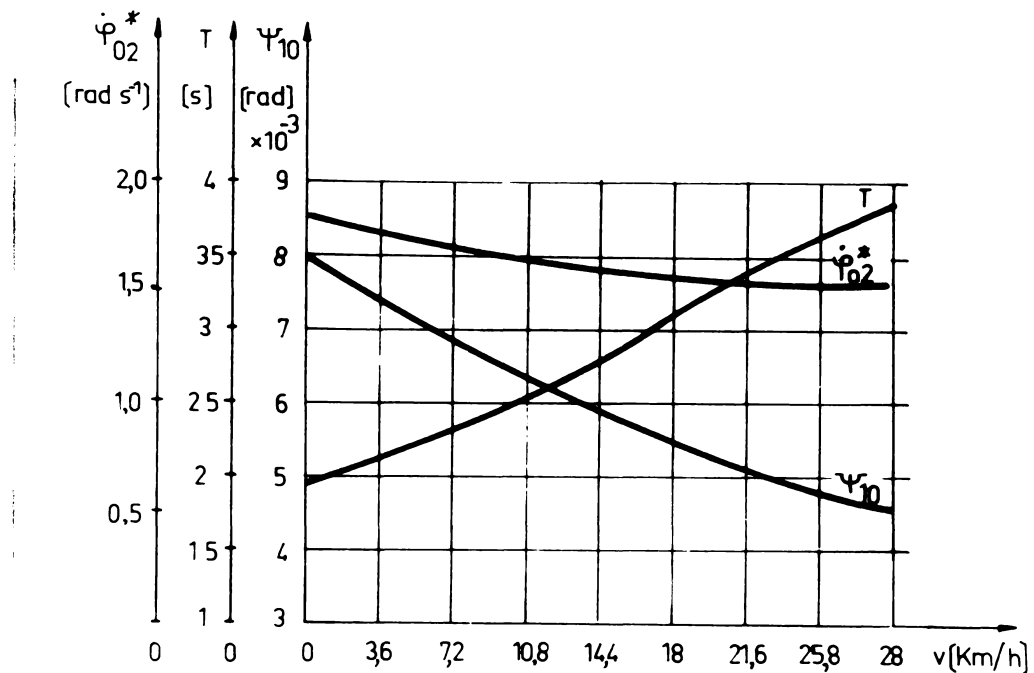


Fig.3-16. Curbele de variație ale funcțiilor $\dot{\varphi}_{02}^*(V)$, $T(V)$ și $\psi_{10}(V)$ cu viteza de mers V în cazul reglării forței de tracțiune la limita de aderență.

Valorile extreme ale vitezelor unghiulare $\dot{\varphi}$ și $\dot{\varphi}_r$, la pornirea locomotivei, în cazul neglijării elasticității osiei (sistem cu două mase) calculate cu metoda Runge-Kutta sunt treceute în anexa A.3.4. iar curbele de variație în timp sunt prezentate în fig.3-16. Valoarea maximă a vitezei unghiulare a roții a rezultat $\dot{\varphi}_{\max} = 3,2402 \text{ rad s}^{-1}$ în timp ce prin metoda ORE de calcul s-a obținut $2,8863 \text{ rad s}^{-1}$, de unde se poate trage concluzia că metoda ORE poate fi folosită numai pentru aprecieri calitative.

Comparativ s-a studiat și cazul antrenării cu motor electric de tracțiune de curent continuu pentru care $K_m = -440 \text{ Nms}$ (panta caracteristicii mecanice a motorului LJE - 108 liniarizată în domeniul vitezelor mici de patinare).

Tabelul 3.5

v [Km/h]	0	3,6	7,2	10,8	14,4	18	21,6	25,2	28,8
ϱ_0 [N]	81535	82265	82900	83465	83960	84425	84825	85220	85525
M_Q [N·s]	9255	8975	8729	8514	8322	8152	7998	7861	7733
$\dot{\varphi}_{02}^*$ [rad s ⁻¹]	4,8724	4,7217	4,5949	4,4824	4,3808	4,2899	4,2318	4,1349	4,0706
T [ε]	1,4223	1,4565	1,4875	1,5169	1,5452	1,5721	1,5901	1,6217	1,6437
Ψ_{10} [rad]	3351 · 10 ⁻⁵	3233 · 10 ⁻⁵	3133 · 10 ⁻⁵	3044 · 10 ⁻⁵	2964 · 10 ⁻⁵	2935 · 10 ⁻⁵	2846 · 10 ⁻⁵	2768 · 10 ⁻⁵	2720 · 10 ⁻⁵
$\dot{\varphi}_{\max}$ [rad s ⁻¹]	9,362	9,0532	8,7925	8,5607	8,3519	8,2222	8,0448	7,8435	7,7148
$\dot{\varphi}_{02}^*$ [rad s ⁻¹]	1,3104	1,7498	1,7059	1,6652	1,6255	1,5903	1,5584	1,5274	1,5109
K _H									
-1184 N _{mas}	T [ε]	1,9819	2,1811	2,3578	2,5544	2,7867	3,072	3,3126	3,6393
	Ψ_{1C} [rad]	803 · 10 ⁻⁵	737 · 10 ⁻⁵	693 · 10 ⁻⁵	650 · 10 ⁻⁵	604 · 10 ⁻⁵	561 · 10 ⁻⁵	521 · 10 ⁻⁵	477 · 10 ⁻⁵
	$\dot{\varphi}_{\max}$ [rad s ⁻¹]	2,8863	2,7372	2,6344	2,5361	2,4347	2,3419	2,2564	2,1665
									2,1339

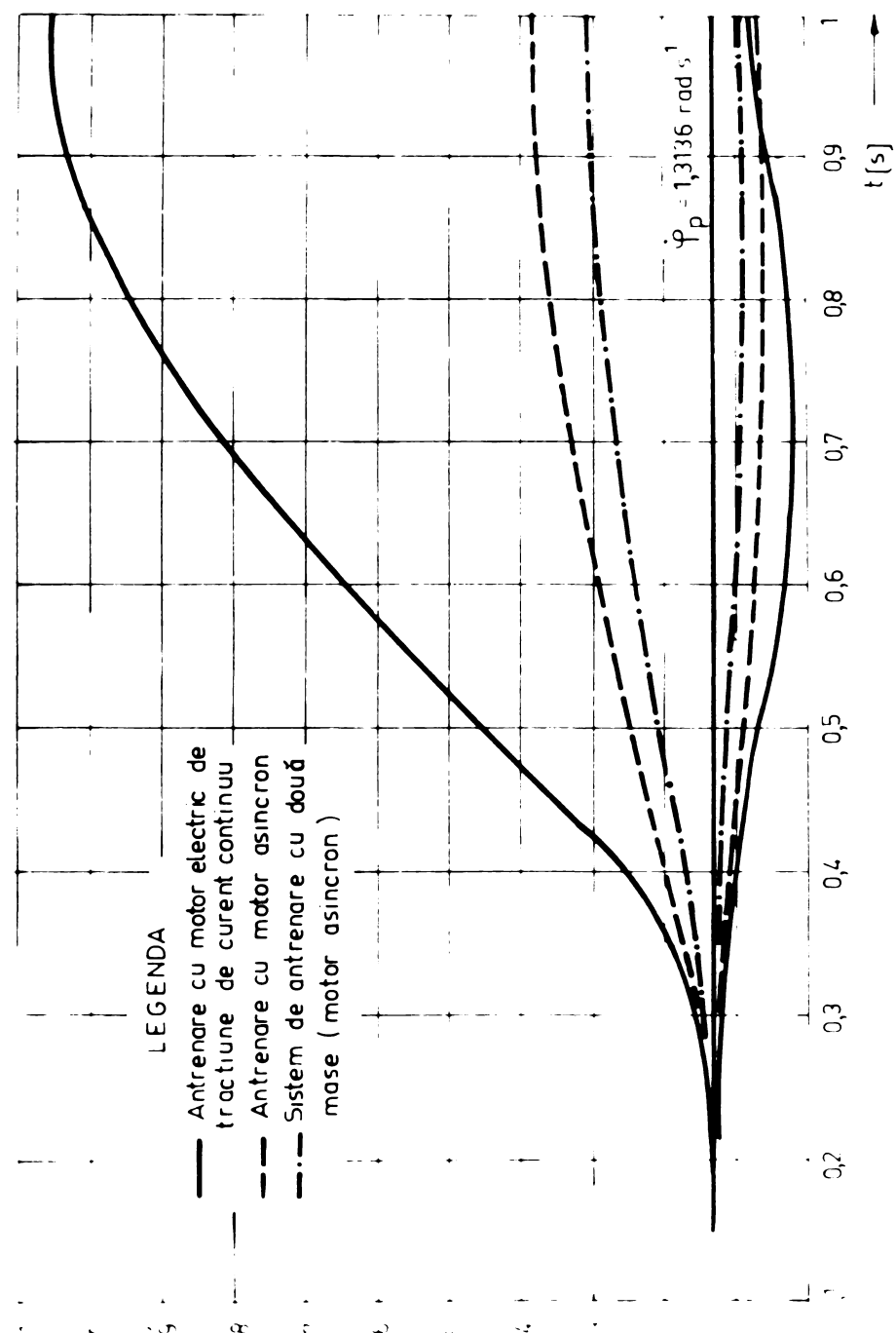


Fig.3-17. Valorile maxime și minime ale vitezei unghiulare a roții locomotivei în timpul oscilațiilor de stick-slip.

Valorile vitezelor unghiulare ale roților locomotivei și rotorului motorului electric de tracțiune obținute prin calculul cu metoda Runge-Kutta cu ajutorul calculatorului cifric pentru acest caz de antrenare sînt date în anexa A.3.3, cu același program de calcul din A.3.1. Curbele de variație în timp ale valorilor extreme a vitezei unghiulare $\dot{\varphi}_1$ (la pornirea locomotivei) în acest caz și pentru cazul antrenării cu motor asincron s-au reprezentat în fig. 3-17. Se observă o creștere rapidă în timp a valorilor maxime ale vitezei unghiulare a roții ajungîndu-se după 1 s de la producerea stick-slipului la $\dot{\varphi}_{\max} = 10,512 \text{ rad s}^{-1}$ față de $3,874 \text{ rad s}^{-1}$ cît s-a obținut pentru aceleași condiții de aderență la locomotiva cu motoare de tracțiune asincrone.

In exploatare s-a constatat că la locomotiva CFR 060-EA în cazul tonajelor mari la depășirea forței limitate de aderență întreg sistemul de antrenare oscilează cu amplitudini care devin din ce în ce mai mari și apar în osie solicitări foarte mari avînd ca rezultat ruperea unor osii /27/.

După cum s-a arătat la locomotivele diesel cu transmisie în curent alternativ-curent alternativ au rezultat amplitudini ale oscilațiilor de stick-slip mult mai mici decît la locomotivele cu motoare de tracțiune de curent continuu aceasta datorîndu-se în primul rînd pantei mari a caracteristicii mecanice a motorului asincron de tracțiune. Totodată reglarea „continuă” a mărîmilor de alimentare a motorului asincron care este posibilă la locomotivele moderne cu convertizoare statice de frecvență influențează favorabil stick-slipul deoarece creșterea saltului de cuplu M_0 , la reglarea vitezei locomotivei, peste valoarea corespunzătoare limitei de aderență duce la creșterea valorilor amplitudinilor de stick-slip problemă tratată pe larg în lucrările /27/, /60/, /61/, /62/.

Pe lîngă efectele nocive ale oscilațiilor de stick-slip

asupra elementelor sistemului de antrenare al locomotivei acestea influențează și caracteristicile de tracțiune ale locomotivei după cum se va vedea în capitolul care urmează.

CAP.4. INFLUENTA OSCILATIILOR DE STICK-SLIP
ASUPRA CARACTERISTICILOR DE TRACTIUNE
ALE LOCOMOTIVELOR CU TRANSMISIE IN CURENT
ALTERNATIV-CURENT ALTERNATIV.

După cum s-a arătat, fenomenul de stick-slip se produce la depășirea forței de aderență de către forța de tractiune, deci odată cu patinarea osiei.

La producerea patinării, forța de tractiune va scădea la o valoare egală cu forța de frecare la viteză de alunecare respectivă. În cazul în care patinarea este însotită de oscilații de stick-slip are loc o micșorare suplimentară a forței de tractiune cauzată de stick-slip.

Aceste oscilații se transmit prin angrenajul de tractiune și arborele de torsiune la rotorul motorului electric de tractiune, ducind la creșterea alunecării motorului și deci a cuplului motor care poate depăși cuplul critic producind „răsturnarea” prin trecerea pe caracteristica instabilă a motorului asincron.

Oscilațiile de stick-slip prin faptul că produc variații mari ale vitezei unghiulare a osiei și a cuplului la arborele motorului și deci variații ale curentului de sarcină al motorului influențează sistemul de reglare al locomotivei.

Prin urmare stick-slipul va influența caracteristicile de tractiunecale locomotivei prin modificarea forței de tractiune la funcționarea motorului electric asincron de tractiune la tensiune și frecvență constantă, prin influența asupra coeficientului de suprasarcină al motorului ca și prin influența asupra sistemului de reglare.

Oscilațiile de stick-slip, după cum s-a mai menționat, duc la solicitări torsionale importante în osia locomotivei. Se

determină în acest capitol valorile acestor solicitări și în cazul locomotivelor diesel cu transmisie în curent alternativ-curent alternativ.

4.1. Influența oscilațiilor de stick-slip asupra forței de tracțiune.

La locomotivele diesel cu transmisie în curent alternativ-curent alternativ caracteristica de tracțiune a locomotivei $F_o(V)$ în perioada demarajului, cînd este posibilă producerea stick-slipului, se obține prin menținerea constantă a raportului dintre tensiune și frecvență (v.cap.1.3), deci o reglare la $F_o = \text{constant}$.

Valoarea forței de tracțiune la demaraj este în funcție de tonajul trenului ce trebuie remorcat, de declivitatea căii de rulare ca și de accelerația trenului în acest regim de mers.

Deoarece oscilațiile de stick-slip duc la variații ale vitezei de alunecare roată-șină și deci la variații ale forței de frecare, vom analiza influența acestor oscilații asupra forței de tracțiune a locomotivei.

După cum s-a arătat în cap.3 la viteze mici de alunecare \circ , oscilațiile de stick-slip sunt instabile, amplitudinile acestora crescînd rapid în timp (fig.3-14). Pentru a determina valoarea forței de frecare la osie care patinează se ține seama de faptul că vitezele unghiulare ale celor două roți sunt diferite după cum se poate vedea în anexa A.3.2, vitezele de alunecare ale roților fiind date de relația (3.10).

Forța de frecare pe osie va fi :

$$F_f = [\mu(v_{al}) + \mu(v_{a2})] Q_o \quad (4.1)$$

Tinînd seama de expresia (3.27) a coeficientului de frecare $\mu(v_a)$ dintre roată și sănă, pot apărea patru cazuri după cum ambele roți pot fi în zona de microalunecare, o roată în zona de

microalunecare și cealaltă în zona de macroalunecare sau ambele în zona de macroalunecare:

$$F_f = \frac{a^2}{\dot{\varphi}_p} (\dot{\varphi}_1 + \dot{\varphi}_2), \text{ dacă } \dot{\varphi}_1, \dot{\varphi}_2 < \dot{\varphi}_p \quad (4.2)$$

$$F_f = \left(\frac{\mu_a}{\dot{\varphi}_p} \dot{\varphi}_1 + \frac{a}{\dot{\varphi}_2 r_o - v} + b \right) Q_o, \text{ dacă } \dot{\varphi}_1 < \dot{\varphi}_p \text{ și } \dot{\varphi}_2 > \dot{\varphi}_p \quad (4.3)$$

$$F_f = \left(\frac{a}{\dot{\varphi}_1 r_o - v} + b + \frac{\mu_a}{\dot{\varphi}_p} \dot{\varphi}_2 \right) Q_o, \text{ dacă } \dot{\varphi}_1 > \dot{\varphi}_p \text{ și } \dot{\varphi}_2 < \dot{\varphi}_p \quad (4.4)$$

$$F_f = \left[a \left(\frac{1}{\dot{\varphi}_1 r_o - v} + \frac{1}{\dot{\varphi}_2 r_o - v} \right) + 2b \right] Q_o, \text{ dacă } \dot{\varphi}_1 > \dot{\varphi}_p \text{ și } \dot{\varphi}_2 > \dot{\varphi}_p \quad (4.5)$$

In fig.4-1 este reprezentată diagrama de variație a forței de frecare dintre roată și şină datorită oscilațiilor de stick-slip pentru $\mu_a = 0,3314$, valorile vitezelor unghiulare $\dot{\varphi}_1$ și $\dot{\varphi}_2$ fiind date în anexa A.3.2.

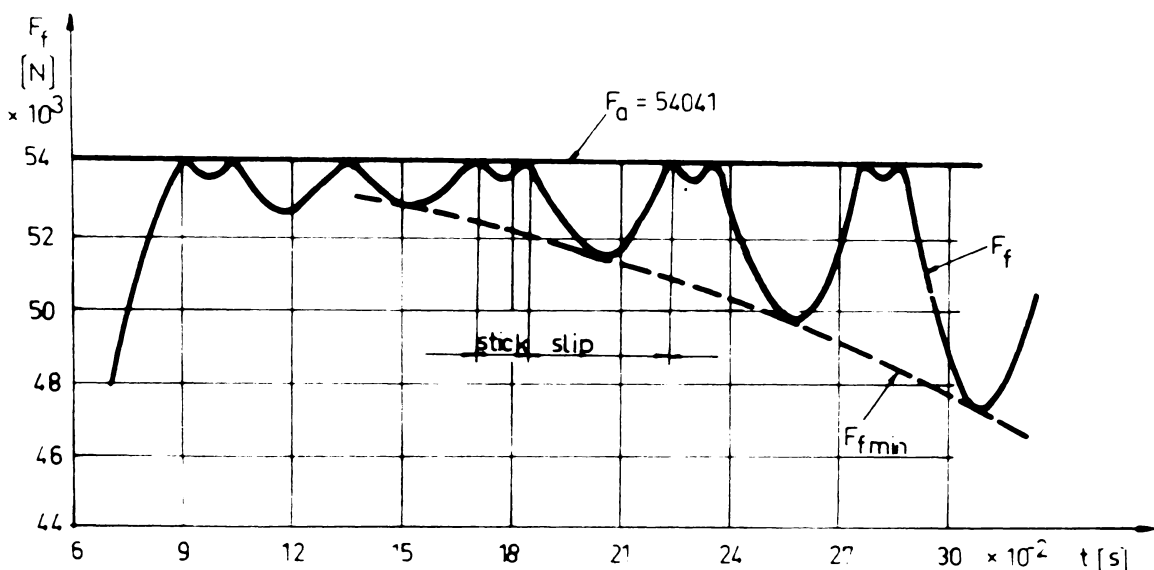


Fig.4-1. Variația în timp a forței de frecare roată-șină în timpul stick-slipului.

Dină cum se vede în fig.4-1 forța de frecare variază între o valoare maximă egală cu forța limitată de aderență

$F_{f\max} = F_a = 54041 \text{ N}$ și o valoare minimă $F_{f\min}$ în zona de „slip” care scade în timp. Se observă și o variație, relativ mică, a forței de frecare în zona de „stick” datorită faptului că în domeniul microalunecărilor coeficientul de frecare este variabil (fig.3-11).

Funcția $F_{f\min}(t)$ va scădea pînă la o valoare minimă datorită faptului că la producerea oscilațiilor de stick-slip vitezele unghiulare $\dot{\varphi}_{i\max}$ ($i=1,2$) ale roților, cresc în timp pînă la o anumită valoare limită, după cum s-a văzut în cap.3.4. De asemenea există o limitare a valorilor minime ale forței de frecare datorită alurii caracteristicei coeficientului de frecare rotațională care la viteze mari de alunecare este aproximativ constant.

După cum s-a arătat în cap.3.4 panta caracteristicei mecanice a motorului electric de tractiune influențează în mare măsură amplitudinile oscilațiilor de stick-slip. La motoarele de tractiune asincrone la care reglarea se face prin modificarea frecvenței și a tensiunii de alimentare a motorului (v. cap.1.3) panta K_m dată de relația (3.31) este constantă deoarece indiferent de valoarea frecvenței f_1 , deci la vitezei de mers la demaraj cînd se produce stick-slipul, avem $a_c \cdot f_1 = \text{const.} /8/$.

In urma integrării ecuațiilor de mișcare și pentru viteze de mers de 3,6; 7,2; 10,8; 14,4; 18; 21,6; 25,2 și 28,8 km/h (anexa A.3.2) a rezultat că deoarece valorile funcțiilor $\dot{\varphi}_{1\max}(t)$ și $\dot{\varphi}_{2\max}(t)$ scad odată cu creșterea vitezei V ; situația cea mai favorabilă, există la pornirea locomotivei ($V=0$) deoarece în acest caz se obține cea mai mică valoare pentru funcția $F_{f\min}(t)$ (fig.4-2) o parte din valorile calculate cu relația (4.5) fiind trecute în tabelul 4.1.

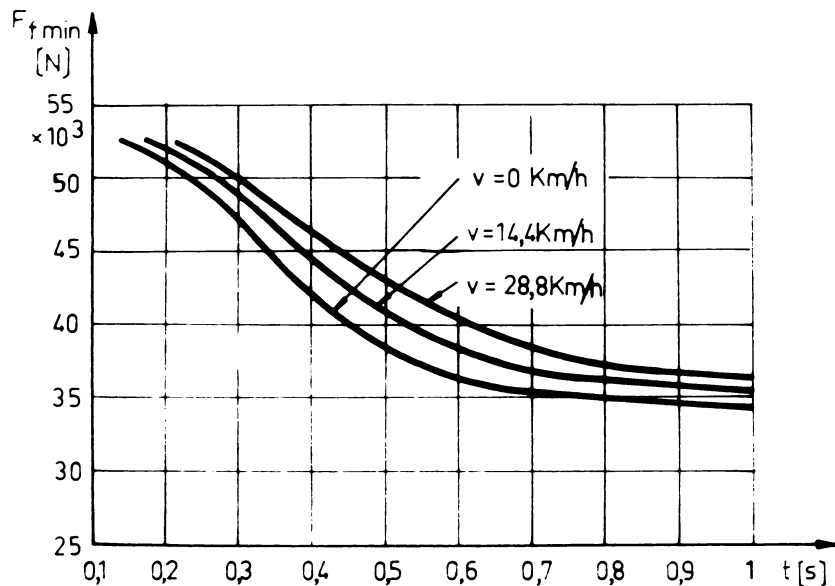


Fig.4-2. Curbele de variație a forței de frecare $F_f \min(t)$.

Tabelul 4.1.

$t [s]$	0,152	0,259	0,364	0,467	0,568	0,669	0,771	0,873	0,934
$\dot{\varphi}_1 [\text{rad} s^{-1}]$	1,3602	1,4814	1,6971	1,8704	2,0869	2,0110	2,2796	2,187	2,2005
$\dot{\varphi}_2 [\text{rad} s^{-1}]$	1,3475	1,4323	1,6395	2,0346	2,1838	2,4678	2,1886	2,4076	2,4017
$F_{f\min} [\text{N}]$	52695	49570	44345	39152	36479	35439	35232	34543	34489

Influența vitezei de mers V asupra forței de frecare $F_{f\min}$ după lș de la producerea stick-slipului se poate vedea și în fig.4-3.

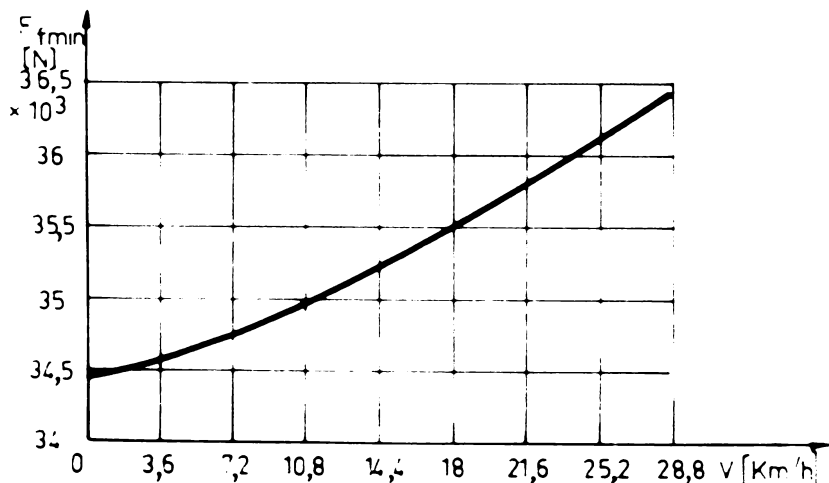


Fig.4-3. Influența vitezei de mers a locomotivei asupra forței $F_{f\min}$.

Scăderea forței de tracțiune, la osia care patinează, se poate vedea în fig.4-4 unde s-au reprezentat curbele de variație a forței limitate de aderență $F_a(V)$, ale forțelor de frecare F_{f_i} în funcție de viteza de alunecare v_a pentru diferite valori ale vitezei de mers V la care se produce stick-slipul precum și ale forțelor $F_{f\min}(V)$ la intervale de timp de 0,6, 0,7, 08 și 1 s de la începutul stick-slipului. Presupunând că la pornirea locomotivei forța de tracțiune la osia cea mai descărcată este $F_o < F_a$ (la $V = 0$) locomotiva va demara iar viteza de mers a acesteia va crește pînă la viteza corespunzătoare punctului de intersecție a caracteristicii forței de tracțiune cu forța limitată de aderență. În acest punct se produce patinarea osiei iar forța de tracțiune va scădea după caracteristica forței de frecare $F_f(v_a)$, valoarea minimă a acesteia la un anumit interval de timp de la începutul stick-slipului fiind dată de caracteristica $F_{f\min}(V)$.

Variația forței de tracțiune a locomotivei va fi:

$$\Delta F_o(V) = F_a(V) - F_{f\min}(V) \quad (4.6)$$

Valoarea variației forței de tracțiune pentru cazul producerii stick-slipului la $V = 0$, după $t = 1$ s din momentul producerii oscilațiilor va fi $\Delta F_o = 19543$ N.

Forța de tracțiune a locomotivei va scădea datorită oscilațiilor de stick-slip la valoarea:

$$F_o = 6 F_a - \Delta F_o = 304705 \text{ N} \quad (4.7)$$

față de 324248 N cît este forța de tracțiune limitată de aderență osiei celei mai descărcate a locomotivei cînd nu se produc oscilațiile de stick-slip.

Din cele arădate mai sus se pot trage următoarele concluzii privind influența oscilațiilor de stick-slip asupra forței de tracțiune a locomotivei:

- din fig.4-1 rezultă că oscilațiilor de stick-slip produc

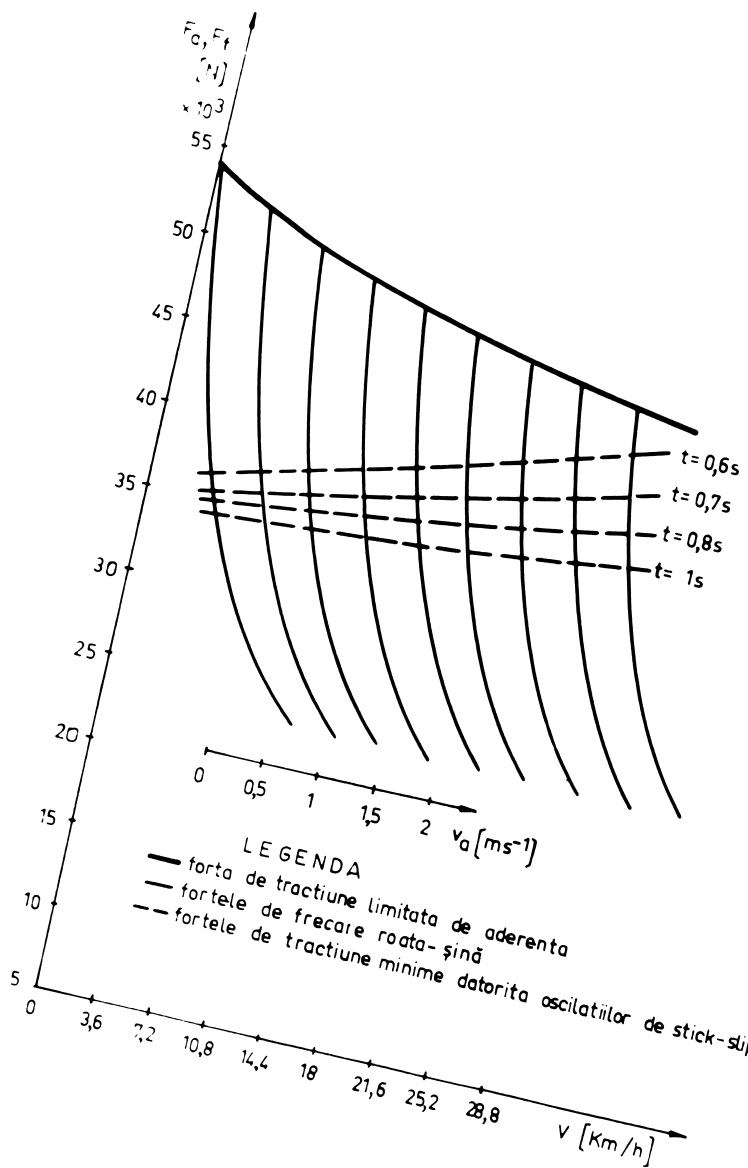


Fig. 4-4. Influența oscilațiilor de stick-slip asupra forței de tracțiune la osia care patinează.

variații ale forței de frecare între o valoare maximă egală cu forța limitată de aderență și o valoare minimă $F_{f\min}$ care scade în timp odată cu creșterea amplitudinii de oscilație;

- din fig. 4-2, 4-3 și 4-4 rezultă că micșorarea cea mai importantă a forței de frecare are loc la pornirea locomotivei;

- forța de tracțiune a locomotivei (la $V = 0$) se micșorează după 1 s de la producerea oscilațiilor de stick-slip cu 6,03 % din valoarea forței limitate de aderență (relația 4.7), această scădere fiind mult inferioară cazului actionării cu motoare electrice de curent continuu /3/, /48/, de unde rezultă un important avantaj al transmisiilor în curent alternativ și motoare asincrone de tracțiune din punctul de vedere al posibilităților de tracțiune.

4.2. Influența oscilațiilor de stick-slip asupra coeficientului de suprasarcină al motorului electric de tracțiune.

Coeficientul de suprasarcină k_s al motorului asincron, definit ca raportul dintre cuplul critic M_{mc} și cuplul nominal M_{mn} este unul din parametrii cei mai importanți ai motorului asincron de tracțiune având în vedere regimul de sarcini variabile de funcționare a locomotivei.

Crescerea cuplului rezistent cu care poate fi încărcat motorul nu poate depăși valoarea cuplului critic deoarece s-ar ajunge pe porțiunea instabilă a caracteristicii mecanice a motorului și astfel funcționarea acestuia ar fi periclitată /9/.

Deoarece la locomotive fenomenul de stick-slip produce suprasarcini importante prin oscilațiilor care se transmit rotorului motorului asincron de tracțiune este posibilă depășirea cuplului critic. Condiția de a nu fi depășit cuplul critic datorită oscilațiilor de stick-slip reprezintă deci un criteriu de stabilire

a coeficientului de suprasarcină la motoarele asincrone de tractiune

Mișcarea rotorului motorului de tractiune va avea așa cum s-a arătat și în cap. 3.4 o componentă cu viteza unghiulară $\dot{\varphi}_r$ monoton crescătoare peste care se suprapune componenta $\dot{\theta}_r$ de oscilație. Aceste variații ale vitezei unghiulare a rotorului duc la variații ale cuplului motorului asincron.

Tinând seama de expresia (3.30) a cuplului motorului asincron de tractiune, raportul dintre cuplul maxim la arborele motorului datorită oscilațiilor de stick-slip și cuplul nominal va fi dat de relația:

$$k = \frac{1}{M_{mn}} \left[M_o + K_m (\dot{\varphi}_{rmin} - \frac{V_u}{r_o}) \right] \quad (4.8)$$

în care $\dot{\varphi}_{rmin}$ este viteza unghiulară minimă a rotorului datorită oscilațiilor de stick-slip.

Deoarece amplitudinile oscilațiilor de stick-slip cresc în timp, după cum s-a văzut în cap. 3.4, viteza unghiulară a rotorului $\dot{\varphi}_{rmin}$ va crește și din raportul k nu va fi constant ci se va micșora în timpul stick-slipului pînă la o anumită valoare minimă.

Din curba $k = k(t)$ obținută cu relația (4.8) rezultă valoarea maximă k_{max} corespunzătoare cuplului maxim dezvoltat de motorul asincron de tractiune. Dacă $k_{max} < k_s$ înseamnă că motorul asincron a fost bine ales în ceea ce privește supraîncărcarea.

Valorile vitezei unghiulare a rotorului motorului asincron de tractiune obținute tot în urma integrării pe calculator a ecuațiilor oscilațiilor de stick-slip sunt date în anexa A.3.2.

Calculul valorilor coeficientului $k(t)$ cu relația 4.8 pentru $M_{mn} = 6244 \text{ Nm}$ (valorile cuplului M_o fiind date în tabelul 3.5) s-a făcut numai pentru cazul stick-slipului la $V = 0$ (tabelul 4.2) deoarece după cum s-a arătat în acest caz avem amplitudini maxime de oscilație. Variația în timp a funcției $k(t)$ s-a reprezentat în fig. 4-5.

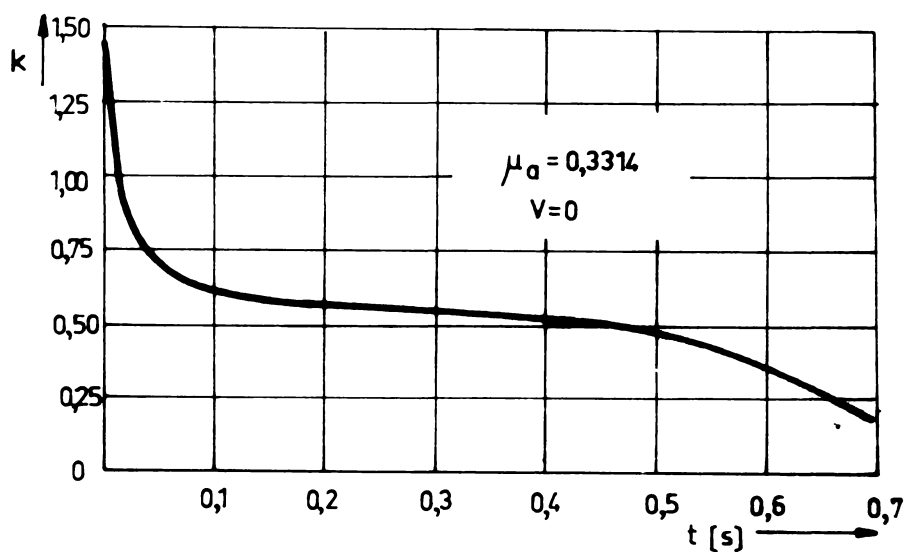


FIG. 4-5. Înfluența oscilațiilor de stick-slip asupra coeficientului de suprasarcină al motorului electric asincron de tracțiune.

Tabelul 4.2

t [s]	$\dot{\varphi}_{r\min}$ [rads $^{-1}$]	k	t [s]	$\dot{\varphi}_{r\min}$ [rads $^{-1}$]	k
0,001	0,2695	1,4311	0,306	4,9161	0,5501
0,005	1,2611	1,2431	0,354	5,0105	0,5321
0,010	2,2350	1,0584	0,409	5,0470	0,5252
0,015	2,9771	0,9177	0,464	5,2666	0,4835
0,020	3,2938	0,8576	0,513	5,3852	0,4611
0,025	3,4217	0,8333	0,558	5,9817	0,3479
0,030	3,4614	0,8258	0,614	6,0418	0,3366
0,050	4,0046	0,7229	0,673	6,3681	0,2747
0,100	4,6655	0,5975	0,775	6,9651	0,1615
0,145	4,7833	0,5752	0,838	7,3806	0,0827
0,198	4,8348	0,5654	0,918	7,5414	0,0522
0,249	4,8776	0,5573	0,960	7,6828	0,0254

Influența rigidității c_r a arborelui de torsiune și a momentului de inerție I_r a rotorului motorului electric de tracțiune se vede în fig. 4-6 în care s-au reprezentat curbele de variație a funcțiilor $k(c_r)$ și $k(I_r)$ la $t=0,1$ s de la începutul

stick-slipului. Calculul s-a făcut cu valorile vitezei unghiulare $\dot{\varphi}_{r\min}$ obținute cu ajutorul calculatorului (anexa A.4.1) pentru $c_r = 35 \cdot 10^4 \dots 55 \cdot 10^4 \text{ Kgm}^2 \text{s}^{-2}$ și $I_r = 30 \dots 50 \text{ Kgm}^2$. O parte din valorile calculate s-au trecut în tabelul 4.3.

Tabelul 4.3

$c_r [\text{Kgm}^2 \text{s}^{-2}]$	$35 \cdot 10^4$	$40 \cdot 10^4$	$49 \cdot 10^4$	$50 \cdot 10^4$	$55 \cdot 10^4$
$\dot{\varphi}_{r\min} [\text{rads}^{-1}]$	4,6738	4,6993	4,7419	4,7507	4,7614
k	0,5959	0,5911	0,5831	0,5814	0,5794
$I_r [\text{Kgm}^2]$	30	35	40	45	50
$\dot{\varphi}_{r\min} [\text{rads}^{-1}]$	5,2090	4,9263	4,8435	4,7506	4,6833
k	0,4945	0,5481	0,5638	0,5814	0,5942

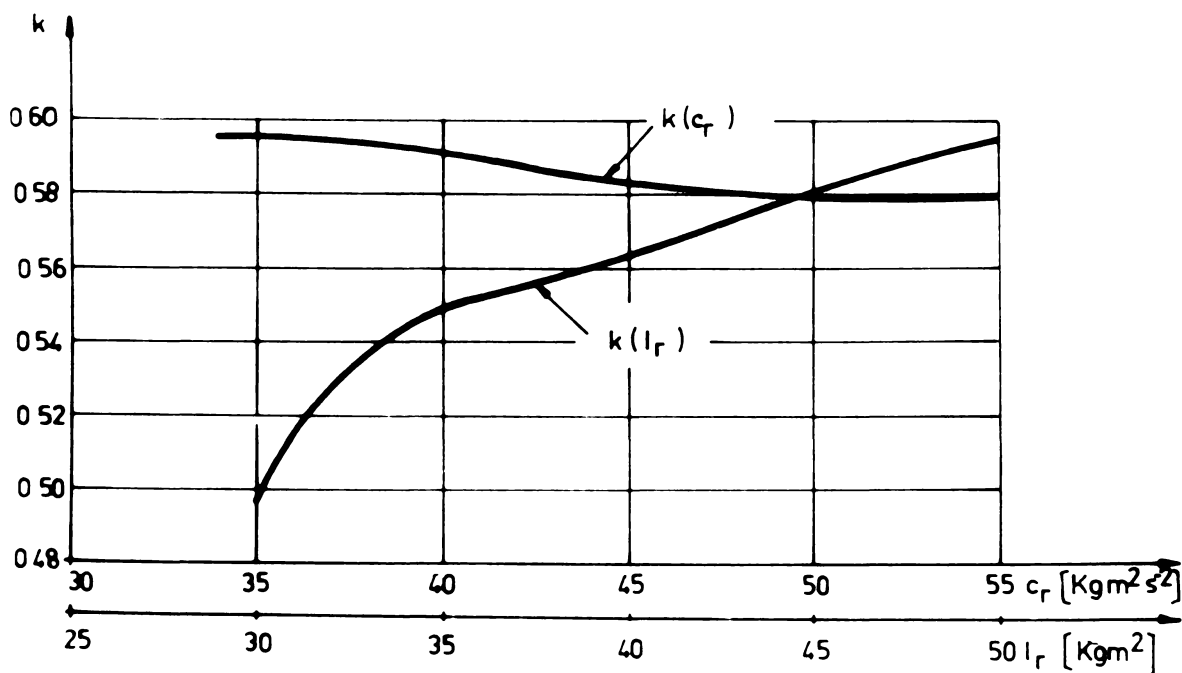


Fig.4-6. Influența rigidității c_r a arborelui de torsiune și a momentului de inerție I_r a rotorului motorului electric de tractiune asupra coeficientului de suprasarcină.

După cum rezultă din diagrama din fig.4-5 creșterea în timp a amplitudinilor oscilațiilor de stick-slip nu influențează coeficientul de suprasarcină al motorului electric de tractiune aceasta putindu-se explica prin faptul că creșterea vitezei unghiulare ω_0 a rotorului este superioară componentei $\dot{\theta}_r$ de oscilație datorită stick-slipului. Mărirea rigidității arborelui de torsiune și micșorarea momentului de inertie al rotorului motorului electric de tractiune duc la micșorarea coefficientului de suprasarcină după cum rezultă din fig.4-6.

Având în vedere că la motoarele asincrone cu rotorul în scurtcircuit valoarea coefficientului de suprasarcină k_s este cuprinsă între 1,8 și 2 se poate alege pentru motorul folosit în tractiune valoarea minimă deoarece după cum s-a văzut $k < k_s$ la producerea oscilațiilor de stick-slip.

4.3. Influența oscilațiilor de stick-slip asupra sistemului de reglare al locomotivei.

După cum s-a arătat în cap.3.4 oscilațiile de stick-slip produc variații importante ale vitezei unghiulare a osiei locomotivei cît și a rotorului motorului electric de tractiune, variații care influențează sistemul de reglare al convertorului de frecvență al transmisiei în curent alternativ-curent alternativ, sistem care realizează reglarea tensiunii U și a frecvenței f de alimentare a motorului asincron în funcție de turăție și curentul de sarcină.

Pentru a exemplifica modul în care se realizează reglarea în fig.4-7 este prezentată schema bloc a comenzi locomotivei Henschel - BBC DE 2500 /52/, /53/. Circuitul principal de forță al locomotivei este format din motorul diesel MD, generatorul sincron G, instalația de redresare R și invertoarele I de la care sint alimentate motoarele electrice de tractiune MA în curent

alternativ cu tensiune și frecvență variabile. Motorul diesel este prevăzut cu un regulator RMD cu rolul de comandă și corecție a injecției și turației. Semnalul de comandă este transmis de la regulatorul motorului diesel la dispozitivul LC de limitare a cuplului la demarare iar dispozitivul RF, în funcție de reglarea injectiei de combustibil stabilește frecvența și cuplul motoarelor electrice de tracțiune, care se transmit sub formă de semnal la blocul BC de comandă și reglare a motoarelor de tracțiune care primește și semnale proporționale cu turația motoarelor de tracțiune (prin traductorul TT) și cu curentul acestora. În urma comparării acestor mărimi în blocul BC se stabilește semnalul de comandă a frecvenței și curentului invertoarelor.

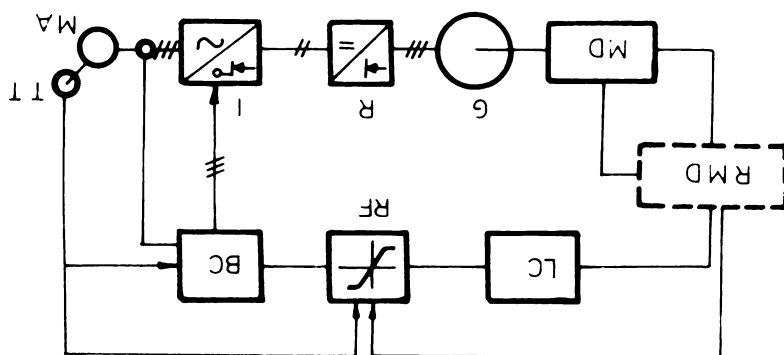


Fig.4-7. Schema bloc a sistemului de reglare al locomotivei Henschel-BBC DE 2500.

La locomotiva britanică „Hawk” a firmei Brusich reglarea conertoarelor de frecvență se realizează prin compararea numai a semnalului de curent comandat de controler cu cel real al motoarelor electrice de tracțiune.

La un alt vehicul echipat cu motoare asincrone și anume la automotorul „Airporter” construit în S.U.A. motorul este echipat cu un tachometru electronic pentru măsurarea exactă a turației.

Valoarea efectivă a turației rotorului servește pentru reglajul precis al frecvenței invertorului prin determinarea alunecării motorului asincron.

Stick-slipul, după cum s-a văzut, produce variații importante ale vitezelor unghiulare ale elementelor sistemului de antrenare, cuplului motorului și deci variații ale curentului de sarcină, variații care influențează sistemul de reglare al convertizorului de frecvență al transmisiei în curent alternativ-curent alternativ, acesta realizând reglarea tensiunii U și frecvenței f de alimentare a motoarelor asincrone în funcție de turație și curentul de sarcină. Din acest motiv sistemul de reglare trebuie să fie realizat cu o constantă de timp suficient de mare pentru ca să nu reacționeze la variațiile bruse de turație și de cuplu cauzate de stick-slip.

Fără a intra în detalii privind stabilirea parametrilor sistemului de reglare autorul recomandă alegerea constantei de timp superioară valorii de 0,0193 s, aceasta fiind perioada oscilațiilor de stick-slip (vezi cap.3.4).

După cum s-a arătat în cap.2, stick-slipul se produce mai întîi la osia cea mai descărcată a locomotivei (osia 1, vezi cap. 2.3) și apoi la celelalte osii în cazul că locomotiva nu este echipată cu un sistem de antipatinare eficient. De aceea poziționarea traductorului de turație TT va trebui făcută la osia cea mai încărcată (osia 6) la care pericolul patinării este mai mic.

Se recomandă de asemenea folosirea unui dispozitiv rapid de antipatinaj plasat în dreptul osiei celei mai descărcate. Analizând actualele dispozitive de antipatinaj/ 3 /, autorul ajunge la concluzia că pentru micșorarea efectelor stick-slipului la locomotivele cu transmisie în curent alternativ-curent alternativ cel mai eficient este dispozitivul „Presductor”/10 /, construit de firma ASEA. Cu acest dispozitiv s-au obținut pînă în prezent rezultate

bune la locomotivele electrice cu comandă tiristorizată ca și la locomotivele cu motoare asincrone de tracțiune.

Spre deosebire de dispozitivele existente, dispozitivul „Preductor” reacționează la frecvențe ale oscilațiilor osiei apropiate de frecvența proprie a osiei oscilații care nu apar în exploatarea normală.

Din studiul efectuat în această lucrare se trag o serie de concluzii privind modul de construcție a dispozitivului de antipatinaj pentru folosirea eficientă a acestuia pe locomotivele diesel cu transmisie în curent alternativ-curent alternativ. Astfel, dacă dispozitivul reacționează la frecvențe apropiate de cea proprie, este prea tîrziu deoarece la aceste frecvențe se ajunge după circa 0,6 s (văzi cap.3.4) de la începutul stick-slipului timp după care amplitudinile oscilațiilor ajung la valori importante. De aceea este absolut necesar ca dispozitivul de antipatinaj să fie acordat la o frecvență de aproximativ 20 Hz cît este frecvența oscilațiilor de stick-slip în perioada de început a acestora. În felul acesta dispozitivul va reacționa pînă la maximum 0,4 s, iar prin blocul de comandă al convertorului sistemul de reglare al locomotivei va micsora valoarea cuplului motorului de tracțiune oprind astfel stick-slipul încă din fază sa incipientă.

4.4. Influența stick-slipului asupra oscilațiilor torsionale ale osiei locomotivei.

Fenomenul de stick-slip, pe lîngă faptul că duce la înrăutățirea caracteristicilor de tracțiune prin perturbarea mersului locomotivei, are și efecte nocive asupra elementelor sistemului de antrenare în deosebi a osiei prin oscilațiile torsionale importante care se produc.

In cazul condițiilor de aderență bune au apărut în osie solicitări foarte mari avînd ca rezultat chiar ruperea unor osii,

momentul de torsiune în osie depășind de 8 ori momentul dat de forța de tracțiune maximă la pornire, așa cum au arătat încercările experimentale efectuate de I.C.P.T.T. București cu locomotiva electrică CFR 060 EA, cele făcute de căile ferate austriece cu locomotiva cu tiristoare seria 1043 și la căile ferate din R.F.G. cu locomotiva diesel 260/261.

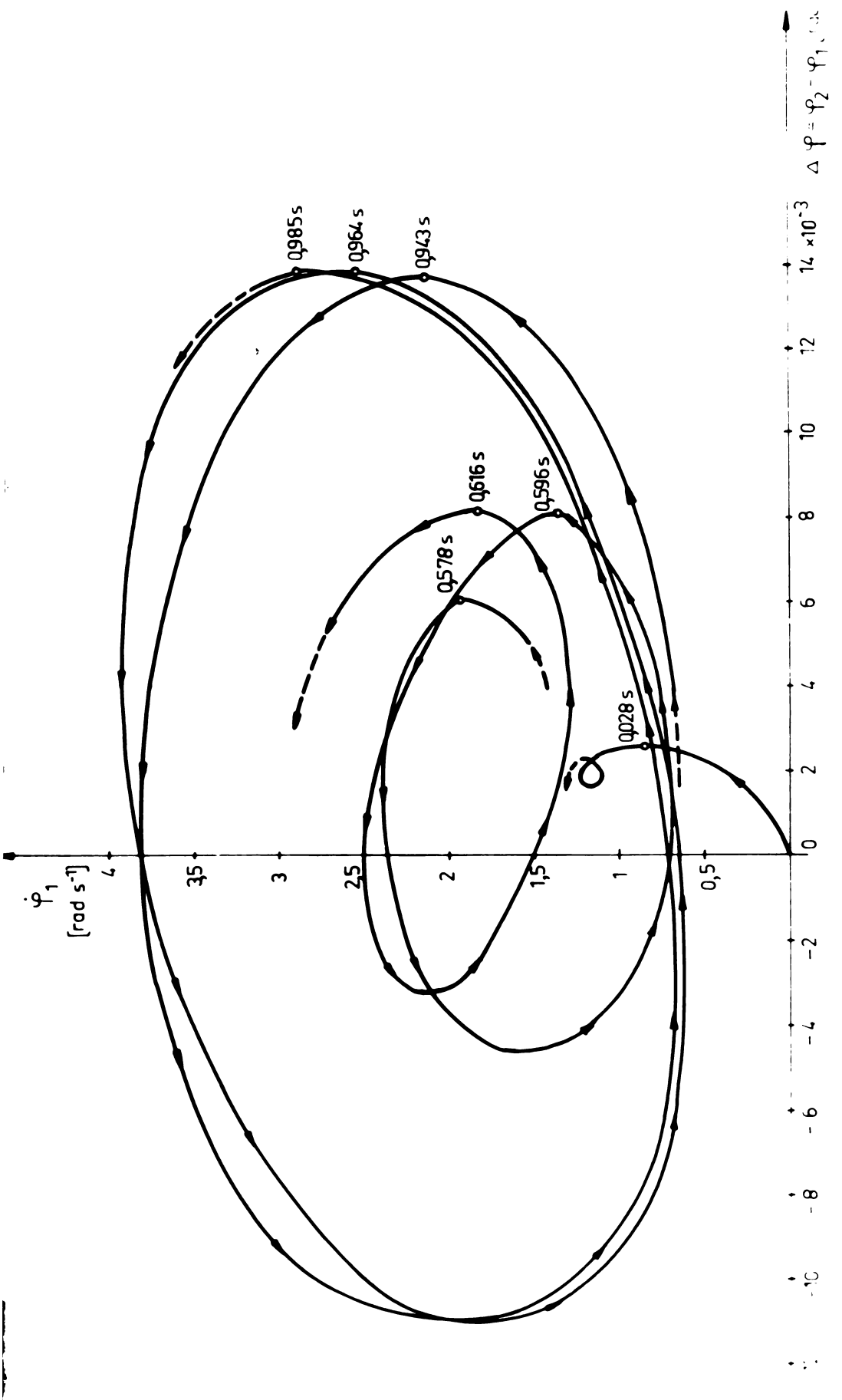
Având în vedere că această problemă a apărut pînă în prezent la locomotiva cu motoare de tracțiune de curent continuu consider că prezintă importanță studiul oscilațiilor torisonale ale osiei și la locomotivele diesel cu transmisie în curent alternativ și motoare de tracțiune asincrone.

Pentru aceasta în fig.4-8 s-a reprezentat în planul fazelor ($\psi_1, \psi_2 - \psi_1$) cu valorile din anexa A.3.2 (coloana F_1-F_2), mișcarea roții 1 a osiei montate a locomotivei, cu săgeți indicîndu-se sensul de parcurgere al traекторiilor de fază.

Se observă creșterea rapidă în timp a amplitudinilor oscilațiilor torsionale, atingîndu-se ciclul limită după circa 1 s de la producerea stick-slipului cînd amplitudinile devin maxime.

Valoarea maximă a torsionării osiei la pornire (înainte de producerea stick-slipului) are valoarea de $0,25898 \cdot 10^2$ rad (la $t = 0,028$ s) în timp ce valoarea maximă datorită oscilațiilor de stick-slip este de $1,3996 \cdot 10^3$ rad (la $t = 0,964$ s).

Rezultă deci o creștere a momentului de torsiune în osie la producerea stick-slipului de circa 5,4 ori valoare inferioară cazu lui antrenării cu motor de tracțiune de curent continuu, dar care trebuie avută în vedere la proiectarea osiei.



Per le soluzioni stabili si ha: $\dot{\phi}_1 > 0$ e $\dot{\phi}_2 > \dot{\phi}_1$. Per le soluzioni instabili: $\dot{\phi}_1 < 0$ e $\dot{\phi}_2 < \dot{\phi}_1$.

CAP.5. VERIFICARI EXPERIMENTALE PE STAND SI PE LOCOMOTIVA

Intrucit in tara noastră nu există locomotive diesel cu transmisie electrică în currenț alternativ cu motoare de tracțiune asincrone din acest motiv verificările experimentale privind fenomenul de stick-slip s-au făcut pe un stand special construit de către autor care a permis să se pună în evidență influența sarcinii pe osie și a părții electrice (v.cap.1.1) asupra stick-slipului, cît și pe locomotiva CFR 060-RA de 5100 KW cu care s-au verificat aspectele stick-slipului care nu sunt influențate de tipul transmisiei locomotivei (sarcinile pe osii la demaraj și influența vitezei de patinare asupra amplitudinilor oscilațiilor).

5.1. Standul pentru cercetarea experimentală a fenomenului de stick-slip.

Autorul a conceput și realizat un stand pentru studiul experimental al stick-slipului în cadrul laboratorului de locomotive al catedrei de material rulant al Facultății de transporturi din Institutul politehnic București.

Standul care este compus dintr-un sistem de antrenare cu motor de tracțiune asincron și un dispozitiv de modificare a apăsărilor pe osie, reprezentă un model acvat pentru simularea fenomenului de stick-slip, el permitînd o evaluare mai exactă, față de metodele teoretice a influenței parametrilor de natură mecanică și electrică ai locomotivei asupra stick-slipului.

In fotografia din figura 5-1 se prezintă o vedere generală a standului. Motorul asincron de tracțiune 1 de 7,5 kW transmite mișcarea angrenajului de tracțiune prin intermediul arborelui "de torsiune" 2 legat de arborele motorului prin intermediul unui cuplaj elastic. Angrenajul de tracțiune (fig.5-2) format din pinionul 3 fixat la capătul arborelui "de torsiune" și coroana dinată 4 fixa-

tă asimetric pe osie, antrenează osia motoare 5.

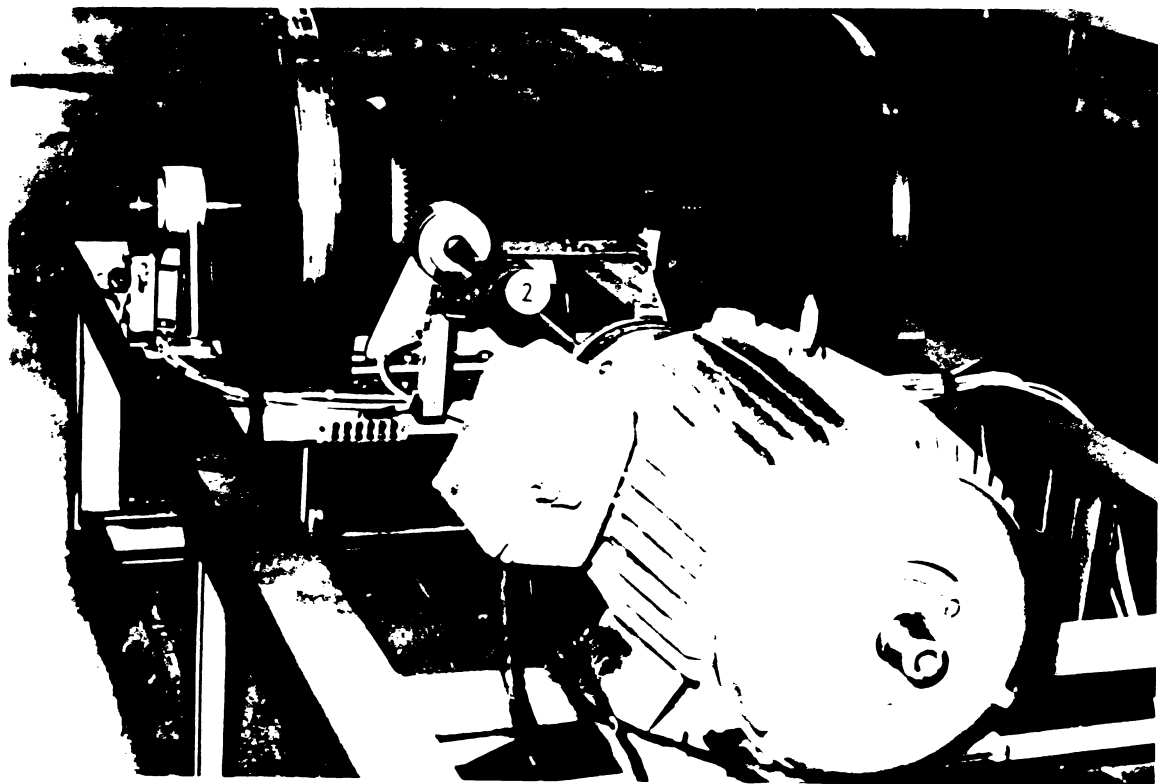


Fig.5-1. Vedere generală a standului pentru simularea fenomenului de stick-slip.

1 - motor asincron de tractiune; 2 - arbore de torsiune.

Pentru modificarea sarcinilor pe roți standul (fig.5-3) mai este prevăzut cu două șine mobile 6 articulate fix la un capăt de cadrul standului iar la celălalt capăt articulate la bara transversală 7 care se poate deplasa în plan vertical prin rotirea șurubului cu manivelă 8.

Reglarea vitezei motorului asincron de tractiune s-a făcut prin modificarea frecvenței și a tensiunii de alimentare. Aceste mărimi s-au obținut de la generatorul sincron trifazat 15 (fig.5.4) tip GTE 125/400 TS antrenat de motorul diesel 14 Torpedo de tip 21967 Tc.

Din lipsa unui convertizor de frecvență variația frecvenței și a tensiunii motorului s-a obținut prin modificarea turăției și excitației generatorului sincron.

În fotografie din figura 5-4 este prezentat grupul motor

diesel-generator sincron care a constituit sursa de energie pentru alimentarea standului.

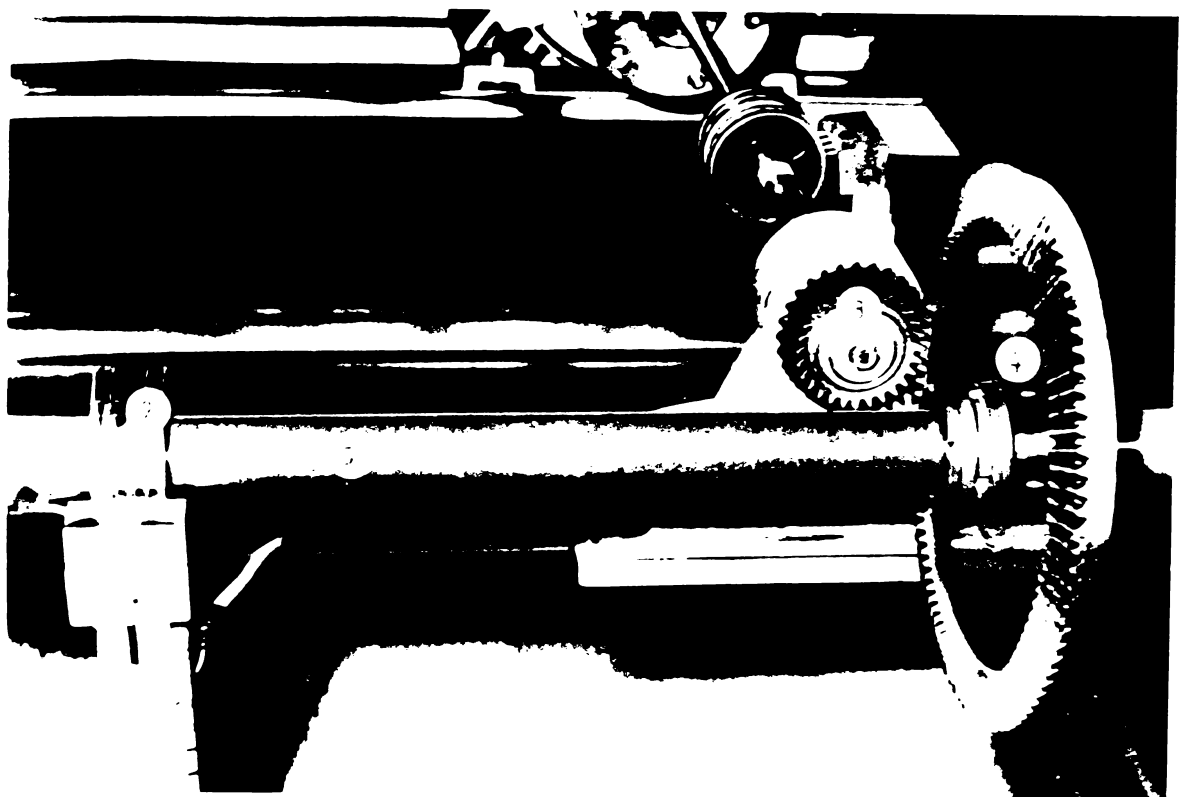


Fig.5-2. Transmiterea cuplului de la arborele „de torsiune” la osie.

3-pinion; 4-coronă dințată; 5-osia motoare; 9-sistem cu inele colectoare și perii pentru transmiterea semnalelor electrice date de traductoarele tensometrice.

In timpul experiențelor s-au înregistrat următoarele mărimi: frecvența f și tensiunea U la bornele motorului asincron de tracțiune, viteza unghiulară ω_0 a osiei cuplul M_a în arborele „de torsiune” al sistemului de antrenare, forțele de frecare F_{fl} , F_{f2} dintre roți și şine precum și forța normală de contact λ_0 .

Măsurarea vitezei unghiulare a osiei s-a făcut indirect cu un traductor cu impulsuri electrice construit de către autor (fig.5-5). Acesta este format dintr-un disc cu 16 orificii montat la capătul osiei, o celulă fotoelectrică fixată la nivelul orifi-

ciilor din disc și un bec pentru iluminare. Prin rotirea discului celula fotoelectrică va primi impulsuri luminoase cu o frecvență care depinde de viteza unghiulară a osiei și de numărul de orificii practicate în disc. Aceste impulsuri luminoase sunt transformate de către celulă în impulsuri electrice care se transmit apoi la oscilograful 13 (fig.5-3).

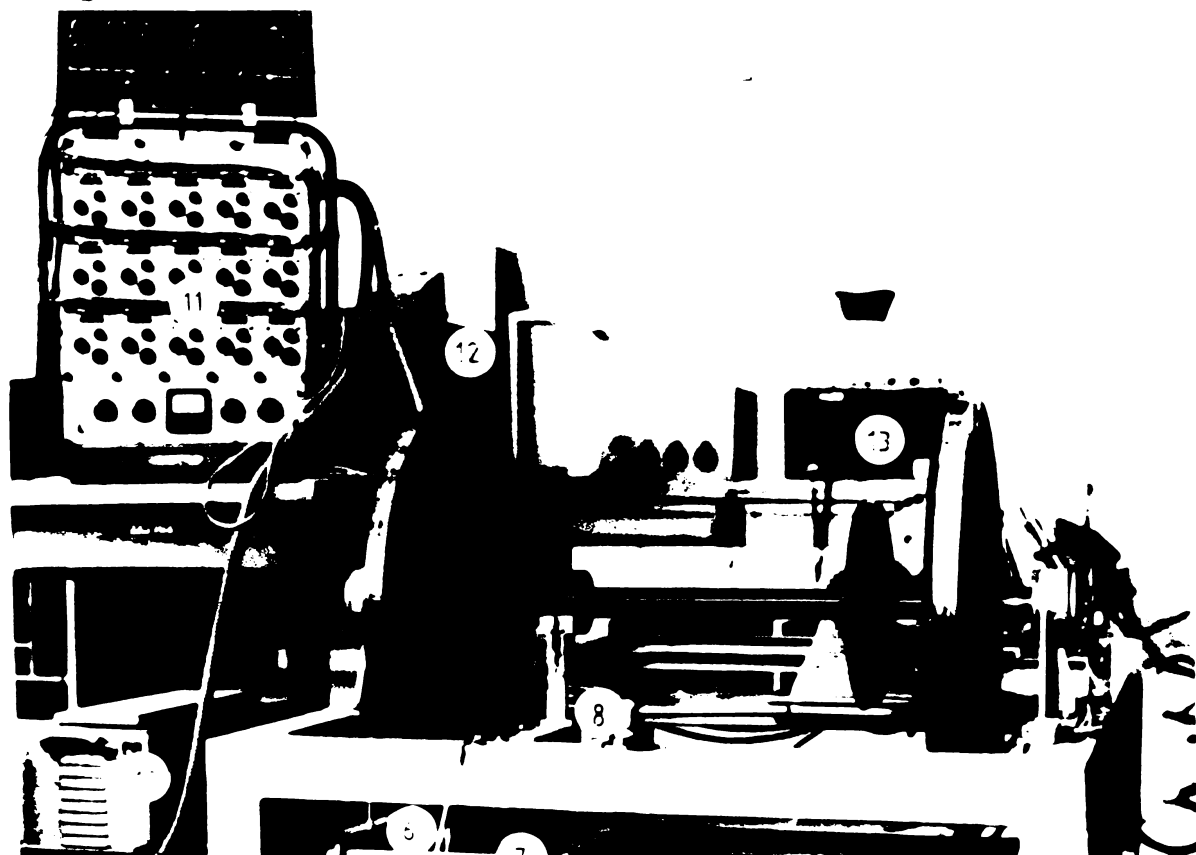


Fig.5-3. Sistemul de modificare a sarcinilor pe roți și instalația de tensometrie Telec tip NOR.

6- șină mobilă; 7-bară transversală; 8-șurub de strângere;
10-bloc de alimentare a instalației Telec; 11-amplificator tensometric; 12-oscilograf Telec; 13-oscilograf RFT-12 LS.

Pentru măsurarea cuplului în arborele „de torsiune” pe acesta s-au aplicat patru traductoare tensometrice perpendiculare între ele și orientate după directii ce fac 45° cu axa arborelui.

Semnalele electrice provenite de la traductoarele tensometric se transmit prin intermediul unui sistem cu inele colectoare și perii 9 (fig.5-2) la instalația de tensometrie Telec tip NOR

(fig.5-3) formată din blocul de alimentare 10, amplificatorul tensometric 11 și oscilograful 12 cu înregistrare pe hîrtie fotografică.



Fig.5-4. Grupul motor diesel-generator sincron folosit pentru alimentarea motorului asincron al standului.
14-motor diesel; 15-generator sincron; 16-pupitru de comandă.



Fig.5-5. Traductor cu impulsuri pentru măsurarea vitezei unghiulare a osiei.

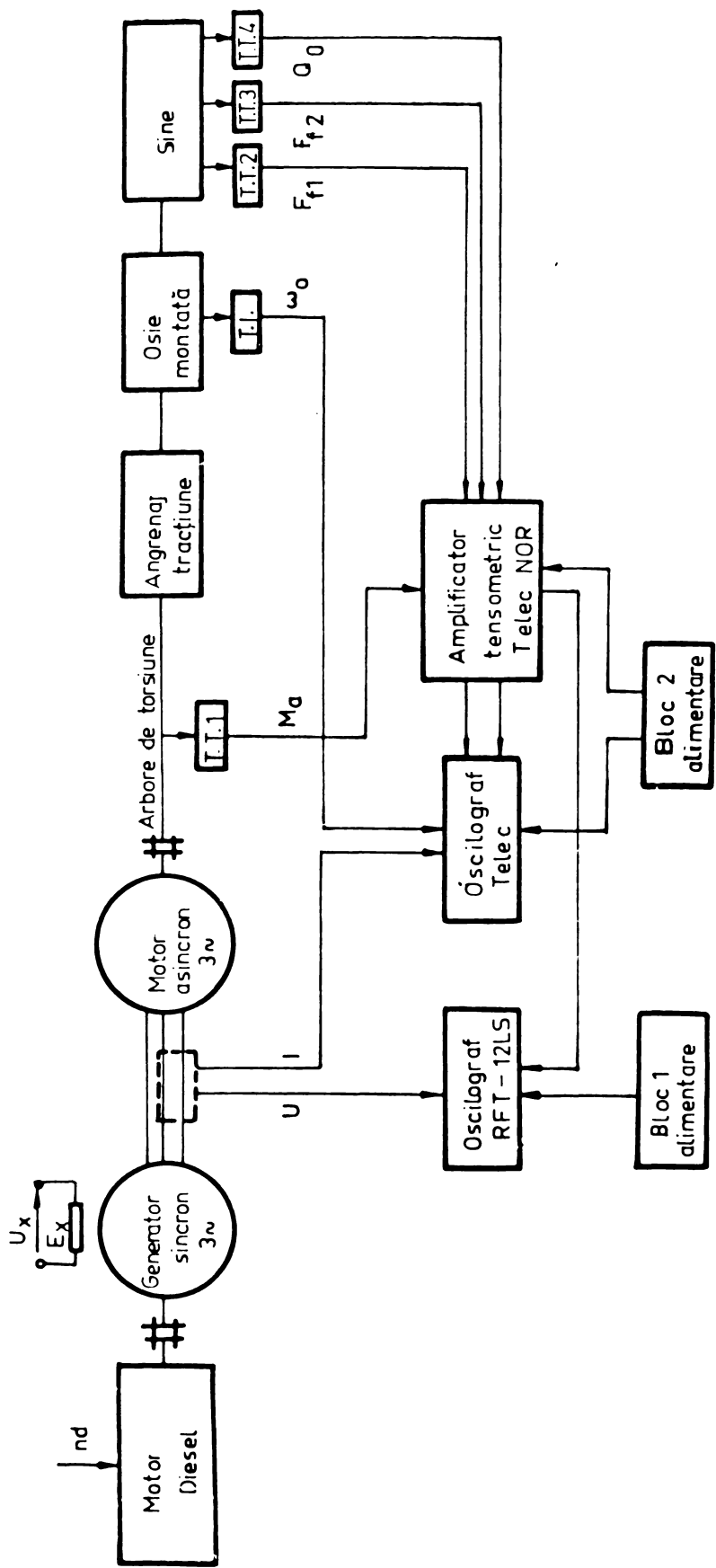


Fig. 5.6 Schema bloc a instalației folosite pentru verificările experimentale pe stand

TT1 - traductor tensometric pentru măsurarea cuplului M_a în arborele de torsiune

TT2 TT3 - transductoare tensometrice pentru măsurarea forțelor de freare F_{f1} și F_{f2}

TT4 - traductor tensometric pentru măsurarea sarcinii pe roata Q_0

T1 - traductor cu impulsuri pentru măsurarea vitezei unghiulare a osiei ω_0

Forțele de frecare dintre roți și şine s-au măsurat tot cu traductoare tensometrice aplicate pe şine între punctul de articulație cu cadrul standului și punctul de contact cu roțile. Pentru măsurarea și înregistrarea acestor mărimi s-a folosit amplificatorul 11 și oscilograful 12.

Pentru măsurarea sarcinii pe roată Q_o s-a aplicat un traductor tensometric pe una din şinele mobile între punctul de contact cu roata și articulația cu bara transversală 7 (fig.5-3), iar înregistrarea s-a făcut cu oscilograful 13, RFT-12 LS.

5.2. Efectuarea și prelucrarea măsurătorilor efectuate pe stand.

Măsurarea pe stand a mărimilor ω_0 , M_a , F_{fl} , F_{f2} s-a făcut simultan pentru diferite valori ale sarcinii pe osie Q_o și ale mărimilor U și f de alimentare a motorului asincron.

In fig.5-6 este prezentată schema bloc a instalației folosite pentru verificările experimentale care cuprinde grupul motor diesel-generator sincron, standul pentru simularea stick-slipului, traductoarele și aparatura de măsurare și înregistrare.

Reglarea frecvenței f de alimentare a motorului s-a făcut prin modificarea turăției n_d a grupului motor diesel-generator prin intermediul cremalierei pompei de injectie a motorului diesel.

Tensiunea U la bornele generatorului sincron pentru o anumită valoare a turăției n s-a modificat prin intermediul tensiunii U_x la bornele înfășurării de excitație Ex. Înregistrarea acestei mărimi s-a făcut pe oscilograful RFT-12 LS.

La efectuarea măsurărilor s-a înregistrat mai întîi pe oscilogramă pentru fiecare canal linia de zero față de care se determină distanțele corespunzătoare mărimilor măsurate.

5.2.1. Determinarea experimentală a caracteristicii coeficientului de frecare roată - şină

Caracteristica experimentală a coeficientului de frecare roată-şină (v_a) s-a determinat indirect măsurînd valorile $F_{fl,i}$ ($i=1, \dots, n$) ale forţei de frecare la roata 1 (fig.5-3) la diferite viteze de alunecare v_{ai} ($i=1, \dots, n$) pentru o anumită valoare a sarcinii pe roată Q_0 .

Deoarece forţa de frecare dintre roată şi şină este egală cu forţa normală care solicită şina (fig.5-7) măsurarea acestei forţe s-a făcut cu traductorul tensometric T.T.3. Traductorul tensometric T.T.4 măsoară deformarea specifică în şină de încovoiere dată de forţa F_s , obținută prin sistemul de strîngere cu șurub menționat anterior, care este proporțională cu sarcina pe roată Q_0 .

Valorile coeficientului de frecare, vor fi date de relația:

$$\mu_i = \frac{F_{fl,i}}{Q_0} \quad (i=1, \dots, n) \quad (5.1)$$

Viteza de alunecare v_a s-a determinat tot indirect prin numărul de impulsuri m generate de celula fotoelectrică a traductorului T.I. într-o secundă:

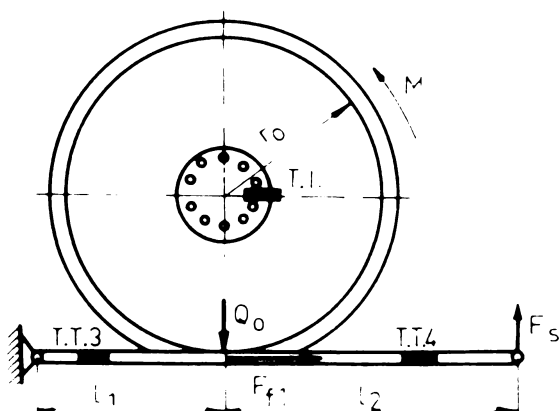


Fig.5-7. Determinarea experimentală a caracteristicii coeficientului de frecare roată-şină.

$$v_a = \omega_o r_o = 2\pi \frac{m}{m_o} r_o \quad (5.2)$$

unde $m_o = 16$ este numărul orificiilor din discul traductorului.

Pentru evitarea stick-slipului care se produce în cazul antre-

nării osiei de către motorul electric asincron al standului, determinarea coeficientului de frecare s-a făcut prin aplicarea unui cuplu M direct roții 1 la care se fac măsurătorile.

In cadrul determinărilor experimentale s-a făcut un număr de 20 de măsurători.

Valorile coeficienților de frecare și a vitezelor de alunecare obținute în urma prelucrării oscilogramelor s-au trăsărit în tabelul 5.1.

Prelucrarea matematică a datelor experimentale s-a făcut prin metoda celor mai mici pătrate, funcția $\mu(v_a)$ cu care s-a aproximat caracteristica coeficientului de frecare fiind de forma (3.27). Coeficienții a și b ai acestei funcții calculați cu relațiile (3.28) pe baza valorilor din tabelul 5.1 sunt $a = 0,091 \text{ ms}^{-1}$, $b = 0,167$ iar valoarea coeficientului de aderență obținută prin măsurători este $\mu_a = 0,3839$.

In fig.5-8 s-au reprezentat prin puncte valorile i ($i=1, \dots, 20$) obținute la vitezele v_{ai} ($i=1, \dots, 20$) din tabelul 5.1 precum și caracteristica teoretică a coeficientului de frecare.

5.2.2. Determinarea experimentală a forțelor de frecare, a cuplului în osie și în arborele motorului asincron în cazul producerii stick-slipului.

Forțele de frecare dintre roți și şine F_{f1} respectiv F_{f2} ca și cuplul M_a în arborele de torsiune s-au determinat experimental pentru diferite valori ale sarcinilor pe roți Q_o cuprinse între 703,5 N și 1096 N ca și pentru diferite valori ale frecvenței și tensiunii de alimentare a motorului asincron al standului.

Prin modificarea frecvenței și tensiunii de alimentare s-a obținut o familie de caracteristici mecanice ale motorului asincron, deci diferite viteze de patinare a roților.

Tabelu 1 5,1

i	F _p [N]	μ _i	v _{ai} [ms^{-1}]	1/v _{ai}	1/v _{ai} ²	μ _i /v _{ai}
1	270,125	0,384	0,369	2,717	7,384	1,043
2	260,930	0,371	0,424	2,358	5,562	0,875
3	240,579	0,342	0,561	1,783	3,178	0,609
4	246,911	0,302	0,672	1,488	2,214	0,518
5	220,883	0,294	0,740	1,351	1,826	0,397
6	221,587	0,245	1,124	0,890	0,792	0,218
7	190,635	0,251	1,353	0,739	0,546	0,186
8	184,304	0,215	1,728	0,579	0,335	0,124
9	193,449	0,225	1,817	0,550	0,303	0,124
10	196,263	0,270	2,049	0,488	0,238	0,107
11	170,235	0,210	2,223	0,450	0,202	0,094
12	169,531	0,215	2,552	0,392	0,154	0,084
13	143,504	0,204	2,925	0,342	0,117	0,070
14	147,021	0,209	3,416	0,293	0,086	0,061
15	135,062	0,192	3,511	0,285	0,081	0,055
16	134,359	0,191	3,781	0,264	0,070	0,051
17	122,400	0,174	4,099	0,244	0,060	0,042
18	127,324	0,194	4,395	0,228	0,052	0,044
19	120,993	0,185	4,821	0,207	0,043	0,038
20	116,069	0,165	5,232	0,191	0,037	0,032
		4,788		15,839	23,279	4,772

$$a = \frac{20,4,772 - 15,839 \cdot 4,788}{20,23,279 - 15,839^2} = 0,091 \text{ ms}^{-1}$$

$$b = \frac{23,279 \cdot 4,788 - 15,839 \cdot 4,772}{20 \cdot 23,279 - 15,839} = 0,167$$

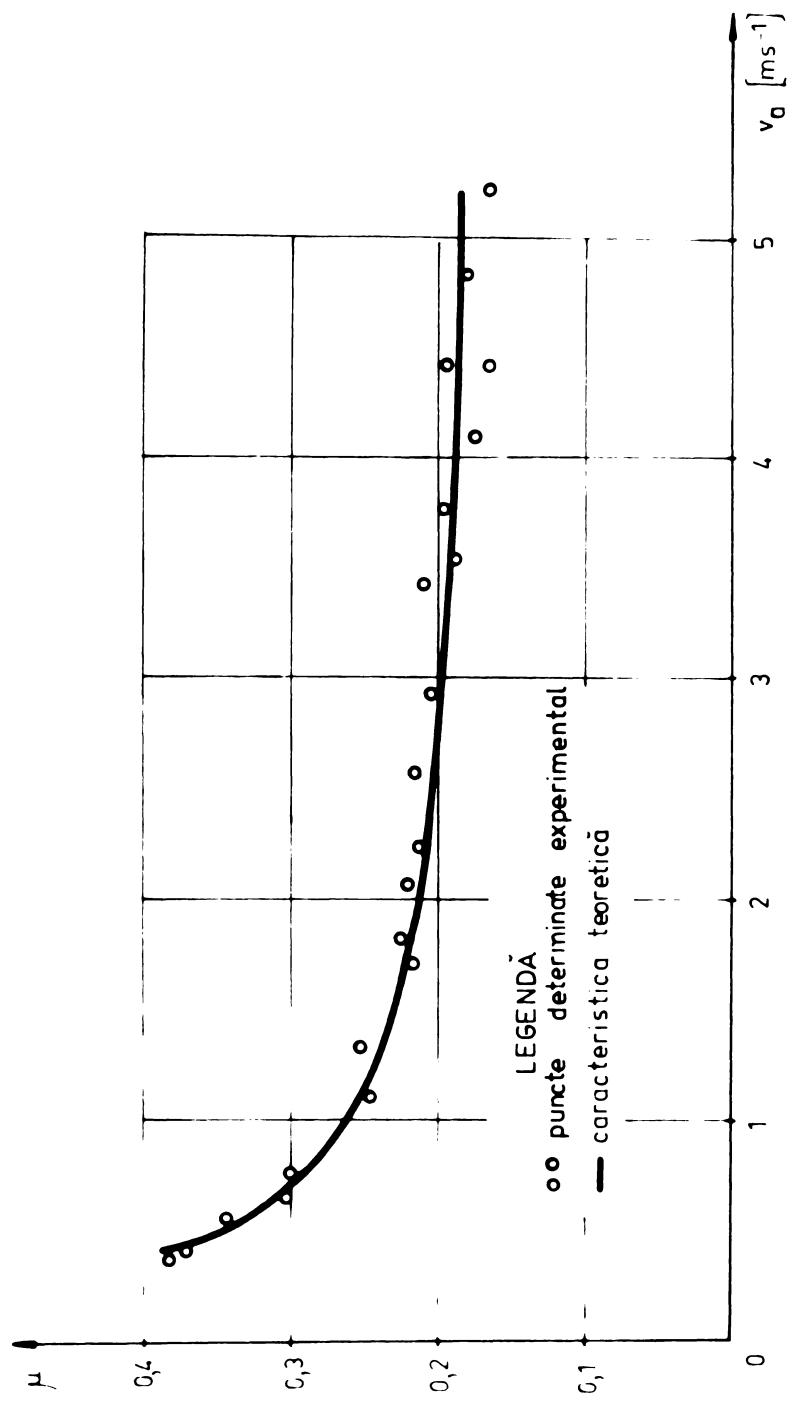


Fig. 5-8 Caracteristica coeficientului de frecare roată-șină la stand

Pentru a simula condițiile reale din exploatare a locomotivelor cu transmisie în curent alternativ-curent alternativ s-au ales acele valori ale tensiunii și frecvenței pentru care raportul $U/f = \text{const}$ deci cazul reglării la cuplu constant. Astfel, pentru fiecare valoare a forței Q_0 , frecvența tensiunii de alimentare a motorului s-a variat între valorile stable $f = 20$ și 50 Hz prin modificarea turației grupului motor diesel-generator sincron (v.cap.5.1) respectiv tensiunea între $U = 190$ și 380 V.

Menținerea constantă a frecvenței sub valoarea de 20 Hz. s-a realizat numai pentru intervale foarte scurte de timp (circa 1-2 s) din cauza instabilității grupului motor diesel-generator la turații mici. Cu toate acestea și la frecvențe scăzute s-au putut face verificări experimentale concludente avîndu-se în vedere timpul scurt de producere al stick-slipului.

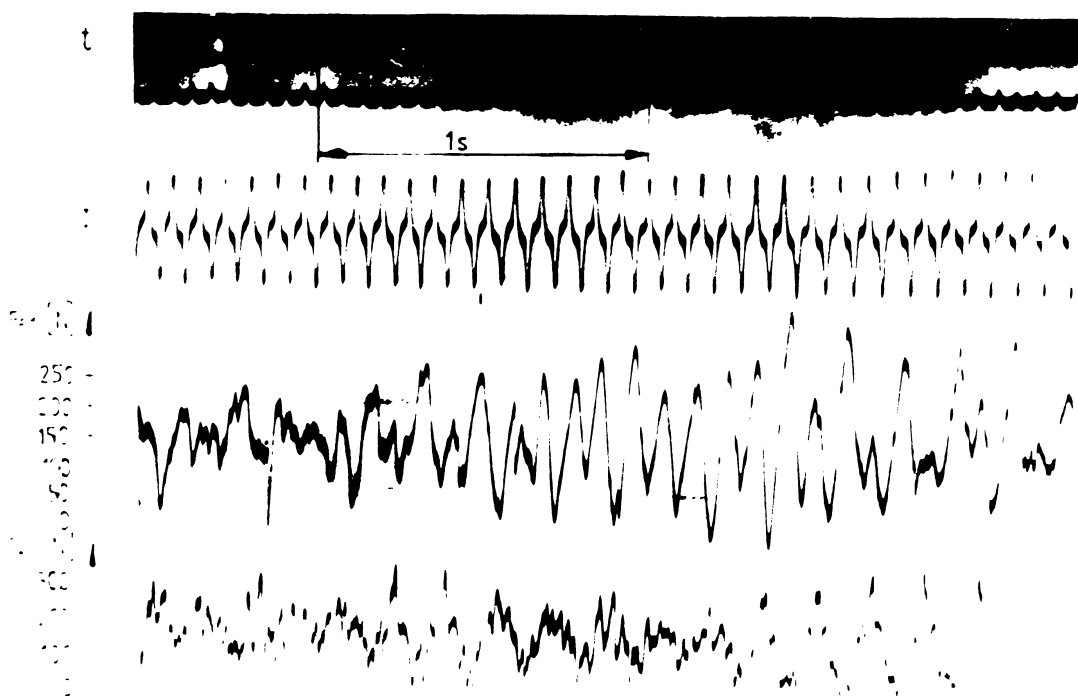


Fig.5-9 Oscilogrammele forțelor de frecare dintre roți și șine la producerea stick-slipului

In fig.5-9 se prezintă fotocopia după oscilograma care reprezintă variația în timp a forțelor de frecare F_{f1} și F_{f2} pentru

$Q_0 = 965,2 \text{ N}$, frecvența de alimentare a motorului fiind $f = 25 \text{ Hz}$ după cum se vede și din oscilograma curentului I al motorului.

Impulsurile generate de celula fotoelectrică cu care se determină viteza de alunecare se pot vedea în partea superioară a oscilogramelor.

Pentru a stabili influența oscilațiilor de stick-slip asupra forței de tracțiune se determină valoarea limită a forței de frecare $F_f \min$ (v.cap.4.1). Influența sarcinii pe roată Q_0 și a frecvenței f asupra valorilor limită ale forței de frecare $F_f \min$ se vede în fig.5-10 și tabelul 5.2 în care s-au trecut o parte din rezultatele prelucrării oscilogramelor.

Tabelul 5.2

$Q_0 [\text{N}]$	703,5	769	834,3	899,8	965,2	1030,6	1096	
$F_{f\min} [\text{N}]$	197	227	253	268	280	293	296	
$f=25 \text{ Hz}$	$M_{amax} [\text{Nm}]$	58,5	62	67,5	71	78,5	81	85
$U=190 \text{ V}$	$M_{omax} [\text{Nm}]$	201	223	259	272	299	309	324
$f=29 \text{ Hz}$	$F_{f\min}$	185	218	237	252	269	278	292
$U=220 \text{ V}$	M_{amax}	59	70	78,5	83	88,5	96	97
	M_{omax}	294	304	317	325	336	342	354
$f=33 \text{ Hz}$	$F_{f\min}$	172	205	219	240	258	269	279
$U=251 \text{ V}$	M_{amax}	59,5	72	81	84	93,5	102	112
	M_{omax}	309	316	307	318	326	332	341

In oscilogramele din figura 5-11 se vede variația în timp vitezei de alunecare a roții (creșterea numărului de impulsuri în timp) și a cuplului în osie (fig.5-11.a) și arborele de torsiune (fig.5-11.b). Se observă creșterea amplitudinilor de oscilație pînă la atingerea unor valori limită, ceea ce confirmă concluziile teoretice din cap.3.4.

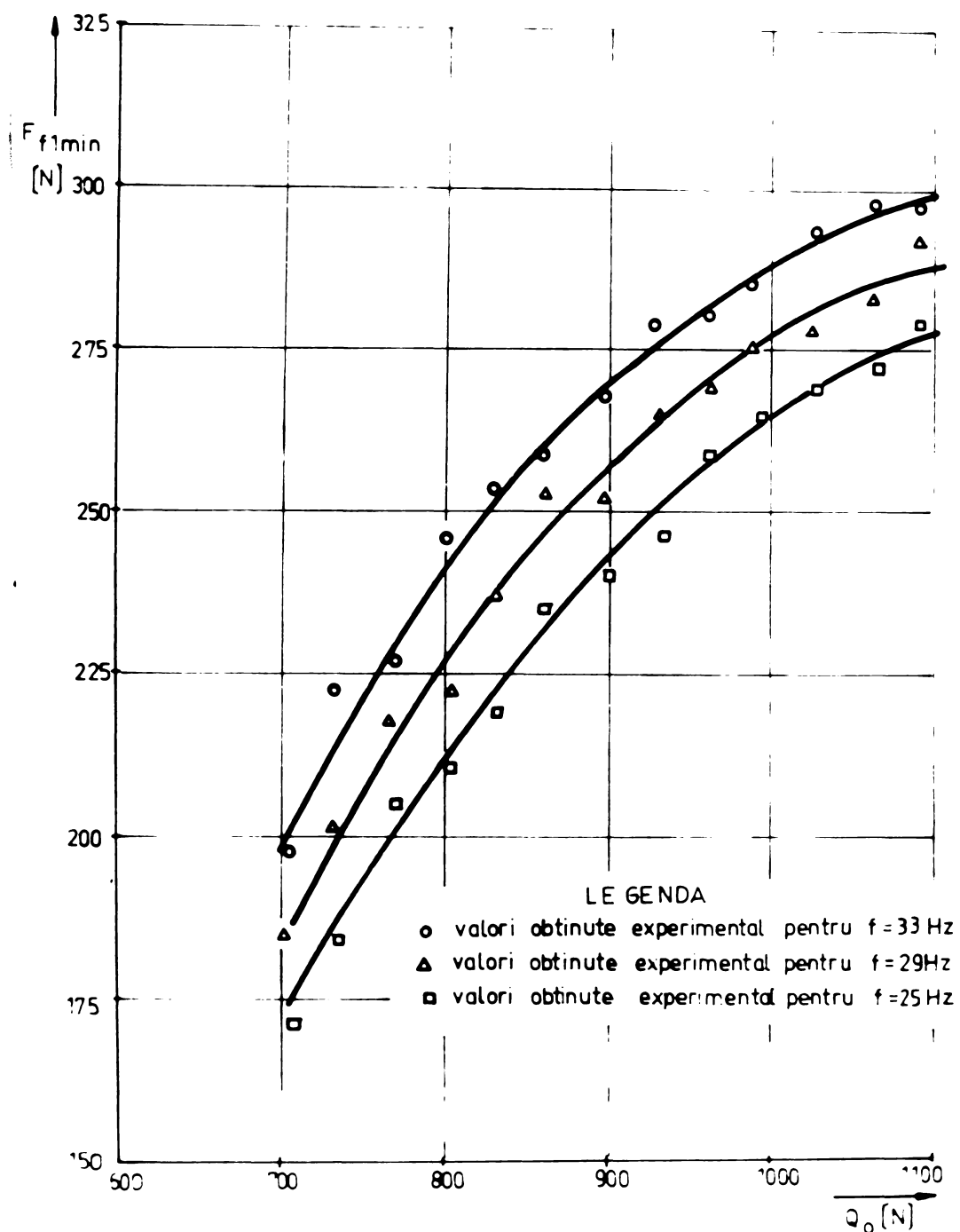


Fig.5-10. Diagramele obținute experimental ale variației forței de frecare F_{fmin} cu sarcina pe roată Q_o pentru diferite valori ale frecvenței f a tensiunii de alimentare a motorului asincron.

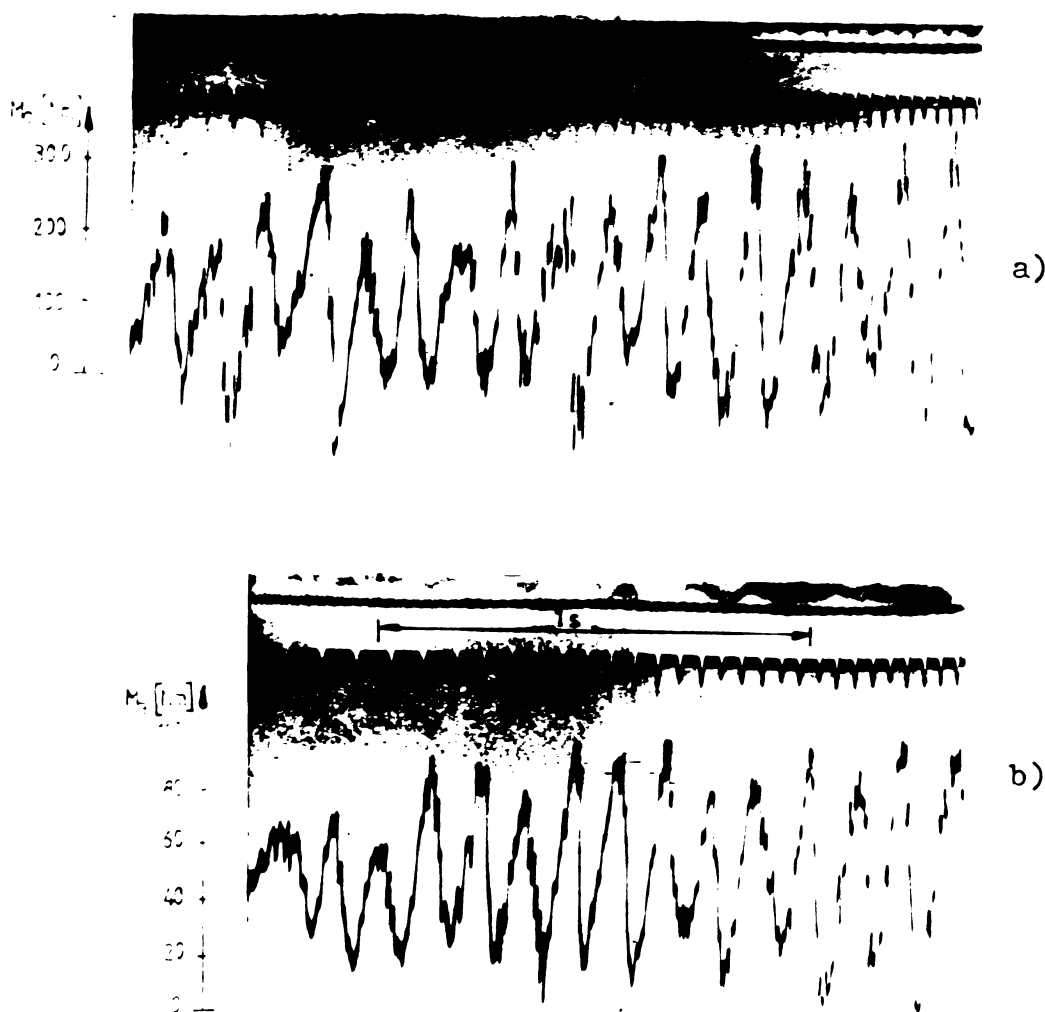


Fig.5-11 Oscilogramme ale cuplului în osie și arborele de torsiune.

In tabelul 5-2 s-au trecut și valorile cuplurilor maxime în arborele de torsiune și osie M_{amax} , respectiv M_{omax} iar diagramele de variație a acestor mărimi în funcție de sarcina pe roată Q_0 pentru $f = 29$ Hz s-au reprezentat în fig.5-12.

Deoarece valorile acestor cupluri au crescut odată cu mărirea frecvenței tensiunii de alimentare a motorului, după cum se vede în tabelul 5.2 se confiră că pentru micșorarea amplitudinilor de oscilație este necesară micșorarea frecvenței într-un timp util astfel ca amplitudinile să nu ajungă la valori periculoase

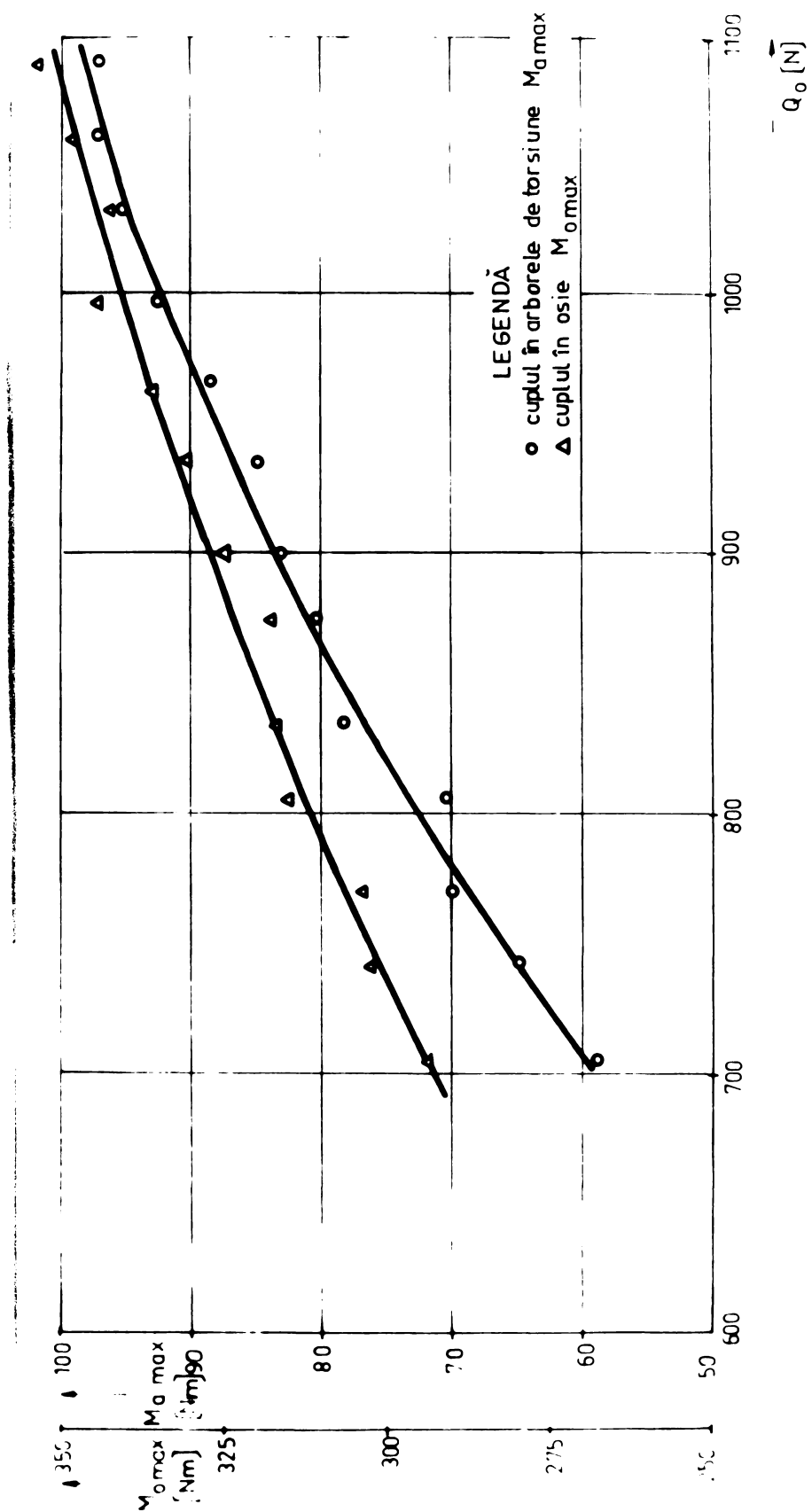


Fig.5-12 Diagramele obținute experimental ale variației cuplurilor
... $M_{o_{max}}$ și $M_{a_{max}}$ cu sarcina de roată Q_o

după cum s-a vizut și în cap.4.3.

Se observă și faptul că, creșterea în timp a amplitudinilor oscilațiilor de stick-slip nu influențează coeficientul de suprasarcină al motorului, pentru nici unul din cazurile de încărcare și alimentare a motorului care au fost arătate „răsturnarea” motorului ne având loc.

4.3. Verificări experimentale pe locomotivă.

După cum s-a arătat și la începutul acestui capitol, unele concluzii teoretice privind fenomenul de stick-slip s-au verificat experimental pe locomotiva CFR 060 EA de 5100 kW, cu ocazia încercărilor efectuate de I.C.F.T.T. /27/ la care a participat autorul, întrucât în țara noastră nu există locomotive diesel cu transmisie în curent alternativ-curent alternativ.

În timpul experimentelor s-au măsurat: viteza unghiulară a osiei, cuplul în osie, sarcinile pe osii și viteza de înaintare a vehiculului.



Fig.5-13 Amplasarea traductorului de turatăie.

Măsurarea vitezei unghiulare a osiei s-a făcut cu ajutorul unui traductor de turatăie fixat pe cutia de osie (fig.5-13). Cuplul în osie

s-a măsurat cu ajutorul unui traductor inductiv de cuplu, variațiile de sarcini pe osii s-au determinat indirect prin măsurarea cu ajutorul unor traductoare de deplasare a deplasărilor produse între cutiile de osie și cadrul boghiului iar viteza de înaintare s-a măsurat cu ajutorul unui traductor de turătie plasat pe osia vagonului dinamometric atașat locomotivei.

Din oscilogramele obținute cu ocazia încercărilor din care o parte sănt prezentate în fig.5-14, s-au scos în tabelul 5.3 următoarele valori: $v_{\text{amax}} = r_o \cdot \dot{\varphi}_{\text{max}}$, M_{oa} - momentul de torsion al osiei limitat de aderență M'_{omax} - momentul maxim în osie corespunzător numai oscilațiilor de stick-slip.

Acste mărimi au măsurate la prima osie față de sensul de mers al locomotivei care are prima tendință de a patina după cum s-a arătat ca și în capitolul 2.3.

Tabelul 5.3

v_{amax}		M_{oa}	M'_{omax}	M'_{omax}
[km/h]	[m/s]	[da Nm]	[da Nm]	[da Nm]
8,28	2,3	1689	9489 (9521)	5,62 (5,64)
10	2,78	-	9719 (9809)	5,75 (5,81)
12	3,33	-	10116 (10282)	5,99 (6,09)
14,4	4	-	15884 (16531)	9,40 (9,79)
18	5	-	20064 (22386)	11,88 (13,25)

Atât din tabelul 5.3 ca și din fig.5-13 se observă că solicitările torsionale maxime datorită oscilațiilor de stick - slip ating valori de peste 11 ori față de solicitarea dată de aderență.

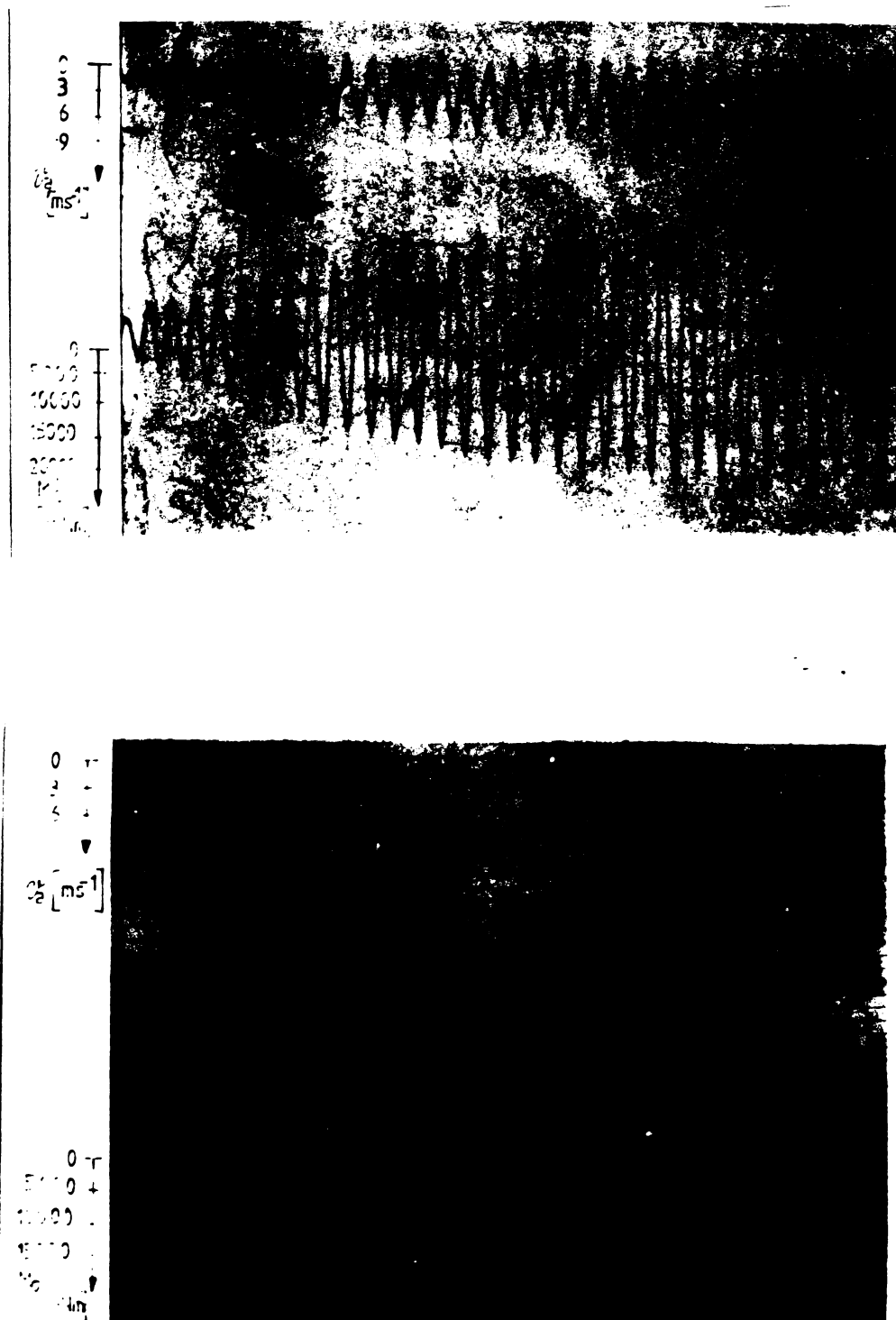


Fig.5-14 Oscilograme ale vitezei v_a și cuplului M_o
obținute cu ocazia încercărilor efectuate cu locomotiva
C.F.R. - 060 EA.

Variatia vitezei de oscilatie $v_{a\max}$ in timp, din momentul producerii stick-slipului se poate vedea in fig.5-15.

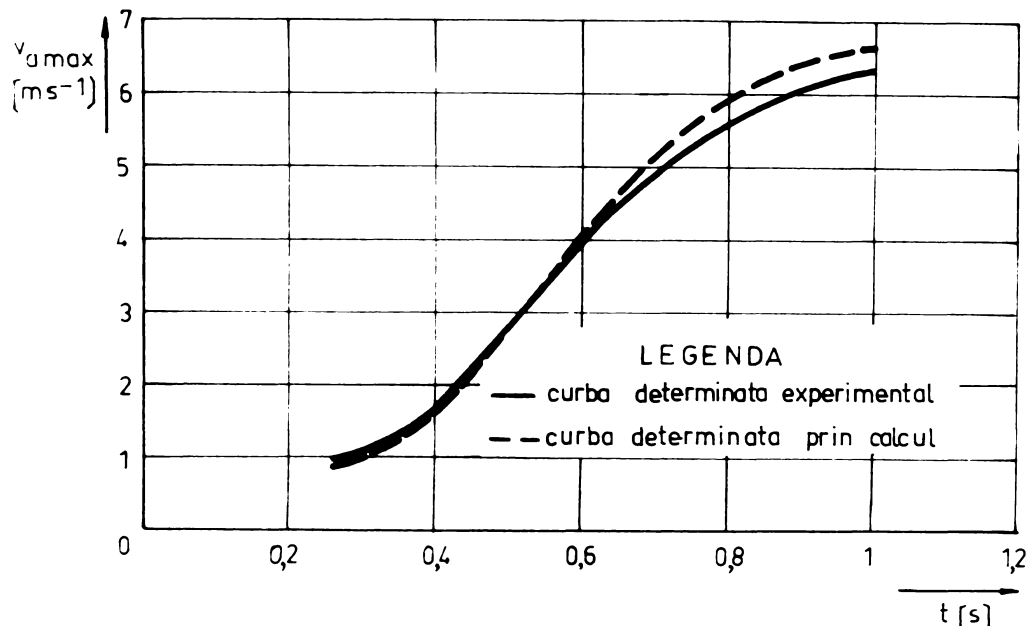


Fig.5-15 Variatia in timp a vitezei $v_{a\max}$

Alura curbei de variatie in timp a vitezei $v_{a\max}$ confirmă, atît cele arătate în cap.3.4 cît și măsurătorile făcute de Schröter și Schönenberger/48/, și anume că deși sistemul este instabil și amplitudinile de oscilație cresc rapid în perioada de început a stick-slipului, există o limitare în timp a acestor amplitudini.

Din măsurătorile efectuate pe locomotivă a rezultat de asemenea o creștere a frecvenței oscilațiilor de stick-slip de la circa 18 Hz pînă la 48 Hz cînd amplitudinile oscilațiilor sunt maxime.

5.4. Analiza comparativă a rezultatelor obținute pe cale teoretică și experimentală.

Pentru a compara rezultatele experimentale obținute pe stand cu cele teoretice s-a făcut și integrarea ecuațiilor de mișcare pe calculator pentru parametrii standului (anexa A.5.1). Aceștia sunt:
 $I_1 = I_2 = I = 3,449 \text{ kgm}^2$; $I_r = 0,0806 \text{ kgm}^2$; $c_1 = 3767,847 \text{ kgm}^2\text{s}^{-2}$;
 $c_r = 169,359 \text{ kgm}^2\text{s}^{-2}$; $u = 3,65$; $r_o = 0,29 \text{ m}$; $K_m = -27,59 \text{ kgm}^2\text{s}^{-1}$.

O parte din valorile calculate pentru $\dot{\Psi}_1$, $\dot{\Psi}_2$, $\dot{\Psi}_r$ și Ψ_r - Ψ_2 sunt trecute în anexă. Cu aceste valori s-au calculat forțele de frecare F_f (relațiile 4.2-4.5), cuplul în arborele de torsiune M_a și viteza v_a .

Comparînd valorile calculate cu cele măsurate, din capitolul 5.2.2 se constată o foarte bună concordanță în ceea ce privește alura și dispunerea curbelor. Această arată că și caracteristica teoretică a coeficientului de frecare obținută prin prelucrarea matematică a datelor experimentale (v.cap.3.3) este foarte apropiată de cea reală. Unele abateri între valorile calculate și cele măsurate se pot datora influenței temperaturii la suprafața de contact care atinge valori ridicate în cazul unei patinări îndelungate.

Rezultatele experimentale obținute pe locomotivă se compară cu cele teoretice calculate cu valorile din anexa A.3.3. După cum se vede în tabelul 5.3. în care s-au trecut în paranteză valorile cuplurilor în osie calculate, au rezultat unele diferențe care însă sunt acceptabile. La fel se vede și în figura 5-14 în care cu linie punct s-a trasat caracteristica teoretică. Explicația acestor abateri între caracteristici constă în faptul că în timpul încercărilor cu locomotiva nu s-a determinat experimental și alura curbei coeficientului de frecare dintre roată și şină.

Comparînd valorile frecvențelor de oscilație calculate cu cele măsurate se constată diferențe foarte mici de circa 1-2 Hz. Astfel frecvența maximă a oscilațiilor de stick-slip obținută prin calcul este de 50 Hz față de 48 Hz cît este cea măsurată. Se observă că valoarea frecvenței oscilațiilor de stick-slip este apropiată de valoarea frecvenței proprii a sistemului de antrenare $\bar{V}_1 = 51,596 \text{ Hz}$ (cap.3.4 rel.3.35) confirmîndu-se astfel concluziile la care au ajuns și alți cercetători care au studiat fenomenul numai experimental /7/, /10/, /43/, /48/.

Cap.6 CONCLUZII SI PARTI ORIGINALE

6.1. Concluzii și proponeri

Din studiul efectuat în lucrarea de față, rezultă o serie de concluzii importante în ceea ce privește construcția locomotivelor moderne de mare putere utilizate astăzi și în perspectivă în transportul pe calea ferată (v.introducere), după cum urmează:

1) În special la locomotivele de mare putere, indiferent dacă este locomotivă diesel sau electrică, datorită fenomenului de stick-slip apar oscilații autoîntreținute extrem de violente în tot sistemul de antrenare al locomotivei precum și solicitări importante în elementele componente și șocuri ce înrăutătesc în același timp caracteristicile de tractiune ale locomotivei (v.cap.4).

2) Deoarece la motorul asincron de tractiune caracteristica cuplului este abruptă în zona sa stabilă, vitezele de patinare sunt mult mai mici în comparație cu motorul electric de tractiune de curent continuu. Pericolul „ambalării” motorului și osiei la patinare este complet înălăturat dar nu și stick-slipul. Stick-slipul se produce imediat după „rupererea aderenței” odată cu patinarea roților oricărui de mici ar fi vitezele de patinare, datorită faptului că oscilațiile de stick-slip sunt autoîntreținute, amplitudinile acestora crescând rapid în timp (v.cap.3.4).

3) Toate puținele cercetări apărute asupra fenomenului de stick-slip la locomotive sunt în general cercetări experimentale și care se referă exclusiv asupra ruperilor de osii (v.cap.1.2).

În lucrarea de față se studiază fenomenul de stick-slip pe baza cărțilelor teoretice originale ale autorului și se determină influențele nocive ale acestuia asupra caracteristicilor de tractiune ale locomotivelor.

4) Prin stabilirea ecuațiilor de mișcare ale sistemului

de antrenare la producerea stick-slipului s-a mutat și s-a făcut o comparație între diferitele sisteme de transmisie cu motoare electrice de tractiune de curent continuu și de curent alternativ (v.cap.3.4) cu concluziile interesante a avantajelor pe care le reprezintă motoarele de curent alternativ-asincrone, stabilind astfel încă un motiv important pentru generalizarea transmisiei în curent alternativ-curent alternativ în viitorul apropiat.

5) Deoarece stick-slipul, aşa cum se arată în cap.4.3 nu poate fi evitat, se indică dispozitive de antipatinaj și condiții-le pe care acestea trebuie să le îndeplinească pentru a reduce efectele oscilațiilor de stick-slip în limite acceptabile. S-a stabilit astfel că timpul de intervenție al dispozitivului de antipatinaj trebuie să fie de pînă la 0,4 s din momentul producerii stick-slipului.

6) Studiul teoretic făcut a dat posibilitatea stabilirii influenței oscilațiilor de stick-slip asupra coeficientului de suprasarcină al motorului de tractiune asincron evitîndu-se astfel supradimensionarea motorului (v:cap.4.2).

7) Oscilațiile de stick-slip duc la solicitări torsionale importante în osia locomotivei (v.cap.4.3). Aceste solicitări la sistemele de antrenare cu motoare asincrone fiind inferioare cazului cu motoare de tractiune de curent continuu rezultă încă un avantaj important al transmisiei în curent alternativ-curent alternativ.

8) Din studiul stabilității mișcării făcut în cap.3.2 rezultă că creșterea pantei caracteristicii motorului asincron de tractiune (caracteristicile rigide) și micșorarea momentului de inertie al rotorului influențează favorabil comportarea sistemului de antrenare la producerea stick-slipului. Pe baza acestui studiu se pot stabili în fază de proiectare parametrii optimi constructivi ai motorului de tractiune.

9) Deoarece față de studiile efectuate de F.Böhm /7/

Nico Rahn /43/ și de alți cercetători acest studiu scoate în evidență atât influența asupra oscilațiilor de stick-slip a caracteristicii coefficientului de frecare roată-șină cît și a parametrilor mecanici și a transmisiei locomotivei, lucrarea aduce deci contribuții noi la studiul acestor oscilații la locomotive.

10) Din calculul amplitudinilor oscilațiilor de stick-slip și cît în cañ. 3.4 rezultă că neglijarea rigidității osiei (făcută în lucrările de specialitate apărute pînă în prezent nu este permisă deoarece aceasta influențează în mare măsură amplitudinile de oscilație. Considerarea unui model mecanic cu două mase pentru sistemul de antrenare nu se poate lua în considerare decît pentru aprecieri calitative asupra stick-slipului.

11) Verificările experimentale făcute atât pe stand în laboratorul catedrei de Material rulant din I.P.București cît și cele făcute pe locomotivă (v.cañ.5) au confirmat rezultatele teoretice. Astfel de încercări legate de fenomenul de stick-slip la locomotive s-au efectuat pentru prima dată pe un model experimental.

6.2. Părți originale

Lucrarea „Contribuții la studiul influenței fenomenului de stick-slip asupra caracteristicilor de tracțiune ale locomotivelor diesel cu transmisie în curent alternativ-curent alternativ” constituie un studiu aprofundat a unei probleme arătute în ultimul timp la locomotive și care este foarte puțin cercetată pînă în prezent pe plan mondial.

In forma în care este realizată lucrarea corespunde unei necesități majore de a pune la îndemîna producției rezultatele cercetărilor aplicative și fundamentale.

Rezultatele originale pe care le-am obținut anar în majoritatea lor pentru prima dată în această lucrare, altele au fost

deja publicate în reviste de specialitate atât în țară cît și în străinătate.

Dintre contribuțiile principale ale autorului în această lucrare se pot evidenția următoarele:

1) Stabilirea unui model mecanic original și a unui sistem de ecuații diferențiale pe baza căruia se poate studia fenomenul de stick-slip la locomotive. Caracterul general al modelului dă posibilitatea adaptării acestuia și la alte locomotive în vederea unor studii similare prin particularizări.

2) Intregul calcul complex al oscilațiilor de stick-slip este absolut original. Pentru rezolvarea sistemului de ecuații diferențiale (3.8) ale mișcării sistemului de antrenare al locomotivei, autorul a întocmit un program de calcul în limbaj Fortran (v.cap.3.4) pentru calculatorul Felix C-256 al I.T. Pucurești.

3) Studierea influenței oscilațiilor de stick-slip asupra caracteristicilor de tractiune ale locomotivei (v.cap.4). Autorul stabilește condițiile pe care trebuie să le indeplinească dispozitivele de antipatinaj (cap.4.3) și determină influența stick-slipului asupra coeficientului de suprasarcină al motorului asincron de tractiune (cap.4.2).

4) Stabilirea unei metode generale de calcul a solicitărilor torsionale în osia locomotivei datează stick-slipului de care pînă în prezent nu se ținea seama la proiectarea osiei.

5) Determinarea influenței principaliilor factori (starea căii de rulare, parametrii mecanici și transmisia locomotivei) asupra oscilațiilor de stick-slip.

6) Stabilirea unei noi metode de calcul (v.cap.2) a variațiilor sarcinilor pe osii (static și dinamic), prin reducerea forțelor și momentelor față de centrele de rotație ale boghiurilor, obținindu-se prin aceasta ecuații globale de echilibru ale boghiurilor, aplicabile oricărui tip de locomotivă și nu separat pentru

fiecare element component al locomotivei, cum se procedă înainte.

7) Stabilirea influenței parametrilor sistemului de antrenare asupra stabilității oscilațiilor de stick-slip (v. cap. 3.2) și a unui program de calcul pentru calculatorul numeric.

8) Modelul utilizat și construit de autor pentru verificările experimentale în laborator ale calculelor teoretice, este original, rezultatele emeritențelor confirmând veridicitatea metodei de studiu a fenomenului de stick-slip la locomotive stabilită în prima parte a lucrării.

Rezultatele obținute de autor au fost confirmate calitativ și de o serie de experiențe făcute la căile ferate din R.F.G., Austria cât și la C.F.R.

Lucrarea ține seama de progresele realizate în industria constructoare de locomotive din țară și din străinătate. Din acest motiv, avîndu-se în vedere colaborările cu producția, consider că lucrarea este utilă specialiștilor din producție. Prin metodele moderne folosite în studiul teoretic și experimental lucrarea reprezintă un punct de plecare pentru viitoarele cercetări privind studiul fenomenului de stick-slip la locomotive.

BIBLIOGRAFIE

1. Aizerman M.A., Cantmacher F.R. - Absoliutnaia ustojivost i reguliruemih sistem. Izd.Akad.Nauk SSSR, 1963.
2. Alitov A.A. - Asupra autovibratiilor intr-un sistem cu excitație limitată. Nașinovedenie, 1, 1979.
3. Antipatinage, contrôle et regulation de l'effort moteur. Raport ORE, B44.
4. Banarjee A.K.- Influence of Kinetic friction on the velocity of stick-slip motion. Wear, 12, 1968.
5. Bitterberg F.,Teich W.-Henschel - BBC - DE2500 Ein wendepunkt in der Lokomotivtechnik, ETR, 1, 1971.
6. Borgeaud G.-Achslaständerungen infolge zugkraft an Lokomotiven mit zwei Triebgestellen und Möglichkeiten, sie durch Lastausgleich zu verbessern. Glasers Annalen, 3,4,5,7,1965.
7. Böhm F. - Der Schleudervorgang beim Anfahren und Rangieren mit dieselhydraulischen Kardanwellengetriebenen Lokomotiven. Glasers Annalen, 6, 1960.
8. Boțan N.V. - Reglarea vitezei sistemelor de acționare electrică. Editura Tehnică, București, 1974.
9. Brașovan M.,Seraciu E., Bogoevici N, Kelemen A.,Trifan V. - Acționări electrice, aplicații industriale. Ed.Tehnică, București, 1977.
10. Breyer W. - Das Adhäsionsverhalten von Thyristorlokomotiven Entwicklungen bei Reihe 1043 der Ö.B.B.Elektrische Bahnen, 4-5, 1976.
11. Breyer W. - Besonderheiten der Thyristorlokomotiven Reihe 1043 der Österreichische Bundesbahnen Österreichische Ingenieur-Zeitung, 1975.

12. Brun R. - Oscillations provoquées par le frottement dites oscillations de relaxation. Automobilismo e automobilismo industriale, 11/12, 1971.
13. Carli A., Rubteri A. - Modello matematico di un motore asincrono controllato in frequenza. Elettrotecnica, 12, 1965.
14. Conducse N., Sebeşan I. - Variaţia sarcinilor pe osii la locomotiva electrică 040 - EC (tip Bo-Bo) din parcul CFR în perioada de demaraj. Rev. Transporturilor și telecomunicaţiilor, 2, 1976.
15. Corbeiller Ph. - Les systèmes auto - entretenues et les oscillations de relaxation. Paris, Hermann, 1931.
16. Dincă F., Teodosiu C. - Vibraţii neliniare şi aleatorie. Ed. Acad. RSR, Bucureşti, 1969.
17. Dimitrov B. - On the damping of the stick-slip motion and the variation of its characteristics. Rev. Roum. Sci. Techn. Méc. Appl., Tome 14, nr. 5, 1969.
18. Den Hartog J.P. - Mechanical Vibrations. Mc. Graw-Hill Book Company, New York, 1957.
19. Eber W.G., Hunter Shu. - Coefficient of static friction under statically dynamically applied loads. Wear, 4, 1961.
20. Etienne M. - Système de traction utilisant le moteur asynchrone alimenté en fréquence variable. Revue Générale des chemins de fer, 7/8, 1969.
21. Frederick F. - Beitrag zur Untersuchung der Kraftschlussbeanspruchungen an schrägrollenden Schienenfahrzeugrädern. Teză de doctorat la Technische Universität Braun-Schweig.

22. Groșanu I., Roșca G. - Studiul autovibrățiilor ținind seama de interacțiunea cu motorul electric de acționare. Lucrări științifice, seria A, Institutul de învățămînt superior Oradea, 1976.
23. Görlich D. - Teoretische Untersuchung der Schwingungsvorgänge beim Schalten von Reibkupplungen. Teză de doctorat, Karlsruhe, 1968.
24. Hamburger L., Buzdugan Gh.- Teoria vibrațiilor și aplicațiile ei în construcția mașinilor. Ed. Tehnică, București, 1958.
25. Hofmann H., Schmidt H.- Über Einflussgrößen auf den stick-slip Effekt. Maschinenbautechnik 10, 1961.
26. Holban H. - Contribuții la studiul fenomenelor de patinaj ale locomotivelor diesel cu transmisie hidrodinamică și stabilitatea procedeelor optime de detectare și evitare. Teză de doctorat susținută la I.P.Timișoara, 1974.
27. Influența oscilațiilor datorită fenomenului de stick-slip asupra ruperilor de torsiune ale osiilor locomotivelor electrice 060-EA de 5100 KW. Contract de cercetare I.P. Timișoara - I.M.R. Reșița, nr. 211, 1975, responsabil temă prof. Emerit Ing. Ioan Zăgănescu.
28. Jerzy Madej - Criteriile dinamice de formare a caracteristicilor active ale vehiculului de tractiune (în limbă polonă). Al. IV-lea simpozion științific, vehicule feroviare, Warszawa - Halin, 1975.
29. Kalker J.J. - Rolling with Slip and Spin in the Presence of Dry Friction. Wear, Nr. 9, 1966.
30. Klepp H.J. - Studiul autooscilațiilor cvasiarmonice datorită frecării uscate. Studii și cercetări de mecanică aplicată. Tom 3032, 1971.
31. Kolerus J. - Notwendige Bedingungen zur Vermeidung Stationärer Stick-Slip Schwingungen in Lokomotivantrieben. Glasers Annalen, 10, 1973.

32. Kolerus J. - Stabilitätsbedingungen zur Vermeidung von Stick-Slip-Schwingungen in Lokomotiv-Antrieb. Glasers Annalen, 3, 1975.
33. Körner E. - Reibschwingungen eines elektrischen Triebfahrzeuges an der Haftgrenze. Glasers Annalen, 8/9, 1977.
34. Leven W. - Die Reibung Zwischen Rad und Schiene. Organ Nr.21-1/15.11.41.
35. Mihăilescu D. - Contribuții cu privire la utilizarea transmisiei în curenț alternativ la locomotive cu motoare termice. Teză de doctorat. 1977.
36. Niemann G., Ehrlenspiel K. - Anlaufreibung und Stick-Slip bei Gleitparungen. V.D.L-Zeitschrift, nr.6, 1963.
37. Nicolescu E. - Comportarea mașinilor asincrone trifazate la variația turăției prin variația frecvenței tensiunii de alimentare. Electrotehnica, nr.1 1972.
38. Nouvion M., Bernard M. - Connaissances nouvelles sur l'adhérence des locomotives électriques. Revue Générale des chemins de fer, 3, 1961.
39. Pavelescu D., Dimitrov B. - Cu privire la stadiul actual al cercetărilor asupra mișcării sacadate. Studii și cercetări de mecanică aplicată. Tom 29, 2, 1970.
40. Pavelescu D. - Dependence of friction and stick-slip on the main wear factors. Rev.Roum.Sci.Techn.Méc.Appl.Tome 13,1, 1969.
41. Popa Al. - Comanda și reglarea automată a vehiculelor de tractiune feroviară. Ed.CDPT-MTTC, București, 1974.

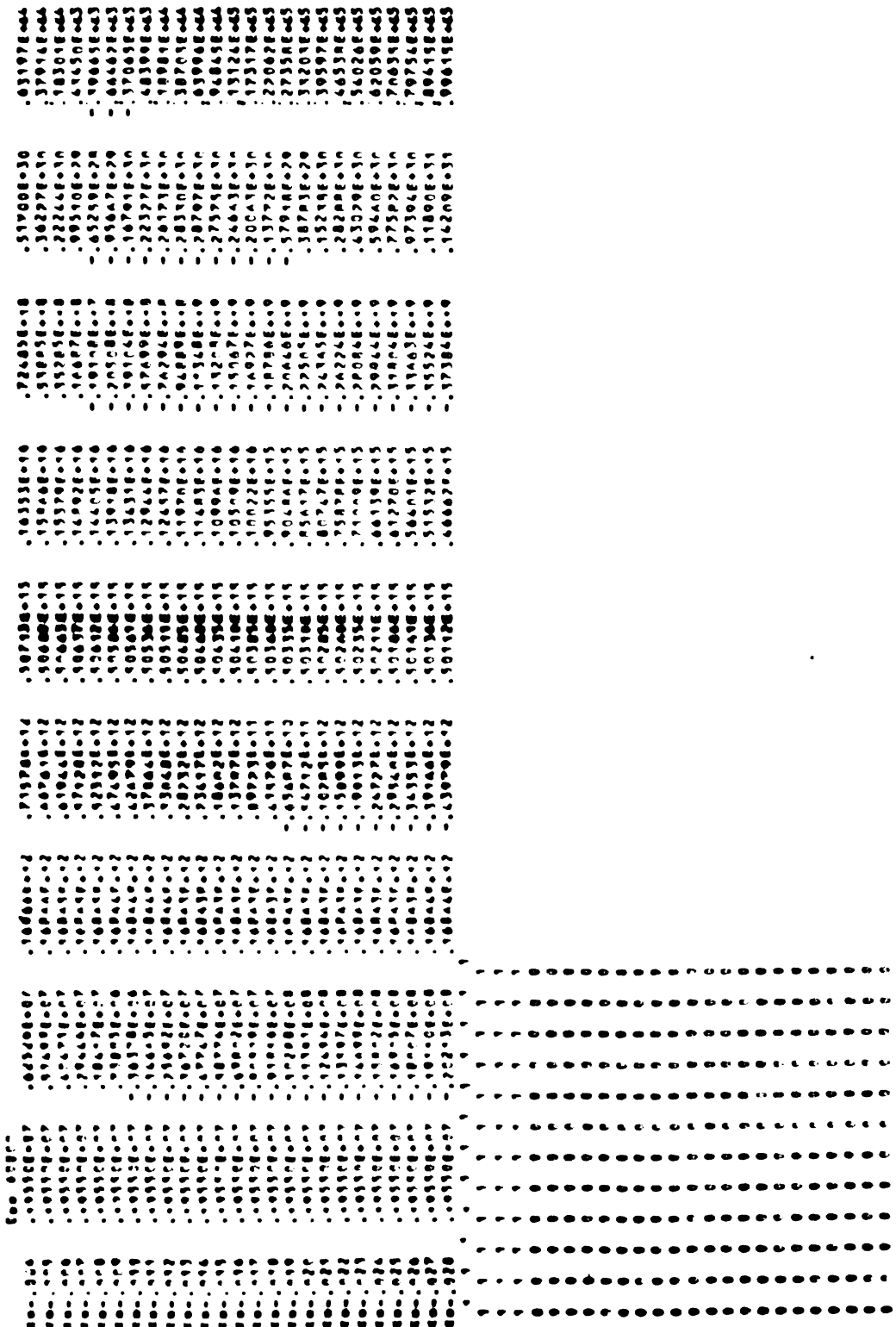
42. Popa Al., Condacse N. - Probleme generale ale transmisiilor electrice în curent alternativ pe locomotive cu motoare termice. Revista căilor ferate, 4, 1972.
43. Rahn Theo - Zugkraftübertragung und Reibsch-Wingungen in Sekundärsystem diesel hydraulischer Lokomotiven mit Kardanwellentrieb. Archiv für Eisenbahntechnik, Folge 27, Nov., 1972.
44. Sebeșan I., Dîndăreanu D., Boșianu L. - Studiul regimului transitoriu electromecanic al motorului electric de tractiune și influența acestui regim asupra modului de reglare a vitezei locomotivei electrice. Rev. Transporturilor și telecomunicațiilor, 1, 1974.
45. Sebeșan I. - Contribuții la studiul fenomenului de stick-slip la vehiculele de tractiune. Rev. Transporturilor și telecomunicațiilor, 3, 1975.
46. Sebeșan I. - Influența fenomenului de stick-slip asupra parametrilor sistemului de antrenare ale vehiculului de tractiune. Buletinul I.P.București, 1, 1976.
47. Sebeșan I. - Asupra unor aspecte ale funcționării în comun a elementelor sistemului de transmitere a puterii în curent alternativ al unei locomotive cu turbină cu gaze. Buletinul I.P.București, 3, 1977..
48. Schröter H., Schönenberger A. - Gleitvorgänge zwischen Rad und Schiene bei Dieseltrieb-fahrzeugen und Gegenmassnahmen durch Schrutzgeräte. E.T.R.H.3, 1974.
49. Silaș Gh. - Metode și rezultate noi în studiul sistemelor viborpercutante generale cu un grad de libertate și a vibrațiilor cu caracteristici neliniare. Teză de doctorat, Iași, 1971.

50. Stocker J.J. - Nonlinear Vibrations in Mechanical and Electrical Systems. Interscience Publishers, Inc., New York, 1966.
51. Taran T. - Cercetări privind influența fenomenului de stick-slip asupra solicitărilor de torsiune în osiile locomotivelor diesel electrice. Comunicare la sesiunea de comunicări științifice I.C.P.T.T., 1979.
52. Teich W. - Dieselelektronische Triebfahrzeuge mit schleifringlosen Asynchronfahrmotoren. Elektrische Bahnen, 4, 1972.
53. Teich W. - BBC - Asynchronmotor - Antrieb für Diesellokomotiven Ein Baukastensystem für viele Leistungsklassen. E.T.R., 5, 1974.
54. Teich W. - Elektrische Übertragung für Diesel und Gasturbinenfahrzeuge mit Umrichter und Asynchronmotoren. Glasers Annalen, 7/8, 1971.
55. Verbeck A. - Connaissances actuelles de l'adhérence et son utilisation. Rail International, 5, 1973.
56. Weinrich G.,... - Sisteme de reglare unificate pentru procese rapide. Ed. Tehnică, Bucureşti, 1970.
57. Zăgănescu I., - Locomotive și automotoare cu motoare termice. Ed. Didactică și Pedagogică, Bucureşti, 1972.
58. Zăgănescu I. - Utilizarea greutății de aderență la locomotiva electrică CFR-060-EA. Buletinul I.P. Bucureşti, 4, 1971.
59. Zăgănescu I., Sebeșan I. - The study of the stick-slip oscillations of the lokomotive. IV Vedecka Konferencia Vysokej Skoly Dopravnej, Zilina, 1973.

60. Zăgănescu I., Sebeșan I. - Influența fenomenului de stick-slip asupra oscilațiilor torsionale ale osiilor locomotivelor electrice 060-EA de 5100 KW. Sesiunea de comunicări științifice, I.R.București, 1979.
61. Zăgănescu I., Sebeșan I. - Influența oscilațiilor de stick-slip asupra ruperilor de torsiune ale osiilor locomotivelor electrice. Buletin I.P.Timișoara, fasc.1, 1979.
62. Zăgănescu I., Sebeșan I. - Contribuții asupra stabilității oscilațiilor de stick-slip la locomotive. Conferința specialiștilor în fricare ungere, uzare, TRIBOTEHNICA '80, Hunedoara, 16-17 mai 1980.

蒙古文

Анекса А.1.2



Anexa A.2

i	μ_i	$v_{ai} [\text{ms}^{-1}]$	$1/v_{ai}$	μ_i/v_{ai}^2	μ_i/v_{ai}
1	0,45	0,8	1,25	1,5625	0,5625
2	0,4	1	1	1	0,4
3	0,36	1,2	0,8333	0,694	0,3
4	0,335	1,5	0,6666	0,4444	0,2233
5	0,3	1,65	0,606	0,3673	0,1818
6	0,28	1,8	0,5555	0,3086	0,1555
7	0,265	2	0,5	0,25	0,1325
8	0,25	2,4	0,4166	0,1736	0,1041
9	0,215	3	0,3333	0,1113	0,0716
10	0,17	4	0,25	0,0625	0,0425
11	0,15	5	0,2	0,04	0,03
12	0,12	6	0,1666	0,0277	0,02
13	0,1	8	0,125	0,0156	0,0125
14	0,085	10	0,1	0,01	0,0085
15	0,08	15	0,0666	0,0044	0,0053
16	0,07	20	0,05	0,0025	0,0035
17	0,06	40	0,025	0,0006	0,0015
Σ	3,69		7,145	5,075	2,25

$$a = \frac{17 \cdot 2,25 - 7,145 \cdot 3,69}{17 \cdot 5,075 - 51,051} = 0,3375 \text{ ms}^{-1}$$

$$b = \frac{5,075 \cdot 3,69 - 7,145 \cdot 2,25}{17 \cdot 5,075 - 51,051} = 0,0752$$

Anexa - A 3

```

1 C CALCULUL OSCILATIILOR DE STICHE-SETIP CU METODA RUNGHE-KUTTA
2
3 P(KAL, T1, T2, T3, M, MN) INP
4 D(T1, T2, T3, M, MN) INP
5 U(T1, T2, T3, M, MN) INP
6 A1=F1(T1,M,N)
7 A2=F2(T1,M,N)
8 A3=F3(T1,M,N)
9 A4=F4(T1,M,N)
10 A5=F5(T1,M,N)
11 A6=F6(T1,M,N)
12 A7=F7(T1,M,N)
13 A8=F8(T1,M,N)
14 A9=F9(T1,M,N)
15 A10=F10(T1,M,N)
16 A11=F11(T1,M,N)
17 A12=F12(T1,M,N)
18 A13=F13(T1,M,N)
19 A14=F14(T1,M,N)
20 A15=F15(T1,M,N)
21 A16=F16(T1,M,N)
22 A17=F17(T1,M,N)
23 A18=F18(T1,M,N)
24 A19=F19(T1,M,N)
25 A20=F20(T1,M,N)
26 A21=F21(T1,M,N)
27 A22=F22(T1,M,N)
28 A23=F23(T1,M,N)
29 A24=F24(T1,M,N)
30 A25=F25(T1,M,N)
31 A26=F26(T1,M,N)
32 A27=F27(T1,M,N)
33 A28=F28(T1,M,N)
34 A29=F29(T1,M,N)
35 A30=F30(T1,M,N)
36 G1=T0((100,200,300,400))IN
37 A1=F1(1)/4+H/2*x1(1)
38 A2=F2(1)/4+H/2*x2(1)
39 A3=F3(1)/4+H/2*x3(1)
40 A4=x4(1)+H/2*x4(1)
41 H2=x2(1)+H/2*x5(1)
42 H3=x3(1)+H/2*x6(1)
43 H4=x4(1)+H/2*x7(1)
44 G1=T0((100,200,300,400))IN
45 A1=A1+H/4*K1(1)
46 A2=A2+H/4*K2(1)
47 A3=A3+H/4*K3(1)
48 A4=A4+H/4*K4(1)

```

FORTRAN 00.00 9-2EFLU1 10/04/80 21.49.47

```

48 H\$X\$3(1)+P(2)/2
49 GO TO(100,200,300,400)1
50 K=4
51 A1=F(1)+H\$X\$1(1)+H/2+T(2)
52 A2=F(2)+H\$X\$2(1)+H/2+T(2)
53 A3=F(3)+H\$X\$3(1)+H/2+T(2)
54 H1=X(1)+T(3)
55 H2=X(2)+T(4)
56 H3=X(3)+T(5)
57 GO TO(100,200,300,400)1N
58
59 x1(1+1)=x1(1)+T(1)+2*T(2)+2*T(3)+T(4))/6
60 x2(1+1)=x2(1)+T(1)+2*T(2)+2*T(3)+T(4))/6
61 x3(1+1)=x3(1)+T(1)+2*T(2)+2*T(3)+T(4))/6
62 F1(1+1)=F1(1)+H\$X\$1(1)+H/H0(T(1))+T(2)+T(3)
63 F2(1+1)=F2(1)+H\$X\$2(1)+H/H0(T(1))+T(2)+T(3)
64 F3(1+1)=F3(1)+H\$X\$3(1)+H/H0(T(1))+T(2)+T(3)
65 V=H\$X\$1(1)-H\$X\$2(1)+H\$X\$3(1)
66
67 G1=H\$X\$1(1)+H\$X\$2(1)+H\$X\$3(1)+H\$X\$4(1)+H\$X\$5(1)+V
68 F1H=H\$X\$1(1)+H\$X\$2(1)+H\$X\$3(1)+H\$X\$4(1)+H\$X\$5(1)+V
69 I1=(AHS(X2(1)+V/H)-1.31366)(1,1,1,1,1,12)
70 I2=(AHS(X3(1)+V/H)-1.31366)(1,1,1,1,14)
71 I3=(AHS(X4(1)+V/H)-1.31366)(1,1,1,16,16)
72
73 GO TO 90
74 14 T#01
75 GO TO 90
76 15 T#03
77 GO TO 90
78 16 T#04
79 GO TO 90
80
81 T(1)=H\$X\$1(1)+(-C1*(A1-A2))-(A2/(1,-$1.360H)+H)*H0*(H1-V/H)*H/1,-$1.361
82 H(H0)/120*(1*(A1-A2))+C36*(H1-H0*A2)-(A2/(AHS(H2-V/H))/H0)*H0*(H1-V/H)*H/1,-$1.361
83 *H(H2-V/H)/(AHS(H2-V/H))
84 P(A1)=H\$X\$1(1)+(-C1*(A1-U0*A2))+H0*(H1-V/H)*H/1,-$1.361
85
86 GO TO(100,200,300,400)1
87
88 200 T(1)=H\$X\$1(1)+(-C1*(A1-A2))-(A2/(1,-$1.360H)+H)*H0*(H1-V/H)*H/1,-$1.361
89 H(H0)/120*(1*(A1-A2))+C36*(H1-H0*A2)-(A2/(1,-$1.360H)+H)*H0*(H2-V/H)*H/1,-$1.361
90 *H(H1-V/H)
91 P(A1)=H\$X\$1(1)+(-C1*(A1-U0*A2))+H0*(H1-V/H)*H/1,-$1.361
92
93 GO TO(100,200,300,400)1
94
95 300 T(1)=H\$X\$1(1)+(-C1*(A1-A2))-(A2/(AHS(H1-V/H))/H0)*G0*(H1-V/H)/(AHS(H1-V/H))
96 G0=H(H0)/120*(1*(A1-A2))+C36*(H1-H0*A2)-(A2/(1,-$1.360H)+H)*H0*(H2-V/H)*H/1,-$1.361
97 *H(H1-V/H)
98 P(A1)=H\$X\$1(1)+(-C1*(A1-U0*A2))+H0*(H1-V/H)*H/1,-$1.361
99
100 GO TO(100,200,300,400)1

```

PORTMAN 00.00 60 100122343 9-28-HL01 10/04/80 21.40.47

```

95     0.00 T((z)-B)/((1-z)(-C+z)(1-z^2))-(A/(A+B(z-1+z^2)))/B+(B/(1-z^2))/C+(B/(1-z))
96     -(B/(1-z^2)))
97     B((1-z)^2)/((1-z)(-C+z)(1-z^2))+(B/(A+B(z-1+z^2)))/B+(B/(1-z^2))/C+(B/(1-z))
98     +(B/(1-z^2)))
99     B((1-z)^2)/((1-z)(-C+z)(1-z^2))+(B/(A+B(z-1+z^2)))/B+(B/(1-z^2))/C+(B/(1-z))
100    +(B/(1-z^2)))

```

2022-01-12 09:59 21-20-27

P3-WP2

P1-WP2

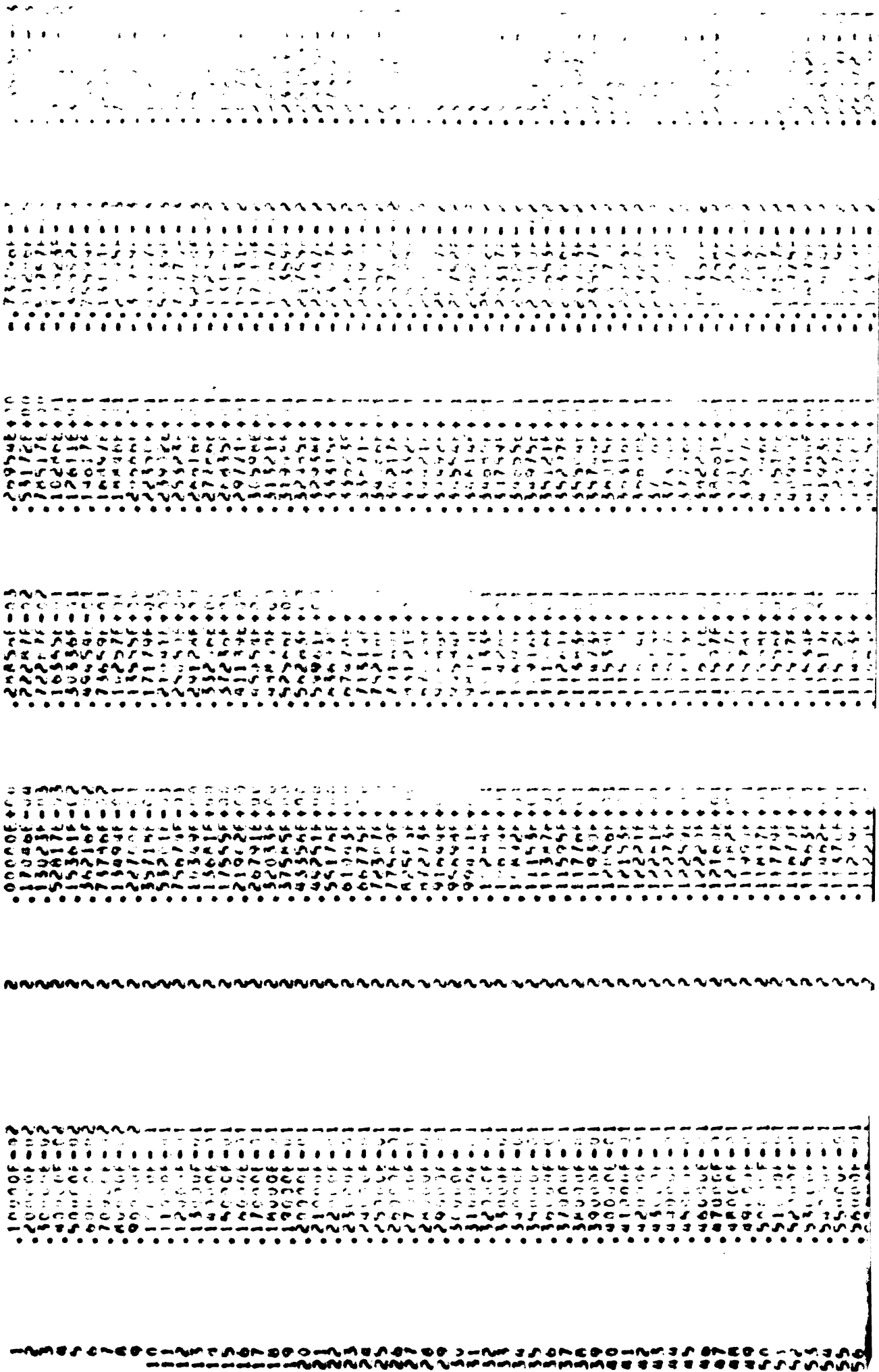
X3

X2

X1

SISTEMI

TIME



1 2 3 4 5 6 7 8 9 10 11 12 13 14 15 16 17 18 19 20 21 22 23 24 25 26 27 28 29 30 31 32 33 34 35 36 37 38 39 40 41 42 43 44 45 46 47 48 49 50 51 52 53 54 55 56 57 58 59 60 61 62 63 64 65 66 67 68 69 70 71 72 73 74 75 76 77 78 79 80 81 82 83 84 85 86 87 88 89 90 91 92 93 94 95 96 97 98 99 100

1 2 3 4 5 6 7 8 9 10 11 12 13 14 15 16 17 18 19 20 21 22 23 24 25 26 27 28 29 30 31 32 33 34 35 36 37 38 39 40 41 42 43 44 45 46 47 48 49 50 51 52 53 54 55 56 57 58 59 60 61 62 63 64 65 66 67 68 69 70 71 72 73 74 75 76 77 78 79 80 81 82 83 84 85 86 87 88 89 90 91 92 93 94 95 96 97 98 99 100

1 2 3 4 5 6 7 8 9 10 11 12 13 14 15 16 17 18 19 20 21 22 23 24 25 26 27 28 29 30 31 32 33 34 35 36 37 38 39 40 41 42 43 44 45 46 47 48 49 50 51 52 53 54 55 56 57 58 59 60 61 62 63 64 65 66 67 68 69 70 71 72 73 74 75 76 77 78 79 80 81 82 83 84 85 86 87 88 89 90 91 92 93 94 95 96 97 98 99 100

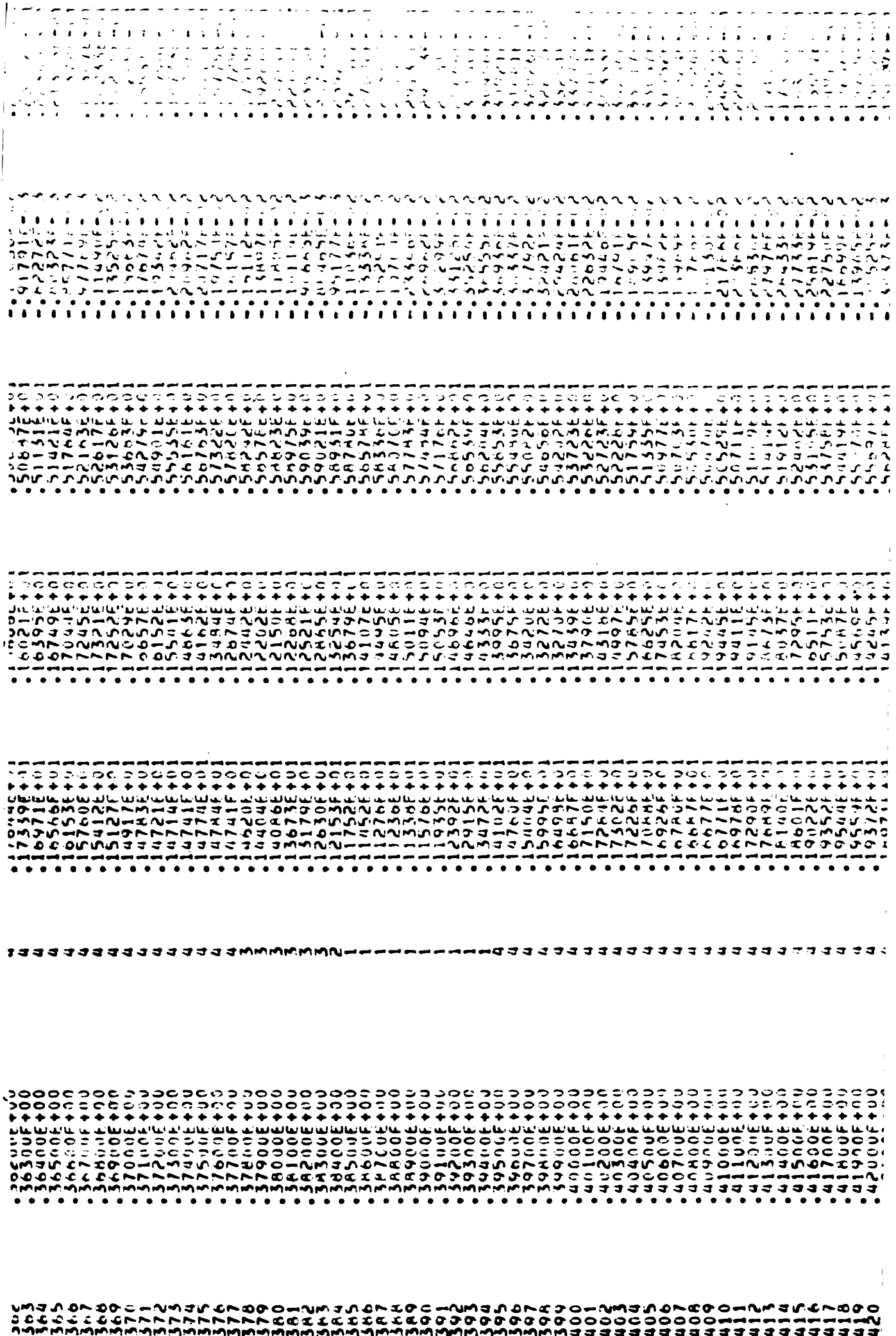
1 2 3 4 5 6 7 8 9 10 11 12 13 14 15 16 17 18 19 20 21 22 23 24 25 26 27 28 29 30 31 32 33 34 35 36 37 38 39 40 41 42 43 44 45 46 47 48 49 50 51 52 53 54 55 56 57 58 59 60 61 62 63 64 65 66 67 68 69 70 71 72 73 74 75 76 77 78 79 80 81 82 83 84 85 86 87 88 89 90 91 92 93 94 95 96 97 98 99 100

1 2 3 4 5 6 7 8 9 10 11 12 13 14 15 16 17 18 19 20 21 22 23 24 25 26 27 28 29 30 31 32 33 34 35 36 37 38 39 40 41 42 43 44 45 46 47 48 49 50 51 52 53 54 55 56 57 58 59 60 61 62 63 64 65 66 67 68 69 70 71 72 73 74 75 76 77 78 79 80 81 82 83 84 85 86 87 88 89 90 91 92 93 94 95 96 97 98 99 100

~~~~~

1 2 3 4 5 6 7 8 9 10 11 12 13 14 15 16 17 18 19 20 21 22 23 24 25 26 27 28 29 30 31 32 33 34 35 36 37 38 39 40 41 42 43 44 45 46 47 48 49 50 51 52 53 54 55 56 57 58 59 60 61 62 63 64 65 66 67 68 69 70 71 72 73 74 75 76 77 78 79 80 81 82 83 84 85 86 87 88 89 90 91 92 93 94 95 96 97 98 99 100

~~~~~

—Алехин А. С. 3—

BISTEM

TUTTI

3

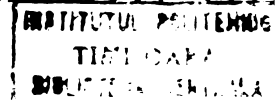
3

四三二

10. The following is a list of the names of the members of the Board of Directors of the Company as of December 31, 1998:

0-233756749 0-123456789 0-233756749 0-123456789 0-123456789 0-123456789

BUPT
BAPTIST UNIVERSITY OF PUNJAB
Lahore, Pakistan



BUPT

BUPT

BUPT

BUPT

BUPT

BUPT

BUPT

Valorile extreme ale vitezelor unghiulare $\dot{\varphi}$ și $\dot{\varphi}_r$
calculate cu metoda Runge-Kutta pentru sistemul cu
două mase

t [s]	$\dot{\varphi}$ [rad s ⁻¹]	$\dot{\varphi}_r$ [rad s ⁻¹]	t [s]	$\dot{\varphi}$ [rad s ⁻¹]	$\dot{\varphi}_r$ [rad s ⁻¹]
0,041	1,160791	3,6202817	0,808	2,858582	5,261326
0,056	1,089406	4,391312	0,83	0,919585	8,803859
0,087	1,313930	4,575891	0,855	2,942155	5,237587
0,107	1,273653	4,781944	0,877	0,899168	8,978293
0,14	1,338213	4,786531	0,902	3,002243	5,213557
0,16	1,304714	4,880143	0,925	0,888911	9,076567
0,188	1,367981	4,840474	0,95	5,041991241	5,281337193
0,21	1,307494	4,979272	0,972	0,872703	9,203751
0,236	1,415222	4,876806	0,997	3,085547	5,252725
0,259	1,300155	5,120542	1,019	0,860339	9,307249
0,285	1,484148	4,924125	1,044	3,120073	5,225629
0,307	1,283599	5,323890	1,067	0,857533	9,343358
0,333	1,599153	4,964684	1,092	3,137268	5,294522
0,355	1,259261	5,592085	1,114	0,846909	9,421306
0,381	1,699040	5,014166	1,139	3,163293	5,263256
0,403	1,228513	5,918630	1,161	0,839118	9,484004
0,428	1,842638	5,030292	1,186	3,183373	5,234099
0,45	1,189625	6,307723	1,209	0,840999	9,484230
0,476	1,995751	5,089309	1,233	3,198080	5,209707
0,498	1,180136	6,697629	1,256	0,833375	9,535243
0,523	2,155932	5,096816	1,281	3,204066	5,271841
0,546	1,112203	7,077835	1,303	0,828112	9,576171
0,571	2,306685	5,160985	1,328	3,216496	5,241200
0,593	1,068655	7,471310	1,351	0,832779	9,556150
0,618	2,452422	5,157321	1,375	3,225049	5,215732
0,641	1,036368	7,790756	1,398	0,826573	9,593095
0,666	2,575528	5,224974	1,423	3,224897	5,279452
0,688	0,998213	8,115443	1,445	0,822541	9,622889
0,713	2,692716	5,210768	1,47	3,233482	5,247482
0,735	0,965866	8,397104	1,493	0,828544	9,594832
0,76	2,792678	5,193826	1,517	3,240218	5,221165
0,783	0,9451448143	8,594028397	1,54	0,822992	9,624057
			1,565	3,236184962	5,286489662

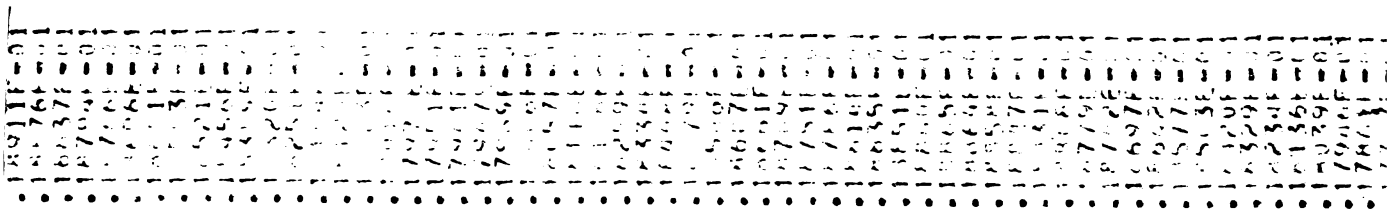
$$A_L = \frac{4}{\pi} \cdot \frac{1}{c_F} = 50000 \text{ Nm}$$

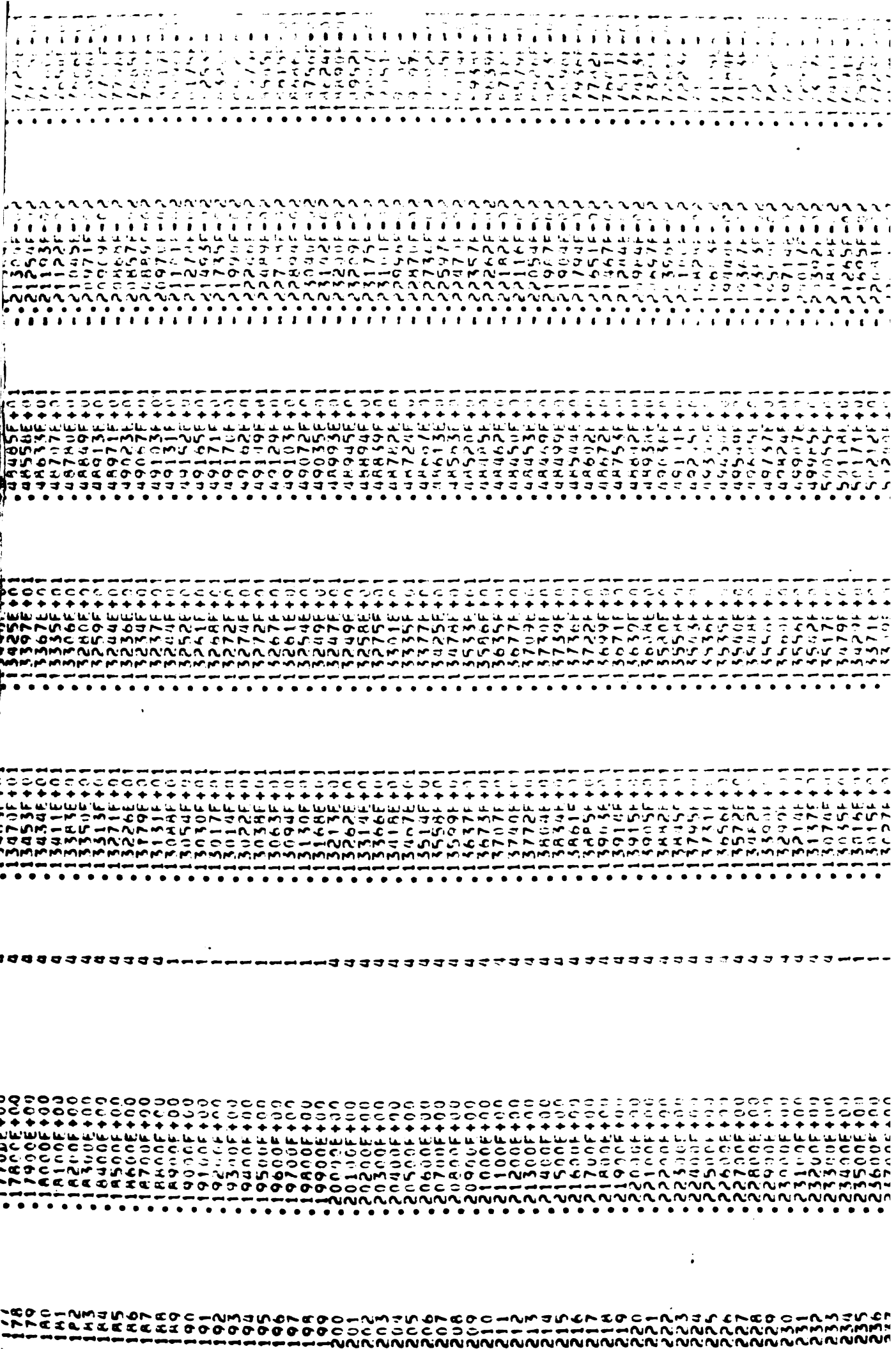
SISTEM

TIP

F1-F2

સુન-ગત

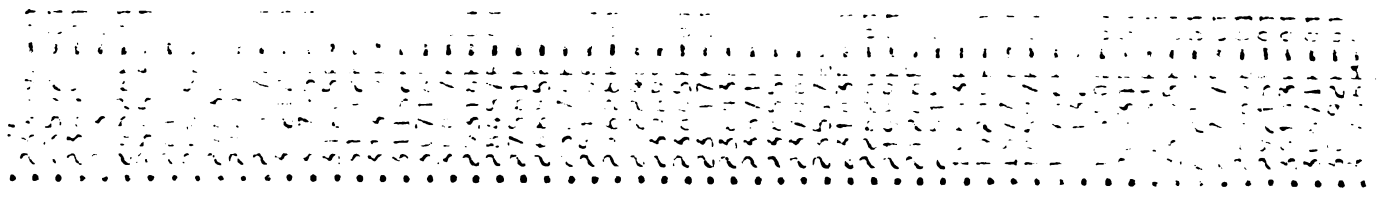




$$I_y = 30 \text{ kgm}^2$$

... בְּנֵי יִשְׂרָאֵל וְבְנֵי יִהוָה
... בְּנֵי יִשְׂרָאֵל וְבְנֵי יִהוָה

କାନ୍ଦିଲା କାନ୍ଦିଲା କାନ୍ଦିଲା କାନ୍ଦିଲା କାନ୍ଦିଲା କାନ୍ଦିଲା କାନ୍ଦିଲା କାନ୍ଦିଲା



A decorative horizontal border at the bottom of the page, consisting of a repeating pattern of small, dark, diamond-shaped or star-like motifs arranged in a grid-like fashion.

BUPT

BUPT

BUPT

BUPT

BUPT

BUPT

BUPT

Anexão A.5.1

TRAN 00.00

SAPTE-01 02/09/06 10.11.53

```

48      X1=2*X1(1)+X1(2)/2
49      X2=2*X1(3)+X1(4)+X1(5)+X1(6)+X1(7)+X1(8)
50
51      S=X1
52      A1=X1(1)+X1(2)+X1(3)+X1(4)+X1(5)+X1(6)+X1(7)+X1(8)
53      A2=X1(2)+X1(3)+X1(4)+X1(5)+X1(6)+X1(7)+X1(8)
54      A3=X1(3)+X1(4)+X1(5)+X1(6)+X1(7)+X1(8)
55      A4=X1(4)+X1(5)+X1(6)+X1(7)+X1(8)
56      A5=X1(5)+X1(6)+X1(7)+X1(8)
57      A6=X1(6)+X1(7)+X1(8)
58      A7=X1(7)+X1(8)
59
60      E1=X1(1)+X1(2)+X1(3)+X1(4)+X1(5)+X1(6)+X1(7)+X1(8)
61      E2=X1(2)+X1(3)+X1(4)+X1(5)+X1(6)+X1(7)+X1(8)
62      E3=X1(3)+X1(4)+X1(5)+X1(6)+X1(7)+X1(8)
63      E4=X1(4)+X1(5)+X1(6)+X1(7)+X1(8)
64      E5=X1(5)+X1(6)+X1(7)+X1(8)
65      E6=X1(6)+X1(7)+X1(8)
66      E7=X1(7)+X1(8)
67
68      F1=X1(1)+X1(2)+X1(3)+X1(4)+X1(5)+X1(6)+X1(7)+X1(8)
69      F2=X1(2)+X1(3)+X1(4)+X1(5)+X1(6)+X1(7)+X1(8)
70      F3=X1(3)+X1(4)+X1(5)+X1(6)+X1(7)+X1(8)
71      F4=X1(4)+X1(5)+X1(6)+X1(7)+X1(8)
72      F5=X1(5)+X1(6)+X1(7)+X1(8)
73      F6=X1(6)+X1(7)+X1(8)
74      F7=X1(7)+X1(8)
75
76      G1=X1(1)+X1(2)+X1(3)+X1(4)+X1(5)+X1(6)+X1(7)+X1(8)
77      G2=X1(2)+X1(3)+X1(4)+X1(5)+X1(6)+X1(7)+X1(8)
78      G3=X1(3)+X1(4)+X1(5)+X1(6)+X1(7)+X1(8)
79      G4=X1(4)+X1(5)+X1(6)+X1(7)+X1(8)
80      G5=X1(5)+X1(6)+X1(7)+X1(8)
81      G6=X1(6)+X1(7)+X1(8)
82      G7=X1(7)+X1(8)
83
84      H1=X1(1)+X1(2)+X1(3)+X1(4)+X1(5)+X1(6)+X1(7)+X1(8)
85      H2=X1(2)+X1(3)+X1(4)+X1(5)+X1(6)+X1(7)+X1(8)
86      H3=X1(3)+X1(4)+X1(5)+X1(6)+X1(7)+X1(8)
87      H4=X1(4)+X1(5)+X1(6)+X1(7)+X1(8)
88      H5=X1(5)+X1(6)+X1(7)+X1(8)
89      H6=X1(6)+X1(7)+X1(8)
90      H7=X1(7)+X1(8)

```

TIP	SISTEM	X1		X2		X3	
		F1-F2	F3-UF2	F1-F2	F3-UF2	F1-F2	F3-UF2
112	• 11200E+00	• 67388F+00	• 42474F+01	• 55004F+01	• 55004F+01	• 55004F+01	• 55004F+01
113	• 11300F+00	• 67685F+00	• 42368F+01	• 55337F+01	• 55337F+01	• 55337F+01	• 55337F+01
114	• 11400F+00	• 87141E+00	• 42559E+01	• 55566F+01	• 55566F+01	• 55566F+01	• 55566F+01
115	• 11500F+00	• 91675F+00	• 42152E+01	• 55145F+01	• 55145F+01	• 55145F+01	• 55145F+01
116	• 11600F+00	• 96185E+00	• 42045E+01	• 55902F+01	• 55902F+01	• 55902F+01	• 55902F+01
117	• 11700F+00	• 10066F+01	• 41940F+01	• 54804F+01	• 54804F+01	• 54804F+01	• 54804F+01
118	• 11800F+00	• 10511F+01	• 41437E+01	• 54277F+01	• 54277F+01	• 54277F+01	• 54277F+01
119	• 11900F+00	• 10952E+01	• 41735F+01	• 53918F+01	• 53918F+01	• 53918F+01	• 53918F+01
120	• 12000F+00	• 11388F+01	• 41635F+01	• 53499F+01	• 53499F+01	• 53499F+01	• 53499F+01
121	• 12100F+00	• 11820E+01	• 41537E+01	• 53064F+01	• 53064F+01	• 53064F+01	• 53064F+01
122	• 12200F+00	• 12247E+01	• 41440E+01	• 52578F+01	• 52578F+01	• 52578F+01	• 52578F+01
123	• 12300F+00	• 12669F+01	• 41346E+01	• 52097F+01	• 52097F+01	• 52097F+01	• 52097F+01
124	• 12400E+00	• 13083E+01	• 41255E+01	• 51525F+01	• 51525F+01	• 51525F+01	• 51525F+01
125	• 12500F+00	• 13493F+01	• 41165E+01	• 51455F+01	• 51455F+01	• 51455F+01	• 51455F+01
126	• 12600F+00	• 13896E+01	• 41079E+01	• 50347F+01	• 50347F+01	• 50347F+01	• 50347F+01
127	• 12700E+00	• 14292E+01	• 40995E+01	• 49717E+01	• 49717E+01	• 49717E+01	• 49717E+01
128	• 12800E+00	• 14682E+01	• 40914E+01	• 49761F+01	• 49761F+01	• 49761F+01	• 49761F+01
129	• 12900F+00	• 14906E+01	• 40846F+01	• 49563F+01	• 49563F+01	• 49563F+01	• 49563F+01
130	• 13000F+00	• 15120F+01	• 40761F+01	• 47704F+01	• 47704F+01	• 47704F+01	• 47704F+01
131	• 13100E+00	• 15341E+01	• 40690E+01	• 47124E+01	• 47124E+01	• 47124E+01	• 47124E+01
132	• 13200F+00	• 15561E+01	• 40623E+01	• 46535F+01	• 46535F+01	• 46535F+01	• 46535F+01
133	• 13300F+00	• 15755F+01	• 40559E+01	• 45663F+01	• 45663F+01	• 45663F+01	• 45663F+01
134	• 13400E+00	• 15954E+01	• 40499F+01	• 44951F+01	• 44951F+01	• 44951F+01	• 44951F+01
135	• 13500F+00	• 16147F+01	• 40444E+01	• 44298F+00	• 44298F+00	• 44298F+00	• 44298F+00
136	• 13600E+00	• 16334F+01	• 40393E+01	• 44402E+00	• 44402E+00	• 44402E+00	• 44402E+00
137	• 13700F+00	• 16516F+01	• 40346E+01	• 44250F+00	• 44250F+00	• 44250F+00	• 44250F+00
138	• 13800E+00	• 16692F+01	• 40355F+01	• 44444E+00	• 44444E+00	• 44444E+00	• 44444E+00
139	• 13900F+00	• 16862F+01	• 40326F+01	• 44526F+00	• 44526F+00	• 44526F+00	• 44526F+00
140	• 14000F+00	• 17026F+01	• 40256F+01	• 44658F+00	• 44658F+00	• 44658F+00	• 44658F+00
141	• 14100E+00	• 17194E+01	• 40209F+01	• 44818F+00	• 44818F+00	• 44818F+00	• 44818F+00
142	• 14200F+00	• 17337F+01	• 40158E+01	• 44917F+00	• 44917F+00	• 44917F+00	• 44917F+00
143	• 14300F+00	• 17484F+01	• 40127F+01	• 45127F+00	• 45127F+00	• 45127F+00	• 45127F+00
144	• 14400F+00	• 17625F+01	• 40135F+01	• 45287F+00	• 45287F+00	• 45287F+00	• 45287F+00
145	• 14500F+00	• 17768F+01	• 40156F+01	• 45447F+00	• 45447F+00	• 45447F+00	• 45447F+00
146	• 14600F+00	• 17890F+01	• 40159E+01	• 45596F+00	• 45596F+00	• 45596F+00	• 45596F+00
147	• 14700F+00	• 18014F+01	• 40166F+01	• 45746F+00	• 45746F+00	• 45746F+00	• 45746F+00
148	• 14800F+00	• 18135F+01	• 40169F+01	• 45896F+00	• 45896F+00	• 45896F+00	• 45896F+00
149	• 14900F+00	• 18274F+01	• 40172F+01	• 45946F+00	• 45946F+00	• 45946F+00	• 45946F+00
150	• 15000F+00	• 18412F+01	• 40226F+01	• 46096F+00	• 46096F+00	• 46096F+00	• 46096F+00
151	• 15100F+00	• 18551F+01	• 40297F+01	• 46246F+00	• 46246F+00	• 46246F+00	• 46246F+00
152	• 15200F+00	• 18692F+01	• 40362F+01	• 46396F+00	• 46396F+00	• 46396F+00	• 46396F+00
153	• 15300F+00	• 18832F+01	• 40427F+01	• 46546F+00	• 46546F+00	• 46546F+00	• 46546F+00
154	• 15400F+00	• 18973F+01	• 40492F+01	• 46696F+00	• 46696F+00	• 46696F+00	• 46696F+00

• 20700E+00, • 287562+01 • 514682+01
• 20800E+00 • 26719E+01 • 51777E+01
• 20900E+00 • 26672E+01 • 52057F+01
• 21000E+00 • 26614E+01 • 52334E+01
• 21100E+00 • 26546E+01 • 52699E+01
• 21200E+00 • 26469E+01 • 52981E+01
• 21300E+00 • 26392E+01 • 53151E+01
• 21400E+00 • 26280E+01 • 53418E+01
• 21500E+00 • 26182E+01 • 53683E+01
• 21600E+00 • 26070E+01 • 53941E+01
• 21700E+00 • 25950E+01 • 54197E+01
• 21800E+00 • 25870E+01 • 54450E+01
• 21900E+00 • 25794E+01 • 54698E+01
• 22000E+00 • 25690E+01 • 54943E+01
• 22100E+00 • 25551E+01 • 55183E+01
• 22200E+00 • 25409E+01 • 55419E+01
• 22300E+00 • 25256E+01 • 55651E+01
• 22400E+00 • 25101E+01 • 55878E+01
• 22500E+00 • 25006E+01 • 56100E+01
• 22600E+00 • 24916E+01 • 56314E+01
• 22700E+00 • 24873E+01 • 56531F+01
• 22800E+00 • 24941E+01 • 56739E+01
• 22900E+00 • 24970E+01 • 56943E+01
• 23000E+00 • 24888E+01 • 57141E+01
• 23100E+00 • 24952E+01 • 57334E+01
• 23200E+00 • 24979E+01 • 57523E+01
• 23300E+00 • 24999E+01 • 57706E+01
• 23400E+00 • 25015E+01 • 57885F+01
• 23500E+00 • 25022E+01 • 58059E+01
• 23600E+00 • 25037E+01 • 58226E+01
• 23700E+00 • 25052E+01 • 58428E+01
• 23800E+00 • 25067E+01 • 58637F+01
• 23900E+00 • 25082E+01 • 58845F+01
• 24000E+00 • 25099E+01 • 59054F+01
• 24100E+00 • 25116E+01 • 59264F+01
• 24200E+00 • 25132E+01 • 59474F+01
• 24300E+00 • 25149E+01 • 59684F+01
• 24400E+00 • 25165E+01 • 59894F+01
• 24500E+00 • 25182E+01 • 60095F+01
• 24600E+00 • 25199E+01 • 60136F+01
• 24700E+00 • 25216E+01 • 60227E+01
• 24800E+00 • 25233E+01 • 60415F+01
• 24900E+00 • 25250E+01 • 60595F+01
• 25000E+00 • 25267E+01 • 60774F+01
• 25100E+00 • 25284E+01 • 60954F+01
• 25200E+00 • 25301E+01 • 61133F+01
• 25300E+00 • 25318E+01 • 61312F+01
• 25400E+00 • 25344E+01 • 61491F+01
• 25500E+00 • 25369E+01 • 61670F+01
• 25600E+00 • 25394E+01 • 61850F+01
• 25700E+00 • 25419E+01 • 61950F+01
• 25800E+00 • 25444E+01 • 62130F+01
• 25900E+00 • 25469E+01 • 62310F+01
• 26000E+00 • 25494E+01 • 62489F+01
• 26100E+00 • 25519E+01 • 62668F+01
• 26200E+00 • 25544E+01 • 62847F+01
• 26300E+00 • 25569E+01 • 63027F+01
• 26400E+00 • 25594E+01 • 63206F+01
• 26500E+00 • 25619E+01 • 63385F+01
• 26600E+00 • 25644E+01 • 63564F+01
• 26700E+00 • 25669E+01 • 63743F+01
• 26800E+00 • 25694E+01 • 63922F+01
• 26900E+00 • 25719E+01 • 64101F+01
• 27000E+00 • 25744E+01 • 64279F+01
• 27100E+00 • 25769E+01 • 64458F+01
• 27200E+00 • 25794E+01 • 64637F+01
• 27300E+00 • 25819E+01 • 64816F+01
• 27400E+00 • 25844E+01 • 65005F+01
• 27500E+00 • 25869E+01 • 65184F+01
• 27600E+00 • 25894E+01 • 65363F+01
• 27700E+00 • 25919E+01 • 65542F+01
• 27800E+00 • 25944E+01 • 65721F+01
• 27900E+00 • 25969E+01 • 65901E+01
• 28000E+00 • 25994E+01 • 66079F+01
• 28100E+00 • 26019E+01 • 66258F+01
• 28200E+00 • 26044E+01 • 66437F+01
• 28300E+00 • 26069E+01 • 66616F+01
• 28400E+00 • 26094E+01 • 66795F+01
• 28500E+00 • 26119E+01 • 66974F+01
• 28600E+00 • 26144E+01 • 67153F+01
• 28700E+00 • 26169E+01 • 67332F+01
• 28800E+00 • 26194E+01 • 67511F+01
• 28900E+00 • 26219E+01 • 67689F+01
• 29000E+00 • 26244E+01 • 67868F+01
• 29100E+00 • 26269E+01 • 68047F+01
• 29200E+00 • 26294E+01 • 68226F+01
• 29300E+00 • 26319E+01 • 68405F+01
• 29400E+00 • 26344E+01 • 68584F+01
• 29500E+00 • 26369E+01 • 68763F+01
• 29600E+00 • 26394E+01 • 68942F+01
• 29700E+00 • 26419E+01 • 69121F+01
• 29800E+00 • 26444E+01 • 69300F+01
• 29900E+00 • 26469E+01 • 69479F+01
• 30000E+00 • 26494E+01 • 69658F+01
• 30100E+00 • 26519E+01 • 69837F+01
• 30200E+00 • 26544E+01 • 70016F+01
• 30300E+00 • 26569E+01 • 70195F+01
• 30400E+00 • 26594E+01 • 70374F+01
• 30500E+00 • 26619E+01 • 70553F+01
• 30600E+00 • 26644E+01 • 70732F+01
• 30700E+00 • 26669E+01 • 70911F+01
• 30800E+00 • 26694E+01 • 71089F+01
• 30900E+00 • 26719E+01 • 71268F+01
• 31000E+00 • 26744E+01 • 71447F+01
• 31100E+00 • 26769E+01 • 71626F+01
• 31200E+00 • 26794E+01 • 71805F+01
• 31300E+00 • 26819E+01 • 72184F+01
• 31400E+00 • 26844E+01 • 72363F+01
• 31500E+00 • 26869E+01 • 72542F+01
• 31600E+00 • 26894E+01 • 72721F+01
• 31700E+00 • 26919E+01 • 72900F+01
• 31800E+00 • 26944E+01 • 73079F+01
• 31900E+00 • 26969E+01 • 73258F+01
• 32000E+00 • 26994E+01 • 73437F+01
• 32100E+00 • 27019E+01 • 73616F+01
• 32200E+00 • 27044E+01 • 73795F+01
• 32300E+00 • 27069E+01 • 73974F+01
• 32400E+00 • 27094E+01 • 74153F+01
• 32500E+00 • 27119E+01 • 74332F+01
• 32600E+00 • 27144E+01 • 74511F+01
• 32700E+00 • 27169E+01 • 74689F+01
• 32800E+00 • 27194E+01 • 74868F+01
• 32900E+00 • 27219E+01 • 75047F+01
• 33000E+00 • 27244E+01 • 75226F+01
• 33100E+00 • 27269E+01 • 75405F+01
• 33200E+00 • 27294E+01 • 75584F+01
• 33300E+00 • 27319E+01 • 75763F+01
• 33400E+00 • 27344E+01 • 75942F+01
• 33500E+00 • 27369E+01 • 76121F+01
• 33600E+00 • 27394E+01 • 76300F+01
• 33700E+00 • 27419E+01 • 76479F+01
• 33800E+00 • 27444E+01 • 76658F+01
• 33900E+00 • 27469E+01 • 76837F+01
• 34000E+00 • 27494E+01 • 77016F+01
• 34100E+00 • 27519E+01 • 77195F+01
• 34200E+00 • 27544E+01 • 77374F+01
• 34300E+00 • 27569E+01 • 77553F+01
• 34400E+00 • 27594E+01 • 77732F+01
• 34500E+00 • 27619E+01 • 77911F+01
• 34600E+00 • 27644E+01 • 78089F+01
• 34700E+00 • 27669E+01 • 78268F+01
• 34800E+00 • 27694E+01 • 78447F+01
• 34900E+00 • 27719E+01 • 78626F+01
• 35000E+00 • 27744E+01 • 78805F+01
• 35100E+00 • 27769E+01 • 78984F+01
• 35200E+00 • 27794E+01 • 79163F+01
• 35300E+00 • 27819E+01 • 79342F+01
• 35400E+00 • 27844E+01 • 79521F+01
• 35500E+00 • 27869E+01 • 79700F+01
• 35600E+00 • 27894E+01 • 79879F+01
• 35700E+00 • 27919E+01 • 80058F+01
• 35800E+00 • 27944E+01 • 80237F+01
• 35900E+00 • 27969E+01 • 80416F+01
• 36000E+00 • 27994E+01 • 80595F+01
• 36100E+00 • 28019E+01 • 80774F+01
• 36200E+00 • 28044E+01 • 80953F+01
• 36300E+00 • 28069E+01 • 81132F+01
• 36400E+00 • 28094E+01 • 81311F+01
• 36500E+00 • 28119E+01 • 81490F+01
• 36600E+00 • 28144E+01 • 81669F+01
• 36700E+00 • 28169E+01 • 81848F+01
• 36800E+00 • 28194E+01 • 82027F+01
• 36900E+00 • 28219E+01 • 82206F+01
• 37000E+00 • 28244E+01 • 82385F+01
• 37100E+00 • 28269E+01 • 82564F+01
• 37200E+00 • 28294E+01 • 82743F+01
• 37300E+00 • 28319E+01 • 82922F+01
• 37400E+00 • 28344E+01 • 83101F+01
• 37500E+00 • 28369E+01 • 83280F+01
• 37600E+00 • 28394E+01 • 83459F+01
• 37700E+00 • 28419E+01 • 83638F+01
• 37800E+00 • 28444E+01 • 83817F+01
• 37900E+00 • 28469E+01 • 84006F+01
• 38000E+00 • 28494E+01 • 84185F+01
• 38100E+00 • 28519E+01 • 84364F+01
• 38200E+00 • 28544E+01 • 84543F+01
• 38300E+00 • 28569E+01 • 84722F+01
• 38400E+00 • 28594E+01 • 84901F+01
• 38500E+00 • 28619E+01 • 85079F+01
• 38600E+00 • 28644E+01 • 85258F+01
• 38700E+00 • 28669E+01 • 85437F+01
• 38800E+00 • 28694E+01 • 85616F+01
• 38900E+00 • 28719E+01 • 85795F+01
• 39000E+00 • 28744E+01 • 85974F+01
• 39100E+00 • 28769E+01 • 86153F+01
• 39200E+00 • 28794E+01 • 86332F+01
• 39300E+00 • 28819E+01 • 86511F+01
• 39400E+00 • 28844E+01 • 86689F+01
• 39500E+00 • 28869E+01 • 86868F+01
• 39600E+00 • 28894E+01 • 87047F+01
• 39700E+00 • 28919E+01 • 87226F+01
• 39800E+00 • 28944E+01 • 87405F+01
• 39900E+00 • 28969E+01 • 87584F+01
• 40000E+00 • 28994E+01 • 87763F+01
• 40100E+00 • 29019E+01 • 87942F+01
• 40200E+00 • 29044E+01 • 88121F+01
• 40300E+00 • 29069E+01 • 88300F+01
• 40400E+00 • 29094E+01 • 88479F+01
• 40500E+00 • 29119E+01 • 88658F+01
• 40600E+00 • 29144E+01 • 88837F+01
• 40700E+00 • 29169E+01 • 89016F+01
• 40800E+00 • 29194E+01 • 89195F+01
• 40900E+00 • 29219E+01 • 89374F+01
• 41000E+00 • 29244E+01 • 89553F+01
• 41100E+00 • 29269E+01 • 89732F+01
• 41200E+00 • 29294E+01 • 89911F+01
• 41300E+00 • 29319E+01 • 90089F+01
• 41400E+00 • 29344E+01 • 90268F+01
• 41500E+00 • 29369E+01 • 90447F+01
• 41600E+00 • 29394E+01 • 90626F+01
• 41700E+00 • 29419E+01 • 90805F+01
• 41800E+00 • 29444E+01 • 90984F+01
• 41900E+00 • 29469E+01 • 91163F+01
• 42000E+00 • 29494E+01 • 91342F+01
• 42100E+00 • 29519E+01 • 91521F+01
• 42200E+00 • 29544E+01 • 91700F+01
• 42300E+00 • 29569E+01 • 91879F+01
• 42400E+00 • 29594E+01 • 92058F+01
• 42500E+00 • 29619E+01 • 92237F+01
• 42600E+00 • 29644E+01 • 92416F+01
• 42700E+00 • 29669E+01 • 92595F+01
• 42800E+00 • 29694E+01 • 92774F+01
• 42900E+00 • 29719E+01 • 92953F+01
• 43000E+00 • 29744E+01 • 93132F+01
• 43100E+00 • 29769E+01 • 93311F+01
• 43200E+00 • 29794E+01 • 93490F+01
• 43300E+00 • 29819E+01 • 93669F+01
• 43400E+00 • 29844E+01 • 93848F+01
• 43500E+00 • 29869E+01 • 94027F+01
• 43600E+00 • 29894E+01 • 94206F+01
• 43700E+00 • 29919E+01 • 94385F+01
• 43800E+00 • 29944E+01 • 94564F+01
• 43900E+00 • 29969E+01 • 94743F+01
• 44000E+00 • 29994E+01 • 94922F+01
• 44100E+00 • 30019E+01 • 95101F+01
• 44200E+00 • 30044E+01 • 95280F+01
• 44300E+00 • 30069E+01 • 95459F+01
• 44400E+00 • 30094E+01 • 95638F+01
• 44500E+00 • 30119E+01 • 95817F+01
• 44600E+00 • 30144E+01 • 96000F+01
• 44700E+00 • 30169E+01 • 96179F+01
• 44800E+00 • 30194E+01 • 96358F+01
• 44900E+00 • 30219E+01 • 96537F+01
• 45000E+00 • 30244E+01 • 96716F+01
• 45100E+00 • 30269E+01 • 96895F+01
• 45200E+00 • 30294E+01 • 97074F+01
• 45300E+00 • 30319E+01 • 97253F+01
• 45400E+00 • 30344E+01 • 97432F+01
• 45500E+00 • 30369E+01 • 97611F+01
• 45600E+00 • 30394E+01 • 97789F+01
• 45700E+00 • 30419E+01 • 97968F+01
• 45800E+00 • 30444E+01 • 98147F+01
• 45900E+00 • 30469E+01 • 98326F+01
• 46000E+00 • 30494E+01 • 98505F+01
• 46100E+00 • 30519E+01 • 98684F+01
• 46200E+00 • 30544E+01 • 98863F+01
• 46300E+00 • 30569E+01 • 99042F+01
• 46400E+00 • 30594E+01 • 99221F+01
• 46500E+00 • 30619E+01 • 99400F+01
• 46600E+00 • 30644E+01 • 99579F+01
• 46700E+00 • 30669E+01 • 99758F+01
• 46800E+00 • 30694E+01 • 99937F+01
• 46900E+00 • 30719E+01 • 100116F+01
• 47000E+00 • 30744E+01 • 100295F+01
• 47100E+00 • 30769E+01 • 100474F+01
• 47200E+00 • 30794E+01 • 100653F+01
• 47300E+00 • 30819E+01 • 100832F+01
• 47400E+00 • 30844E+01 • 101011F+01
• 47500E+00 • 30869E+01 • 101190F+01
• 47600E+00 • 30894E+01 • 101369F+01
• 47700E+00 • 30919E+01 • 101548F+01
• 47800E+00 • 30944E+01 • 101727F+01
• 47900E+00 • 30969E+01 • 101906F+01
• 48000E+00 • 30994E+01 • 102085F+01
• 48100E+00 • 31019E+01 • 102264F+01
• 48200E+00 • 31044E+01 • 102443F+01
• 48300E+00 • 31069E+01 • 102622F+01
• 48400E+00 • 31094E+01 • 102801F+01
• 48500E+00 • 31119E+01 • 102979F+01
• 48600E+00 • 31144E+01 • 103158F+01
• 48700E+00 • 31169E+01 • 103337F+01
• 48800E+00 • 31194E+01 • 103516F+01
• 48900E+00 • 31219E+01 • 103695F+01
• 49000E+00 • 31244E+01 • 103874F+01
• 49100E+00 • 31269E+01 • 104053F+01
• 49200E+00 • 31294E+01 • 104232F+01
• 49300E+00 • 31319E+01 • 104411F+01
• 49400E+00 • 31344E+01 • 104590F+01
• 49500E+00 • 31369E+01 • 104769F+01
• 49600E+00 • 31394E+01 • 104948F+01
• 49700E+00 • 31419E+01 • 105127F+01
• 49800E+00 • 31444E+01 • 105306F+01
• 49900E+00 • 31469E+01 • 105485F+01
• 50000E+00 • 31494E+01 • 105664F+01
• 50100E+00 • 31519E+01 • 105843F+01
• 50200E+00 • 31544E+01 • 106022F+01
• 50300E+00 • 31569E+01 • 106201F+01
• 50400E+00 • 31594E+01 • 106380F+01
• 50500E+00 • 31619E+01 • 106559F+01
• 50600E+00 • 31644E+01 • 106738F+01
• 50700E+00 • 31669E+01 • 106917F+01
• 50800E+00 • 31694E+01 • 107096F+01
• 50900E+00 • 31719E+01 • 107275F+01
• 51000E+00 • 31744E+01 • 107454F+01
• 51100E+00 • 31769E+01 • 107633F+01
• 51200E+00 • 31794E+01 • 107812F+01
• 51300E+00 • 31819E+01 • 108091F+01
• 51400E+00 • 31844E+01 • 108269F+01
• 51500E+00 • 31869E+01 • 108448F+01
• 51600E+00 • 31894E+01 • 108627F+01
• 51700E+00 • 31919E+01 • 108806F+01
• 51800E+00 • 31944E+01 • 108985F+01
• 51900E+00 • 31969E+01 • 109164F+01
• 52000E+00 • 31994E+01 • 109343F+01
• 52100E+00 • 32019E+01 • 109522F+01
• 52200E+00 • 32044E+01 • 109701F+01
• 52300E+00 • 32069E+01 • 109879F+01
• 52400E+00 • 32094E+01 • 110058F+01
• 52500E+00 • 32119E+01 • 110237F+01
• 52600E+00 • 32144E+01 • 110416F+01
• 52700E+00 • 32169E+01 • 110595F+01
• 52800E+00 • 32194E+01 • 110774F+01
• 52900E+00 • 32219E+01 • 110953F+01
• 53000E+00 • 32244E+01 • 111132F+01
• 53100E+00 • 32269E+01 • 111311F+01
• 53200E+00 • 32294E+01 • 111490F+01
• 53300E+00 • 32319E+01 • 111669F+01
• 53400E+00 • 32344E+01 • 111848F+01
• 53500E+00 • 32369E+01 • 112027F+01
• 53600E+00 • 32394E+01 • 112206F+01
• 53700E+00 • 32419E+01 • 112385F+01
• 53800E+00 • 32444E+01 • 112564F+01
• 53900E+00 • 32469E+01 • 112743F+01
• 54000E+00 • 32494E+01 • 112922F+01
• 54100E+00 • 32519E+01 • 113101F+01
• 54200E+00 • 32544E+01 • 113280F+01
• 54300E+00 • 32569E+01 • 113459F+01
• 54400E+00 • 32594E+01 • 113638F+01
• 54500E+00 • 32619E+01 • 113817F+01
• 54600E+00 • 32644E+01 • 114006F+01
• 54700E+00 • 32669E+01 • 114185F+01
• 54800E+00 • 32694E+01 • 114364F+01
• 54900E+00 • 32719E+01 • 114543F+01
• 55000E+00 • 32744E+01 • 114722F+01
• 55100E+00 • 32769E+01 • 114901F+01
• 55200E+00 • 32794E+01 • 115079F+01
• 55300E+00 • 32819E+01 • 115258F+01
• 55400E+00 • 32844E+01 • 115437F+01
• 55500E+00 • 32869E+01 • 115616F+01
• 55600E+00 • 32894E+01 • 115795F+01
• 55700E+00 • 32919E+

